

50376  
1976  
155

50376  
1976  
155

N° d'ordre : 190

# THESE

Présentée à

L'UNIVERSITE DES SCIENCES ET TECHNIQUES DE LILLE

Pour obtenir le titre de

**DOCTEUR INGENIEUR**

par

**Sibi BONFILS**

**ESSAI DE DETERMINATION DU COEFFICIENT DE  
DIFFUSION DANS LE SILICIUM N EN REGIME DE  
PORTEURS CHAUDS A PARTIR  
DE LA TEMPERATURE DE BRUIT**



Soutenue le 15 Juillet 1976, devant la Commission d'Examen

Membres du Jury :	<b>MM. CONSTANT</b>	<b>Président</b>
	<b>LEROY</b>	<b>Rapporteur</b>
	<b>JOURNAL</b>	<b>Examineur</b>
	<b>NOUGIER</b>	<b>Examineur</b>

A mes Parents,  
à ma Femme,  
à mon Fils,  
à Rachel;  
à Monsieur BALIN  
à tous mes Amis.

Ce travail a été réalisé au CENTRE HYPERFREQUENCES et SEMICONDUCTEURS de l'Université des Sciences et Techniques de Lille.

Que Monsieur le Professeur CONSTANT qui m'a accueilli dans son laboratoire et proposé le sujet de cette thèse trouve ici l'expression de ma sincère reconnaissance. Il me fait honneur en acceptant de présider mon Jury. Je l'en remercie.

Monsieur le Professeur LEROY m'a guidé et conseillé tout au long de ce travail. Je le remercie en toute sincérité.

Les travaux de Monsieur le Professeur NOUGIER ont en partie inspiré cette étude. Je le remercie pour l'honneur qu'il me fait en acceptant de la juger.

J'exprime ma respectueuse reconnaissance à Monsieur le Professeur JOURNEL qui a bien voulu faire partie de mon Jury.

J'adresse mes sincères remerciements à tous les chercheurs du laboratoire pour la sympathie qu'ils m'ont toujours témoignée ; Monsieur et Madame VINDEVOGHEL m'ont aidé à la finition de ce travail ; durant les trois années passées au laboratoire j'ai eu d'amicales et fructueuses discussions avec Messieurs ZIMMERMANN et BECQUELIN.

Que tous en soient remerciés.

Madame CARON n'a pas ménagé ses efforts pour que ce travail soit terminé dans les délais. Qu'elle trouve ici l'expression de ma profonde gratitude.

Je tiens à remercier tout le Personnel technique pour son dévouement et sa compétente collaboration. Je pense en particulier à Messieurs JENNEQUIN, MICHON et ANDRIES de l'atelier de mécanique, Messieurs LEMAIRE et PLUQUET de l'atelier de photogravure ainsi qu'à Monsieur ARMAND.

*Les échantillons utilisés dans ce travail ont été réalisés en collaboration avec le LAAS de TOULOUSE en ce qui concerne l'épitaxie planar.*

*Les mesa et silistances sont l'oeuvre de Monsieur VANBREMEERSCH.  
Qu'il trouve ici l'expression de ma reconnaissance.*



$\rho, \rho_{ao}$	Coefficient de réflexion en puissance de l'échantillon
$\rho_o$	Résistivité des échantillons
$\sigma$	écart type de la distribution des porteurs par rapport au centre du paquet
$\sigma_d$	mobilité différentielle
$S$	section de l'échantillon
$\tau_o$	temps de mesure
$\tau_u$	temps de corrélation des fluctuations de vitesse
$\tau_F$ & $\tau_R$	temps de descente et de montée du courant induit par les porteurs injectés dans le semiconducteur
$T_u(E)$	température de bruit
$T_{//}(V_o), T_{//}(E)$	température de bruit longitudinale
$\Delta T_{//} = T_{//} - T_{ao}$	
$T_{eq}$	Température équivalente de bruit
$T_B$	Température de la source étalon
$T_R$	Température du récepteur
$T_o$	Température ambiante
$T_{ao}$	Température du réseau (= ou $\neq T_o$ )
$v_d$	vitesse moyenne des porteurs
$v_l$	vitesse instantannée du porteur 1
$v_s$	vitesse de saturation
$u_l$	fluctuation de vitesse du porteur 1
$\dot{U}_n$	vitesse de recombinaison des électrons
$Z(\omega)$	impédance de transfert du dispositif
$\nabla Z_{Lx}$	champ d'impédance suivant ox

## I N T R O D U C T I O N

La connaissance du coefficient de diffusion joue un rôle important dans la compréhension et l'utilisation des propriétés des semiconducteurs.

D'un point de vue fondamental on peut tirer de cette connaissance des informations précieuses sur les phénomènes de transport dans ces matériaux.

Sur le plan pratique, le regain d'intérêt, ces dernières années dans l'étude de ce paramètre, principalement en régime de porteurs chauds, est à la mesure de l'essor que connaissent des dispositifs de types nouveaux fonctionnant en champ fort et utilisant des propriétés des semiconducteurs intimement liées à la diffusion (dispositifs à temps de transit, à charges d'espace, diodes à avalanche...)

Malgré l'importance du Silicium dans la construction de ces dispositifs, des études de type fondamental de la diffusion des porteurs chauds dans ce matériau restent peu nombreuses. Notre contribution va dans ce sens et s'intéresse au coefficient de diffusion longitudinal dans le silicium N suivant la direction cristallographique  $\langle 111 \rangle$ .

Dans une première partie nous montrons l'équivalence des coefficients de diffusion distingués dans la littérature, liés l'un à la diffusion des porteurs dans les semiconducteurs, l'autre au bruit dû à la fluctuation de leurs vitesses. Un bilan des travaux sur ce sujet fait apparaître des lacunes en ce qui concerne la connaissance de ce paramètre en champs électriques très forts.

Une deuxième partie décrit la technique expérimentale mise en oeuvre pour travailler dans la gamme de champs souhaitée. Il s'agit d'un banc radiométrique fonctionnant en bande X et permettant la mesure de la température de bruit d'échantillons de semiconducteurs. On opère principalement sur des épitaxies  $N^+NN^+$  afin d'atteindre des intensités de champ élevées ( $E \approx 60 \text{ KV/cm}$ ).

Des résultats sont obtenus à différentes températures.

La troisième partie est consacrée à l'exploitation des résultats expérimentaux en vue de déterminer la loi de variation du coefficient de diffusion avec le champ électrique. On rappelle la méthode du champ d'impédance qui permet de relier la température de bruit de diffusion au coefficient de diffusion. Nous appliquons cette méthode à l'étude de résultats obtenus sur des épitaxies de type planar. Deux cas sont envisagés : le champ dans le dispositif est uniforme ou ne l'est pas. Dans ce dernier cas, une méthode numérique de calcul de bruit est mise au point. Elle utilise certains résultats d'un programme général réalisé par ailleurs au laboratoire pour résoudre l'équation de transport des charges dans les semiconducteurs. Le procédé de détermination du coefficient de diffusion est indirect : différentes lois de variation du coefficient de diffusion fonction du champ électrique sont utilisées pour calculer la température de bruit et l'on recherche celle qui permet de retrouver les résultats expérimentaux.

## CHAPITRE I

### COEFFICIENT DE DIFFUSION EN REGIME DE PORTEURS CHAUDS

#### EQUIVALENCE DES RESULTATS DES TECHNIQUES

#### DU "TEMPS DE VOL" ET DE MESURE DE BRUIT

On distingue dans la littérature [3] deux types de coefficients de diffusion liés l'un à l'étalement d'un paquet de porteurs injectés en un point du semiconducteur [4, 5, 6, 7, 9], l'autre à la corrélation des fluctuations de vitesse des porteurs [1, 2, 3]. Ces deux conceptions ont donné lieu à deux techniques expérimentales distinctes.

Dans le premier cas on détermine le coefficient de diffusion  $D(E)$  par la mesure des caractéristiques (amplitude, temps de montée et de descente) du courant induit par les porteurs injectés ; dans le deuxième cas, on le déduit d'une mesure de bruit.

Après une rapide description de ces deux techniques et un rappel de leur base théorique, nous montrons que dans certaines conditions - que nous définissons - les coefficients de diffusion ainsi mesurés sont identiques.

### I.1. DETERMINATION DE $D_e(E)$ PAR LA TECHNIQUE DU TEMPS DE VOL

Le principe de la méthode est le suivant. On dispose d'un échantillon de semiconducteur pourvu de deux électrodes aux bornes desquelles est appliquée une tension continue. On injecte un paquet de porteurs en un point situé près de l'une des électrodes. Pendant la dérive des porteurs vers l'autre électrode sous l'effet du champ électrique, la diffusion va provoquer l'étalement du paquet de porteurs injectés, parallèlement et perpendiculairement au champ électrique. Des mesures opérées sur le courant induit par les porteurs injectés, on déduit les coefficients de diffusion transversal et longitudinal.

Après un bref rappel sur les équations de continuité dans un cristal semiconducteur, nous étudions de façon succincte le déplacement d'ensemble des porteurs et leur diffusion en présence d'un champ électrique. Nous donnons ensuite une description des techniques expérimentales correspondantes.

En dernière partie nous faisons un bilan critique des travaux effectués jusqu'à ce jour selon ces techniques.

#### I.1.1. *Equation de continuité* |0|

Nous nous plaçons dans le cas d'un semiconducteur de type N. Appelons  $U_n$  et  $G_n$  les vitesses de recombinaison et de création des électrons dans l'élément de volume  $dv$ , et  $\vec{\phi}_n$  le flux d'électrons traversant la surface qui limite le volume  $dv$ . L'équation de continuité qui exprime la variation en fonction du temps du nombre de porteurs présents dans l'élément de volume  $dv$  s'écrit

$$\frac{\partial n}{\partial t} = G_n - U_n - \nabla \cdot \vec{\phi}_n \quad I_1$$

$n$  représente la densité des électrons.

Si le mouvement des porteurs est dû à la présence d'un champ électrique  $\vec{E}$  et d'un gradient de concentration  $\vec{\nabla}n$ , le flux  $\vec{\phi}_n$  s'écrit

$$\vec{\phi}_n = - n \mu_n \vec{E} - D_e \vec{\nabla}n \quad I_2$$

$\mu_n$  représente la mobilité des électrons,  $D_e$  le coefficient de diffusion et donc

$$\frac{\partial n}{\partial t} = G_n - U_n + \vec{\nabla} \cdot (n\mu_n \vec{E} + D_e \vec{\nabla} n) \quad I_3$$

La résolution analytique de cette équation nécessite l'introduction d'hypothèses simplificatrices. Ces hypothèses vont dépendre du cas particulier considéré.

*I.1.2. Dérive et étalement d'un paquet de porteurs en excès*  
-----

a) Hypothèses de travail

Nous nous plaçons dans le cas suivant

- . Le cristal est supposé unidimensionnel suivant Ox ( $\nabla\phi = \frac{\partial\phi}{\partial x}$ )
- . Le champ électrique E indépendant de x est appliqué suivant la direction ox ( $\frac{\partial E}{\partial x} = 0$ )
- . On néglige les créations et recombinaisons des porteurs ( $U_n = G_n = 0$ )
- . On néglige l'effet des charges d'espace, ce qui revient à attribuer à la diffusion seule [5] l'étalement du paquet de porteurs.

On crée dans le plan  $x = 0$  au temps  $t = 0$  et pendant un intervalle de temps très court des paires électron-trou. Le dispositif expérimental est supposé conçu de telle sorte qu'un seul type de porteurs pénètre dans la région de dérive.

Le paquet de porteurs en excès, ainsi créé va

- 1) dériver dans le champ électrique
- 2) s'étaler sous l'influence de la diffusion.

Nous cherchons la distribution des porteurs au temps t.

Si  $n(xt)$  est la densité des porteurs en excès, elle est régie par l'équation  $I_3$

Avec les hypothèses posées ci-dessus, cette équation devient

$$\frac{\partial n(xt)}{\partial t} = \mu_n E \frac{\partial n(xt)}{\partial x} + D_e \frac{\partial^2 n(xt)}{\partial x^2} \quad I_4$$

où  $D_e$  représente le coefficient de diffusion lié à l'étalement des porteurs.

b) Résolution de l'équation de continuité

Appelons  $T_F |n(xt)|$  la transformée de Fourier de  $n(xt)$  par rapport à  $x$

$$T_F |n(xt)| = n(st) = \int_{-\infty}^{+\infty} n(xt) \exp(-ixs) dx$$

pour avoir la transformée de Fourier de  $\frac{\partial n}{\partial x}$ , dérivons  $n(st)$  par rapport à  $x$

$$\frac{dn(st)}{dx} = 0 = \int_{-\infty}^{+\infty} \frac{dn(xt)}{dx} \exp(-ixs) dx - is \int_{-\infty}^{+\infty} \exp(-ixs) n(xt) dx$$

d'où

$$T_F \left[ \frac{dn^+(xt)}{dx} \right] = \int_{-\infty}^{+\infty} \frac{dn(xt)}{dx} \exp(-ixs) dx = is n(st)$$

de même

$$T_F \left[ \frac{d^2 n(xt)}{dx^2} \right] = -s^2 n(st)$$

alors  $I_4$  devient

$$\frac{dn(st)}{dt} = (is \mu_n E - s^2 D_e) n(st)$$

on en déduit

$$n(st) = K \exp (is \mu_n E - s^2 D_e) t$$

On déduit la constante  $K$  de  $n(so)$

$$n(so) = K = \int_{-\infty}^{+\infty} n(xo) \exp(-ixs) dx$$

On fait l'hypothèse que le paquet injecté est de la forme

$$n(oo) = n_o \delta(x) \delta(t) \quad \delta(x) \text{ fct de Dirac}$$

$$d'où \quad K = \int_{-\infty}^{+\infty} n_o \delta(x) \exp(-ixs) dx = n_o \int_{-\infty}^{+\infty} \delta(x) \exp(-ixs) dx$$

soit  $K = n_0$

$$\text{et } n(st) = n_0 \exp - \left( s^2 D_e t - is\mu_n Et \right)$$

Pour avoir  $n(xt)$ , il suffit de prendre la transformée inverse de  $n(st)$

$$\begin{aligned} n(xt) &= \frac{1}{2\pi} \int_{-\infty}^{+\infty} n(st) \exp(-ixs) ds \\ &= \frac{n_0}{2\pi} \int_{-\infty}^{+\infty} \exp - \left( s^2 D_e t + is(x-\mu_n Et) \right) ds \end{aligned}$$

$$\text{posons } A^2 = s^2 D_e t$$

$$2AB = is(x-\mu_n Et)$$

$$\text{alors } A = s \sqrt{D_e t} \quad B = \frac{i(x-\mu_n Et)}{2\sqrt{D_e t}}$$

et donc

$$\begin{aligned} s^2 D_e t + is(x-\mu_n Et) &= A^2 + 2AB = (A+B)^2 - B^2 \\ &= \left( s \sqrt{D_e t} + \frac{i(x-\mu_n Et)}{2\sqrt{D_e t}} \right)^2 + \frac{(x-\mu_n Et)^2}{4 D_e t} \end{aligned}$$

et en posant

$$\frac{s\sqrt{D_e t} + \frac{i(x-\mu_n Et)}{2\sqrt{D_e t}}}{2\sqrt{D_e t}} = U$$

on a

$$\begin{aligned} n(xt) &= \frac{n_0}{2\pi \sqrt{D_e t}} \int_{-\infty}^{+\infty} \exp - \frac{(x-\mu_n Et)^2}{4 D_e t} \cdot \exp(-U^2) dU \\ &= \frac{n_0}{2\pi \sqrt{D_e t}} e^{-\frac{x-\mu_n Et}{4D_e t}} \int_{-\infty}^{+\infty} e^{-U^2} dU \end{aligned}$$

On sait que

$$\int_{-\infty}^{+\infty} e^{-U^2} dU = \frac{\sqrt{\pi}}{2}$$

Il en résulte que

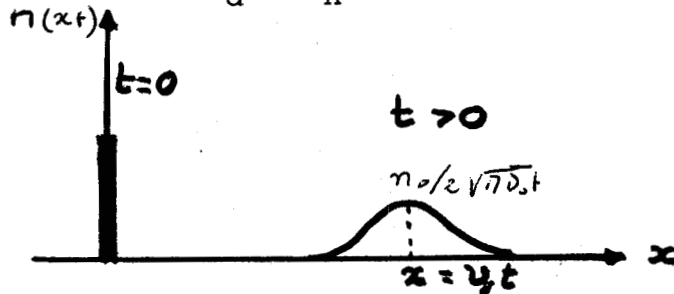
$$\int_{-\infty}^{+\infty} e^{-U^2} dU = 2 \int_{-\infty}^{+\infty} e^{-U^2} dU = \sqrt{\pi}$$

et

$$n(x,t) = \frac{n_0}{2\sqrt{\pi D_e t}} \exp \left( - \frac{(x - v_d t)^2}{4 D_e t} \right)$$

I<sub>5</sub>

Nous avons posé  $V_d = \mu_n E$  vitesse de dérive des électrons.

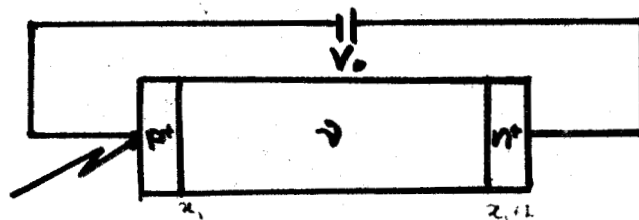


I.1.3. Techniques Expérimentales

---

Afin d'opérer dans les conditions définies ci-dessus les échantillons utilisés doivent répondre aux critères suivants.

- être homogènes
- posséder une forte resistivité pour que les seuls porteurs dans le matériau soient ceux qu'on y a injectés (le courant de conduction en régime permanent est nul, il n'y a pas de recombinaison des porteurs)
- du type  $P^+ \nu n^+$  afin de favoriser la propagation dans la zone  $\nu$  de l'un ou l'autre type de porteurs. En effet, polarisé en inverse, ces échantillons verront dériver des électrons si la création de paires électrons-trous se fait à l'électrode P. Pour les trous on opère sur l'électrode n (voir fig.)



L'excitation sur l'une ou l'autre électrode se fait soit par faisceau laser [5], soit par irradiation avec des particules de haute énergie [4.6]. Les porteurs ainsi injectés vont induire un courant  $I(t)$

[7]

$$I(t) = Q(t) / \frac{L}{V_d}$$

où L est la longueur de la zone intrinsèque,  $V_d$  la vitesse de dérive des porteurs

$$Q(t) = \int_{x_1}^{x_1+L} q n(x_1, t) dx \quad \text{quantité de charge dans l'échantillon à l'instant } t$$

avec  $n(x,t)$  calculé précédemment ( $I_5$ )

d'où

$$I(t) = \frac{n_0 q}{2\sqrt{\pi D_e t}} \frac{v_d}{L} \int_{x_1}^{x_1+L} \exp\left(-\frac{(x - v_d t)^2}{4 D_e t}\right) dx$$

qui devient

$$I(t) = \frac{I_0}{\sqrt{\pi}} \int e^{-s^2} ds$$

$$I_0 = n q_0 \frac{v_d}{L}, \quad s = \frac{x - v_d t}{(\mu D_e t)^{1/2}}$$

Si  $\tau_R$  et  $\tau_F$  sont les temps de montée et de descente de ce courant Ruch et Kino [7] établissent en utilisant les propriétés de la fonction erreur

que	$D_e // = (\tau_F^2 - \tau_R^2) v_d^3 / 21.6 L$	$I_6$	$D_e //$ diffusion selon la direction du champ
-----	---	-------	--

On relie de la sorte le coefficient de diffusion longitudinal à des grandeurs directement accessibles à l'expérience ( $\tau_F$ ,  $\tau_R$ ,  $V_d$ , L)

Un raisonnement similaire conduit Persky et Bartelink à établir pour la diffusion transversale, l'expression

$$D \perp = (v_d / 4 L) (r_f^2 - r_0^2) \quad I_7$$

$v_d$  et L ont les définitions précédentes

$r_0$  rayon du paquet initial

$r_f = w/2 (\text{Lg}2)^2$  avec w la largeur à mi-hauteur du courant détecté.

La détermination de  $D \perp$  se ramène à celle de  $v_d$ , L, w et  $r_0$ .

Dans les deux cas on évite des courants induits importants |5| de sorte que l'effet des charges d'espace demeure négligeable.

#### I. 1. 4 Bilan critique

Les premières applications de cette technique dite "du temps de vol" furent pour mesurer la vitesse de dérive des porteurs. L'expérience de Hayne et Schokley |8| dès 1951 déduit la mobilité des porteurs de cette technique. De nombreux travaux s'inspirant d'elle, s'intéressèrent plus particulièrement à la vitesse de dérive en champ fort. Signalons à cet effet les récentes publications de Canali |20| qui donnent  $v_d$  dans une large gamme de champ électrique (0 à 50 KV/cm) et de température (8°K à 430°K)

Les premières déterminations de D en champ fort datent de 1965. Okamoto et All |9| montrent que le coefficient de diffusion des trous dans le germanium croit avec le champ, du moins jusqu'à 2 KV/cm. Dans le GaAs Ruch et Kino |7| établissent expérimentalement que D croit, puis décroît après être passé par un maximum quand le champ varie de 0 à 12 KV/cm.

Dans le silicium on doit les premières mesures à Sigmon et Gibbons |4|. Effectuées entre 6 et 50 KV/cm à 300°K sur des diodes  $p^+n^+$  d'axe cristallographique  $\langle 111 \rangle$ , ces mesures estimées à 30 % près, établissent la décroissance de  $D_e//$  en fonction du champ électrique.

Les Travaux de Persky et Bartelink |5| en 1969 puis 1970 estiment à 9 % près la diffusion transversale ( $D_{e\perp}$ ).

Les récents résultats de Canali |6| estimés à 25 % montrent que  $D_e//$  décroît beaucoup plus vite que ne le laissent croire les travaux de Sigmons et Gibbons. Quand le champ varie de 0 à 50 KV/cm  $D_e//$  passe de 35 à 11  $\text{cm}^2/\text{s}$ . Il se stabiliserait autour de cette valeur du moins jusqu'à 50 KV/cm. Ces résultats ont été obtenus sur des diodes  $n^+p^+$  ( $\rho_0 \geq 50 \text{ K}\Omega\text{cm}$ ) de longueur 350 à 1000  $\mu\text{m}$ . Le champ électrique a été appliqué suivant la direction  $\langle 111 \rangle$ .

(voir tableau)

T a b l e a u 1

RESULTATS EXPERIMENTAUX RELATIFS AU COEFFICIENT DE DIFFUSION (METHODE DU "TEMPS DE VOL")

AUTEURS	ANNEE	ECHANTILLONS		CHAMP ELECTRIQUE		COEFFICIENT DE DIFFUSION			TEMPE- RATURE DE RESEAU	
		Materiau	Resis- tivité	Dimen- sion	Valeurs	Direc- tion	Longi- tudinal	Trans- versal	Erreurs relatives	
OKAMOTO et ALL	1965	GeN	5,3 Ωcm	0,6x0,6 x 15	0 à 4KV/cm	<100>	X			300,195, 77°K
RUCH et KINO	1968	GaAs I-n <sup>+</sup>	10 <sup>6</sup> Ωcm	∅=3 μm L=250 à 300 μm	0 à 12 KV/cm	<111> <100>	X		+ 25 %	300 °K
SIGMON et GIBBONS	1969	Si-N P <sup>+</sup> -v-n <sup>+</sup>	0,2 10 <sup>6</sup> Ω cm	L=366 μm	6 à 50 KV/cm	<111>	X		30 %	300 °K
PERSKY et BARTELINK	1970 1971	P <sup>+</sup> in <sup>+</sup> Si-n	0,1 10 <sup>6</sup> Ω cm	100 μm	0 à 11,5 KV/cm	<111>		X	9 %	300 °K
CANALI et ALL	1975	Si-N	>0,5 10 <sup>6</sup> Ω cm	350 à 1000 μm	0 à 50 KV/cm	<111>	X		25 %	300 °K



Remarques : Pour le silicium

1) Quand  $E$  croît,  $D_e // (E)$  décroît, jusqu'au tiers de sa valeur champ faible. Il faut s'attendre à ce que l'amplitude des effets dûs à la diffusion (étalement du paquet de porteurs) soit réduite d'autant. En conséquence, si la sensibilité de la méthode du temps de vol est suffisante en champ relativement faible, elle peut ne plus l'être en champ fort ( $>20$  KV/cm) et l'incertitude sur les résultats en champ fort peut en être affectée.

2) Les échantillons utilisés dans les trois cas cités sont de très forte résistivité ( $10$  K $\Omega$ cm |4|,  $>20$  K $\Omega$ cm |5|,  $>50$  K $\Omega$ cm |6|). Les résultats trouvés n'en conservent pas moins leur intérêt, étant donné leur caractère essentiellement fondamental. Ils constituent un important apport dans la compréhension et l'utilisation des phénomènes nouveaux observés dans les semiconducteurs (avalanche, effet tunnel, dispositifs à temps de transit...)

Sur le plan pratique cependant, l'on utilise généralement des matériaux ayant des concentrations en impuretés plus élevées. Une étude de la diffusion dans ces conditions serait utile, car elle permettrait de se placer dans le cas des dispositifs couramment employés.

I. 2. DETERMINATION DE D PAR LA MESURE DE LA TEMPERATURE DE DE DIFFUSION

On définit le bruit de diffusion comme la contribution au bruit due à la fluctuation de vitesse des porteurs. Nous établissons dans ce qui suit la relation qui lie le coefficient de diffusion au bruit de diffusion, puis nous faisons un bilan critique des travaux effectués jusqu'à ce jour.

I.2.1. Courant de bruit de diffusion et coefficient de diffusion

L'échantillon polarisé par un champ électrique  $E(x)$  appliqué suivant  $ox$  est supposé unidimensionnel. Nous nous intéressons au coefficient de diffusion longitudinal i.e. parallèle au champ électrique.

Considérons la tranche de semiconducteur comprise entre  $x$  et  $x + dx$ . Le porteur qui la traverse génère un courant

$$I_1 = \frac{q}{\Delta t} = \frac{q}{dx/v_1} = \frac{qv_1}{dx} \quad I_8$$

où  $V_1$  vitesse instantanée du porteur est la somme de la vitesse de dérive  $v_d(E)$  et de la fluctuation de vitesse  $u_1(x,t)$  due aux collisions que subit le porteur.

Le courant total dans la tranche vaut

$$I = \sum_1 I_1 = \frac{q}{dx} \sum_1 v_1 = \frac{q}{dx} \sum_1 v_d + \frac{q}{dx} \sum_1 u_1(xt)$$

posant

$$I_0 = \frac{q}{dx} \sum_1 v_d \quad \text{la fluctuation de courant } i(t) = I(t) - I_0$$

s'écrit

$$i(t) = \frac{q}{dx} \sum_1 u_1(xt) \quad I_9$$

La moyenne au premier ordre de  $i(t)$  étant nulle, calculons son carré moyen. Pour cela nous définissons  $\Gamma_i$  la fonction de corrélation de  $i(t)$  dont nous déduisons la densité spectrale correspondante

$$\begin{aligned} \Gamma_i(\tau) &= \langle i(t) \cdot i^*(t + \tau) \rangle \quad |28| \\ &= \frac{q^2}{dx^2} \langle \sum_1 u_1(x,t) \sum_k u_k(x,t + \tau) \rangle \end{aligned}$$

$$\begin{aligned}
 &= \frac{q^2}{dx^2} \left\langle \sum_l u_l(x,t) u_l(x,t+\tau) + \sum_{k \neq l} u_l(x,t+\tau) u_k(x,t+\tau) \right\rangle \\
 &= \frac{q^2}{dx^2} \left| \sum_l \langle u_l(x,t) u_l(x,t+\tau) \rangle + \sum_{k \neq l} \langle u_l(x,t) u_k(x,t+\tau) \rangle \right|
 \end{aligned}$$

$\langle u_l(x,t) u_k(x,t+\tau) \rangle$  est la fonction d'intercorrélation des vitesses des porteurs  $k$  et  $l$ .

Si on suppose qu'il n'y a pas d'interaction entre ces deux porteurs

$$\langle u_l(x,t) u_k(x,t+\tau) \rangle = 0$$

et donc

$$\Gamma_i(\tau) = \frac{q^2}{dx^2} \sum_l \langle u_l(x,t) u_l(x,t+\tau) \rangle \quad I_{10}$$

Si  $S_i$  est la densité spectrale du courant  $i(t)$

$$S_i(f) = 2 \int_{-\infty}^{+\infty} \exp(-2j\pi f\tau) \Gamma_i(\tau) d\tau$$

soit

$$= 2 \int_{-\infty}^{+\infty} \exp(-2j\pi f\tau) \frac{q^2}{dx^2} \sum_l \langle u_l(x,t) u_l(x,t+\tau) \rangle d\tau$$

Toutes ces opérations étant linéaires

$$S_i(f) = \frac{2q^2}{dx^2} \sum_l \int_{-\infty}^{+\infty} \langle u_l(x,t) u_l(x,t+\tau) \rangle \exp(-2j\pi f\tau) d\tau$$

si l'on pose

$$D_b(x, \omega) = \frac{1}{2} \int_{-\infty}^{+\infty} \langle u_l(x,t) u_l(x,t+\tau) \rangle \exp(-2j\pi f\tau) d\tau$$

alors

$$S_i(f) = 4 \frac{q^2}{dx^2} \int_1 D_b(x, E)$$

$D_b$  est le coefficient de diffusion lié au bruit.

Si  $S$  est la section de l'échantillon,  $n(x)$  la densité des porteurs en  $x$ , le nombre total de porteurs dans la tranche comprise entre  $x$ ,  $x + dx$  du semiconducteur est  $sn(x)dx$ . La somme  $\int$  portant sur ces  $sn(x)dx$  porteurs, la densité spectrale  $S_i(f)$  devient

$$S_i(f) = \frac{4q^2 n(x) S D_b(x, E)}{dx} \quad I_{12}$$

$\langle i^2 \rangle$  étant défini par la relation

$$\langle i^2 \rangle = \int_0^\infty S_i(f) df$$

on a 
$$\langle i^2 \rangle = \int_0^\infty \frac{4q^2 n(x) S D_b(x, E)}{dx} df$$

soit

$$\langle i^2 \rangle = \frac{4q^2 S}{dx} \int_0^\infty n(x) D_b(x, E) df$$

si le bruit est défini sur une bande passante  $\Delta f$

$$\langle i^2 \rangle = \frac{4q^2 S}{dx} \int_0^{\Delta f} n(x) D_b(E, x) df$$

Si  $D_b(E, x)$  est indépendant de la fréquence

et

$$\langle i^2 \rangle = 4q^2 n(x) D_b(x, E) \frac{S}{dx} \Delta f$$

$I_{13}$

Remarque

Si l'on se place à l'équilibre thermodynamique,  $D_b$  peut se déduire de la relation d'Einstein

$$D_b = \frac{k_B T_0 \mu_0}{q}$$

$I_{14}$

$\mu_0$  la mobilité des porteurs à champ nul

$T_0$  température d'équilibre

$k_B$  constante de Boltzmann

et donc

$$\langle i^2 \rangle = 4 \left( nq\mu_0 \frac{S}{dx} \right) k_B T_0 \Delta t$$

Soit en posant  $\Delta R = 1 / (nq\mu_0 S/dx)$

$$\langle i^2 \rangle = \frac{4 k_B T}{\Delta R} \Delta f$$

Avec  $\Delta R$  la résistance de la tranche de semiconducteur comprise entre  $x$  et  $x + dx$ .

Si  $P$  est la puissance de bruit dans la tranche

$P = \Delta R \langle i^2 \rangle = 4 k_B T \Delta f$  qui est la relation de Nyquist pour le bruit thermique.

Il en résulte que à l'équilibre thermodynamique le bruit de diffusion se réduit au bruit thermique et l'on peut le déduire de la relation d'Einstein.

En régime de porteurs chauds, l'équilibre thermodynamique n'est plus réalisé.

On a alors recours, pour le calcul du bruit de diffusion à la méthode du champ d'impédance [12] rappelée au chapitre II, ce qui donne

$$T_n = \frac{Sq^2}{K_B \text{Réél} [Z(\omega)]} \int_0^L n(x) D_b(x) |\nabla Z_{Lx}|^2 dx$$

avec  $Z(\omega) = \int_0^L \nabla Z_{Lx} dx$  [12] l'impédance dynamique du dispositif  $T_n$  la température équivalente de bruit de diffusion et  $\nabla Z_{Lx}$  le champ d'impédance en  $x$ , et suivant  $ox$

L'examen de cette expression montre qu'on peut déduire  $D_b(E)$  de la mesure de la température de bruit de diffusion en présence d'un champ électrique.

La difficulté réside dans le choix des conditions expérimentales.

Il faut en effet

a) éviter l'échauffement des échantillons par effet Joule en présence d'un champ électrique, cet échauffement pouvant

- entraîner la destruction de l'échantillon
- masquer l'effet champ fort

b) s'assurer que le signal mesuré est dû au seul bruit de diffusion étant donné la présence toujours possible dans les matériaux semiconducteurs, d'autres sources de bruit. On peut citer|10|

- le bruit de grenaille (au niveau des jonctions ...)
- le bruit<sup>de</sup> génération-recombinaison (en très basse température, dans les dispositifs dipolaires ...)
- le bruit en excès ou bruit de scintillation (au niveau des contacts ...)

Pour se placer dans les conditions expérimentales idéales pour la détermination de  $T_n$ , on doit, en particulier, choisir convenablement la structure de l'échantillon.

### I.2.2. Bilan critique

Les publications concernant le bruit et la diffusion en régime de porteurs chauds sont rares. Nous présentons sous forme de tableau les différents travaux en ce qui concerne le bruit (voir tableau )

La déduction du coefficient de diffusion des températures de bruit ainsi mesurées n'a pas toujours été faite. C'est en 1966, puis 1968 que Bareikis et Call |1| tirent D de leurs résultats expérimentaux sur le Ge P et N. Nougier |3| étudie également, le coefficient de diffusion dans le Ge P en fonction du champ et de la température. Rolland |3| en 1975 étend cette étude au silicium.

Ce travail s'intéressant plus particulièrement au silicium il nous est apparu nécessaire et utile de commenter les récents travaux concernant ce matériau. Les conclusions nous permettent de fixer les conditions optimales de notre travail.

AUTEURS	ANNEE	ECHANTILLONS	CHAMP ELECTRIQUE			TEMPERATURE BRUIT		TEMPERATURE DE RESEAU	FRE- QUENCE DE TRAVAIL
			Matériau	Concentration en impuretés ou résistivité	Epaisseur	Intensité	Direction		
ERLBACH et GUN	1962	Ge-N 8 Ωcm	5 mm	0 à 2 KV/cm	<100>		X	300°K	420 MHz
							θ = 7 μs		
BRYANT	1964	GaAs -	-	0 à 2 KV/cm	-		X	77 et 300°K	-
BAREIKIS et COLL	1966 1968	Ge-P Si-N 20 Ωcm	1x1x1,5mm	0 à 4 KV/cm	<111>		X	77 et 300°K	9,6 GHz
HART	1970	Ge N		0 à 4 KV/cm	<111> <110> <100>		X		30 à 70 MHz
							θ = 10 μs f = 9 à 210 Hz		
NICOLETA ALL	1971	Ge PπP Na = 10 <sup>12</sup> à 10 <sup>13</sup> cm <sup>-3</sup>	32 μm	-	<111>	X	X	77.110, 150.0 à 190 °K	0 à 22 MHz
BAECHTOLD	1971	Si-N N <sub>D</sub> = 10 <sup>17</sup> cm <sup>-3</sup>	3 μm	0 à 25 KV/cm	-	X	X	300°K	2 et 4 GHz
NOUGIER	1972	Ge-P 10 à 11,5 Ωcm	4 à 5 mm	0 à 4 KV/cm	<110>		X	130 à 300°K	500 MHz
							θ = 50 μs f = 0,1 et 10 Hz		
GASQUET	1974	Si-N 6 Ωcm	300 μm	0 à 4 KV/cm	<111> <100>		X	300°K	500 à 800 MHz
ROLLAND	1975	Si-N 1 à 1000 Ωcm	300 μm	0 à 4 KV/cm	<111> <110> <100>		X	77 à 300°K	220.460 550.650 750.850 MHz
							1 Hz 2 à 10 μs		



Pozhela et Coll |19|

Les mesures sont effectuées à 9,6 GHz sur des parallélépipèdes de Si-n de dimensions 1 x 1 x 1,5 mm de résistivité 20  $\Omega$ cm et d'axe cristallographique <111>. La température de bruit mesurée suivant cette direction varie de 300 à 400 °K quand le champ passe de 0 à 4KV/cm (température ambiante). A 77°K la température de bruit croit beaucoup plus vite avec le champ électrique appliqué, (fig. I<sub>1</sub>)

Baetchold |13|

Les échantillons sont constitués par de fines couches de Si-n épitaxiées, d'épaisseur 0,23  $\mu$ m et munies de contacts ohmiques distants de 3  $\mu$ m.

Avec des dimensions aussi réduites Baetchold peut travailler en continu (0 à 8 v ) sans risquer d'échauffer le réseau.

Les résultats obtenus sont interprétés en champ moyen, l'auteur négligeant la non-uniformité qui apparait dit-il au seul voisinage des contacts.

Les mesures effectuées à 2 et 4 GHz utilisent une technique radiométrique en réalisant l'adaptation d'impédances des échantillons. T // passe de 360 à 1700°K quand le champ électrique varie de 5 à 26 KV/cm, (fig. I<sub>1</sub>).

Rolland |3|

Rolland travaille sur des échantillons à effet de volume (longueur 300  $\mu$ m).

Afin d'appréhender l'influence des contacts sur les effets de volume, Rolland est amené à reprendre pour le silicim l'étude des contacts selon la technique mise au point par Nougier |2| Il confirme la validité de la loi en  $1/F$  de la densité spectrale de courant de bruit de contact en haute fréquence ( $F > 500$  MHz) et à forte densité de courant.

Des mesures de bruit effectuées entre 220 et 850 MHz par une technique radiométrique, Rolland déduit le coefficient de

diffusion en utilisant la relation

$$T_{//} = \frac{qD_b}{k_B \mu_d}$$

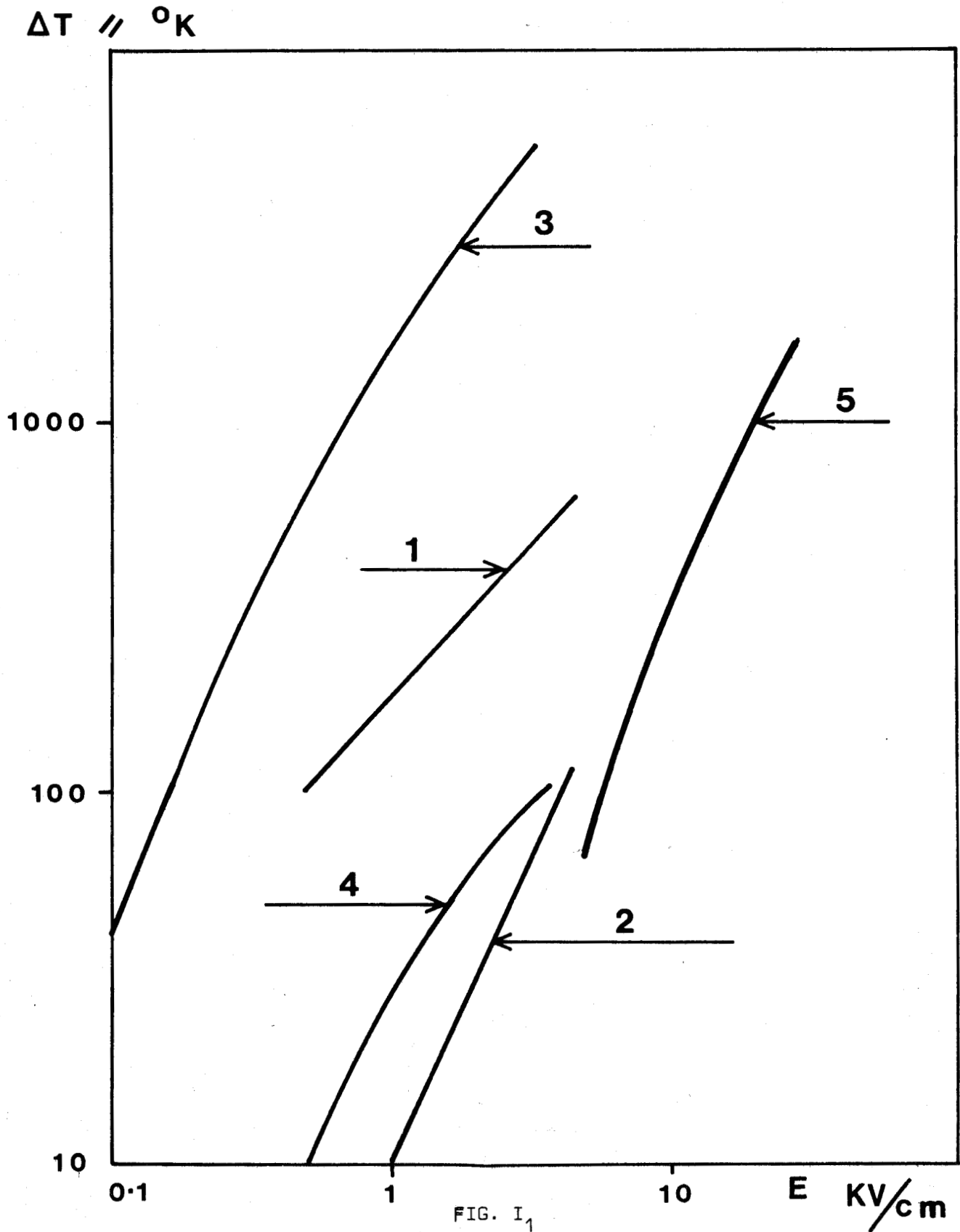
où  $\mu_d$  est la mobilité différentielle

$T_{//}$ ,  $D_b$ ,  $k_B$ ,  $q$  précédemment définies.

Cette relation dite "d'Einstein modifiée" est un cas particulier de la relation générale écrite plus haut ( $I_{16}$ )

$\Delta T_{//}$  varie de 10 à 100 quand le champ électrique passe de 0,5 à 3,6 KV/cm. A l'azote liquide (77°K) l'auteur obtient des températures de bruits environ quarante fois plus importantes qu'à la température ambiante. (fig  $I_1$ )

Des difficultés dues à l'adaptation d'impédances et à l'échauffement des échantillons limitent les intensités des champs appliqués à 4 KV/cm (échantillons de volume) et à 8 KV/cm (épitaxie de 18  $\mu$ m).



RESULTATS EXPERIMENTAUX RELATIFS A LA TEMPERATURE DE BRUIT  
LONGITUDINAL DANS LE SILICIUM N DIRECTION <111>

- 1 et 2 Pozhelo et All [18] à 77 et 300°K (L=1,5mm,  $\rho_0=25\Omega\text{cm}$ , F=9,6GHz)
- 3 et 4 Rolland [3] à 77 et 300°K (silistance L=300 $\mu$ ,  $\rho_0=6\Omega\text{cm}$ , F=0,85GHz)
- 5 Baechtold [13] à 300°K Epitaxie L=3 $\mu$ ,  $\rho_0=0,1\Omega\text{cm}$ , F=3 et 4GHz



### I.3. EQUIVALENCE DE $D_e$ et $D_b$

Aux paragraphes précédents nous avons défini les coefficients de diffusion.

- $D_e$  lié à l'étalement d'un paquet de porteurs dans le semiconducteur
- $D_b$  lié au bruit de diffusion.

Nous montrons ici que ces deux paramètres ont la même signification physique.

En I.1., il a été établi que la répartition des porteurs injectés au temps zéro au point  $x = 0$  d'un échantillon homogène et unidimensionnel, devient au bout d'un temps  $\tau_0$

$$n(x, \tau_0) = \frac{n_0}{\sqrt{2\pi} \sqrt{2D_e \tau_0}} \exp \left[ -\frac{(x - v_d \tau_0)^2}{4 D_e \tau_0} \right] \quad I_5$$

soit

$$\frac{n(x, \tau_0)}{n_0} = \frac{1}{\sqrt{2\pi}\sigma} \exp \left[ -\frac{(x-m)^2}{2\sigma^2} \right] \quad I_{17}$$

avec

$$\sigma = \sqrt{2D_e \tau_0} \quad m = v_d \tau_0$$

où  $v_d$  la vitesse de dérive, vitesse des porteurs situés au centre du paquet. La distribution des porteurs autour de ce centre suit donc une loi de Gauss de moyenne  $m$  et d'écart type  $\sigma$ . D'après la propriété des lois normales

$$\overline{(x-m)^2} = \sigma^2 = 2 D_e \tau_0 \quad I_{18}$$

Recalculons à présent cette moyenne  $\overline{(x-m)^2}$  en définissant pour un porteur sa vitesse instantanée  $v(t)$  et

$$x(\tau_0) = \int_0^{\tau_0} v(t) dt, \quad m = \int_0^{\tau_0} v_d(t) dt \quad |28|$$

alors

$$x - m = \int_0^{\tau_0} (v(t) - v_d) dt = \int_0^{\tau_0} u(t) dt$$

avec  $u(t)$  fluctuation de la vitesse du porteur autour de  $v_d$

Il en résulte pour l'ensemble des porteurs

$$\overline{(x-m)^2} = \left\langle \int_0^{\tau_0} \int_0^{\tau_0} u(t) u(t') dt dt' \right\rangle \quad I_{19}$$

Ces opérations étant linéaires, on peut écrire

$$\overline{(x-m)^2} = \int_0^{\tau_0} \int_0^{\tau_0} \langle u(t) u(t') \rangle dt dt' \quad I_{20}$$

posons  $t' = t + \theta$

alors

$$\overline{(x-m)^2} = \int_0^{\tau_0} \left| \int_{-t}^{\tau_0-t} \langle u(t) u(t+\theta) \rangle d\theta \right| dt \quad I_{21}$$

$\langle u(t), u(t+\theta) \rangle$  la fonction d'autocorrélation de la fluctuation des vitesses n'est différente de zéro que pour les valeurs de  $\theta$  inférieures ou égales au temps de corrélation des fluctuations de vitesse  $\tau_u$  [12, 23]

On peut donc définir  $\delta_0$  tel que si  $|\theta| > \delta_0$   $\langle u(t) u(t+\theta) \rangle$  soit nulle.

Il suffit pour cela de prendre  $\delta_0 \gg \tau_u$

alors

$$\int_{-t}^{\tau_0-t} \langle \rangle d\theta = \int_{-t}^{-\delta_0} \langle \rangle d\theta + \int_{-\delta_0}^{\delta_0} \langle \rangle d\theta + \int_{\delta_0}^{\tau_0-t} \langle \rangle d\theta$$

$\tau_0$  doit être suffisamment grande pour que  $\tau_0 - t > \delta_0 \gg \tau_u$

ainsi

$$\int_{-t}^{\tau_0-t} \langle u(t) u(t+\theta) \rangle d\theta = \int_{-\delta_0}^{\delta_0} \langle u(t) u(t+\theta) \rangle d\theta$$

et, comme

$$\langle u(t) u(t+\theta) \rangle = 0 \text{ pour } |\theta| > \delta_0$$

$$\int_{-\delta_0}^{\delta_0} \langle u(t) u(t+\theta) \rangle d\theta = \int_{-\infty}^{+\infty} \langle u(t) u(t+\theta) \rangle d\theta$$

et donc

$$(\overline{x-m})^2 = \int_0^{\tau_0} \left[ \int_{-\infty}^{+\infty} \langle u(t) u(t+\theta) \rangle d\theta \right] dt \quad I_{22}$$

Nous avons défini en I.2., le coefficient de diffusion  $D_b$  par la relation

$$D_b = \frac{1}{2} \int_{-\infty}^{+\infty} \langle u(t) u(t+\theta) \rangle e^{-i\omega\theta} d\theta$$

Comme il a été dit ci-dessus,  $\theta$  reste de l'ordre du temps de corrélation des fluctuations de vitesse  $\tau_u$ , vraisemblablement de l'ordre du temps de relaxation des moments, voisin de  $10^{-13}$  seconde. Aux fréquences  $F \ll \frac{1}{\tau_u}$ , soit  $F \ll 10000$  GHz,  $\omega\theta \ll 1$

d'où

$$D_b = \frac{1}{2} \int_{-\infty}^{\infty} \langle u(t) u(t+\theta) \rangle d\theta \quad I_{23}$$

on en déduit

$$\begin{aligned} (\overline{x-m})^2 &= 2 \int_0^{\tau_0} \left| \frac{1}{2} \int_{-\infty}^{\infty} \langle u(t) u(t+\theta) \rangle d\theta \right| dt \\ &= 2 \int_0^{\tau_0} D_b dt = 2D_b \tau_0 \end{aligned}$$

soit donc

$$(\overline{x-m})^2 = 2 D_b \tau_0 \quad I_{24}$$

de la comparaison de  $I_{18}$  et  $I_{24}$  on déduit

$$\boxed{D_e = D_b = D_{//}} \quad I_{25}$$

Les coefficients de diffusion liés à l'étalement des porteurs et au bruit de diffusion sont donc identiques si

.  $\tau_0$  le temps de mesure est très grand devant le temps de corrélation des fluctuations de vitesses  $\tau_u$

. F la fréquence de travail est très petite devant  $1/\tau_u$

. les interactions entre porteurs sont négligeable.

### Conclusion

-----

Nous avons décrit deux techniques expérimentales qui permettent de mesurer le coefficient de diffusion des porteurs chauds dans les matériaux semiconducteurs.

Elles le déduisent

- la première des caractéristiques (amplitude, temps de montée et de descente ...) du courant induit par un paquet de porteurs injectés en un point du matériau,
- la deuxième du bruit dû à la fluctuation des vitesses des porteurs.

En dernière analyse nous avons montré l'égalité des deux coefficients distingués dans les conditions suivantes

1)  $\tau_0$  temps de mesure très grand devant  $\tau_u$  temps de corrélation de la fluctuation des vitesses

2)  $F$  fréquence de travail très petite devant  $1/\tau_u$ .

Nous rassemblons (fig. 2) les résultats obtenus sur  $D_{//}$  (cas du Si n à la température ambiante) en fonction de l'intensité du champ électrique.

Ces résultats indiquent que, pour le silicium N,

- l'accord entre les auteurs est loin d'être réalisé
- les mesures de bruit appliquées à la détermination de  $D_{//}(E)$  n'ont pas été effectuées pour des champs excédant 4 KV/cm.

En outre, s'il existe quelques résultats concernant  $D$  aux basses températures, on ne connaît pratiquement rien de ce paramètre au dessus de l'ambiante, alors que ce dernier cas concerne le fonctionnement d'un grand nombre de dispositifs semiconducteurs.

Ces remarques ont inspiré notre travail que nous exposons maintenant dans les deux chapitres qui vont suivre.

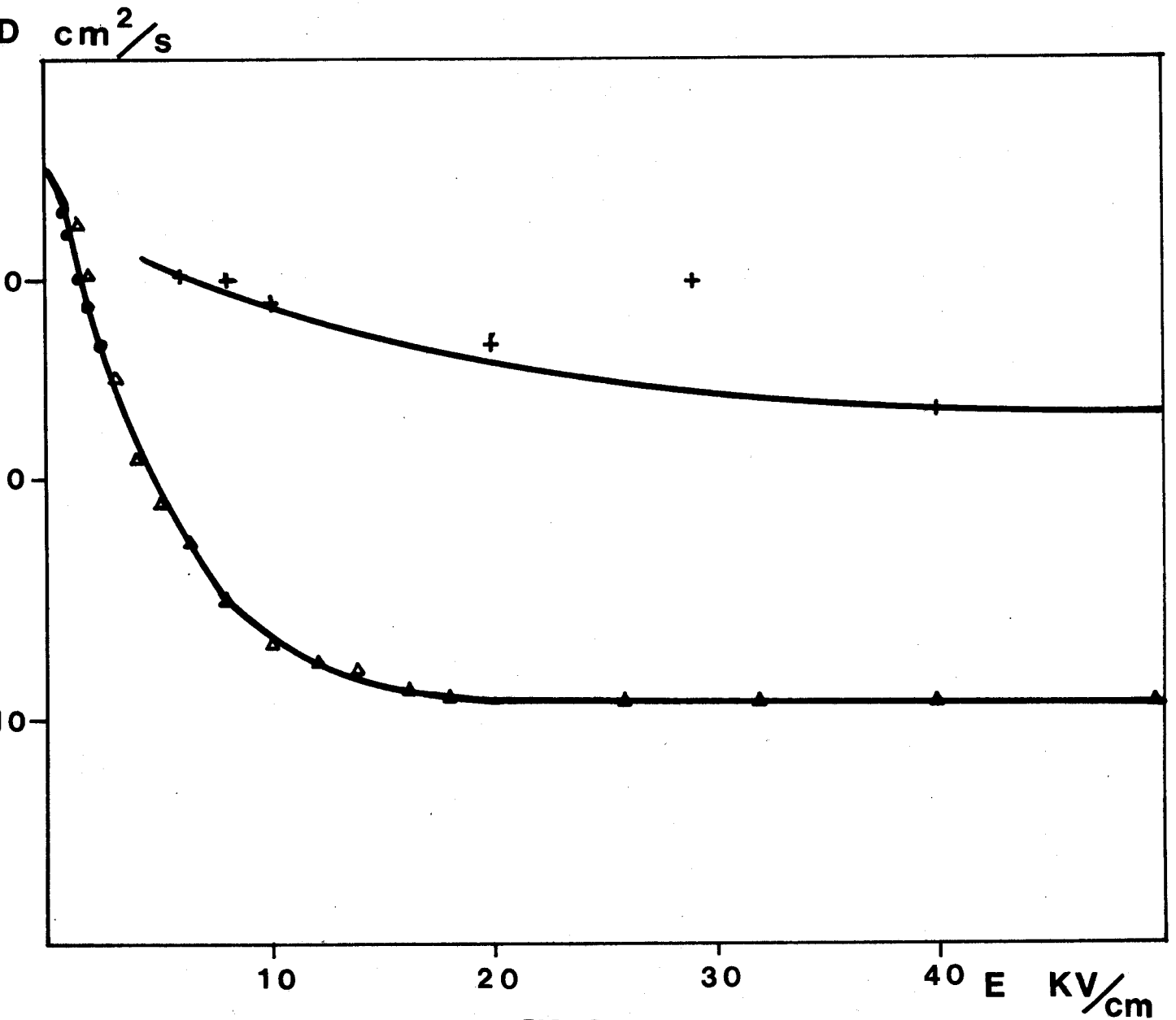


FIG. I<sub>2</sub>

ULTATS EXPERIMENTAUX RELATIFS AU COEFFICIENT DE DIFFUSION DANS LE SILICIUM N DIRECTION<111>

ymon & Gibbons [4]  $\Delta$  Canali et All [6] par la technique du "temps de vol"

● Rolland [3] par la mesure du bruit de diffusion



CHAPITRE II

TECHNIQUE DE MESURE DU BRUIT DE DIFFUSION

ET RESULTATS EXPERIMENTAUX

Dans ce chapitre nous décrivons la méthode expérimentale développée pour la mesure de la température de bruit de diffusion. Pour cela, nous utilisons une technique radiométrique [20].

Dans une première partie nous donnons le principe de la méthode utilisée.

Une deuxième partie décrit les tests effectués qui nous assurent de la validité de la méthode.

En dernier lieu nous présentons les résultats obtenus en champ fort.

## II.1. PRINCIPE DE LA METHODE

### II.1.1. *Principe du radiomètre*

-----

Nous donnons fig. II<sub>1</sub> le schéma de principe du radiomètre.

I comprend un mélangeur qui effectue un battement entre une source de bruit et un oscillateur local (ol). Le signal résultant est amplifié, puis après intégration est envoyé sur un appareil de mesure. Le signal ainsi obtenu est proportionnel à  $T_A + T_R$  |20a|

où

$T_A$  la température à mesurer

$T_R$  la température du récepteur

Afin d'éviter l'erreur introduite par la température du récepteur dans ce type de radiomètre (fig. II<sub>1</sub>), DICKE |20b| utilise un système de modulation qui permet de transmettre au récepteur alternativement (à la fréquence  $f$ ) d'une part la puissance de bruit à mesurer, d'autre part la puissance de bruit d'une charge adaptée (ligne unidirectionnelle). Après changement de fréquence et amplification large bande, le signal de bruit peut être représenté comme ci-dessous ( $T_A > T_0$ )

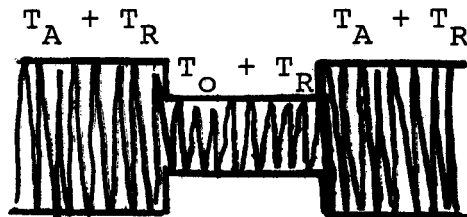


Fig II<sub>2</sub>

Un ensemble d'amplification sélective à la fréquence  $f$  et de détection synchrone permet d'extraire de ce signal, après intégration, une tension proportionnelle à  $T_a - T_0$  et indépendante de  $T_R$ .

$T_A$  est soit la température du composant à étudier, soit celle d'une source étalon.

En comparant les niveaux en bout de chaîne de la source étalon et du composant, on déduit la température de bruit de ce dernier. C'est ce type de radiomètre qui est utilisé (fig. II<sub>3</sub>)

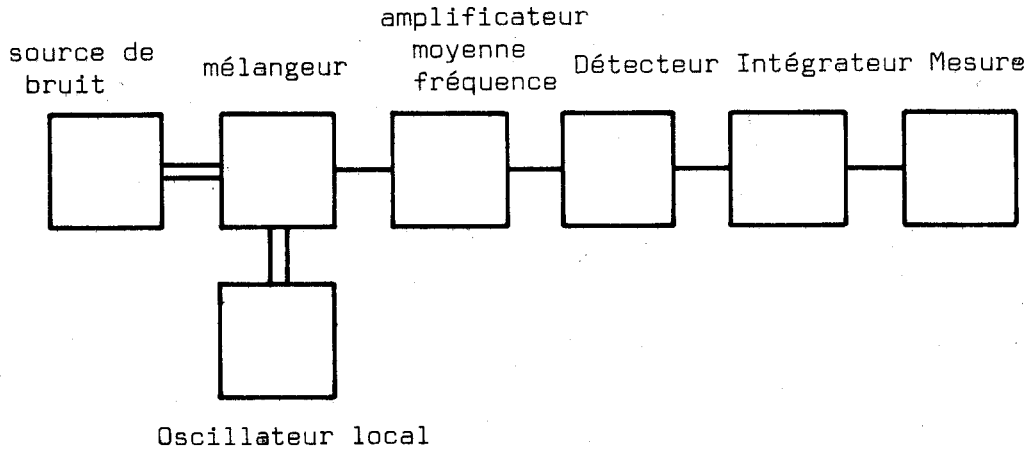


FIG. II<sub>1</sub>

SCHEMA DE PRINCIPE D'UN RADIOMETRE

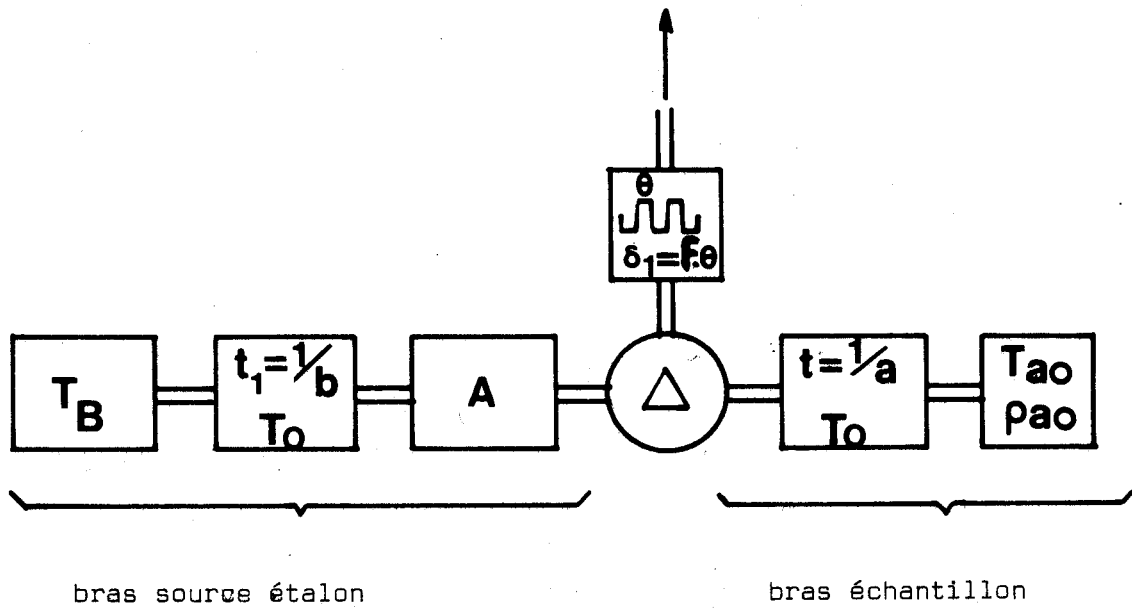


FIG. II<sub>3</sub>

SCHEMA DE PRINCIPE DU BANC DE MESURE DE BRUIT THERMIQUE (RADIOMETRE DE DICKE)



II.1.2. Radiomètre bande X  
-----

Les mesures sont effectuées en bande X. Le choix de cette bande de fréquence est dicté par la nécessité de réduire au maximum le bruit en  $1/F$  |2.3.21.22|, et d'avoir plus de sensibilité (car plus grande bande passante).

Le banc comporte les éléments suivants

- un oscillateur local : klystron 2 k 25 8,5 à ~~10~~ 10 GHz, ou pour les mesures en fonction de la fréquence, générateur Férisol 8 à 11 GHz.
- Un mélangeur : RHG, 9,5 à 10, 2 GHz, fréquence de sortie 60 MHz, bande passante 23 MHz facteur de bruit 7.5dB ou bien RHG 1 à 12 GHz, ~~4 MHz de bande passante~~, 300 MHz de bande passante, facteur de bruit 9.5 dB.
- Une source de bruit étalon Phillips PPU 500 K de température 21800°K.
- Un amplificateur FI : fréquence centrale 60 MHz, 20 MHz de bande passante, 80 dB de gain.
- Un modulateur pin qui permet de dissocier le bruit à mesurer du bruit du récepteur et sert pour la détection synchrone.
- un générateur de fonction qui délivre les signaux de référence de l'amplificateur synchrone et de commande du modulateur Pin.

Ce radiomètre est suffisamment sensible pour détecter une variation de température de quelques degrés par rapport à l'ambiante.

Ci-après nous décrivons les tests effectués pour nous assurer du bon fonctionnement du radiomètre.

## II.2. TESTS DE VALIDITE DU RADIOMETRE

Le principe de ces tests est le suivant :

On mesure la température d'un corps donné à l'aide d'une thermosonde et on vérifie que le radiomètre donne bien le même résultat.

### II.2.1. Banc de mesure de bruit thermique et méthode de dépouillement

#### II.2.1.1. Banc de mesure

Le banc est schématisé fig. II<sub>3</sub>

. a est l'atténuation en puissance du bras échantillon

. b celle du bras source étalon compte tenu de la perte d'insertion de l'atténuateur étalonné. Cet atténuateur sert à égaliser en sortie, les signaux délivrés par les deux sources de bruit. On appelle A l'atténuation alors lue.

. Le commutateur sert à mettre l'un ou l'autre bras en liaison avec le récepteur.

*• de rapport cyclique du signal qui polarise le modulateur*

#### II.2.1.2. Méthode de dépouillement

Voir fig. II<sub>3</sub>

a) température équivalente d'un dipole chargé par un quadripôle passif dissipatif.

Soient  $T_{ao}$  et  $\rho_{ao}$  la température et le coefficient de réflexion en puissance du dipole,  $T_o$  la température et  $a$  l'atténuation du quadripôle.

La puissance de bruit ou ce qui revient au même, la température de bruit à l'entrée du quadripôle vaut

$$T' = (1 - \rho_{ao}) T_{ao} + \rho_{ao} T_o$$

à la sortie du quadripôle on a  $|2|$

$$II_{01} \quad T_{eq} = \frac{T'}{a} + (1 - \frac{1}{a}) T'$$

soit

$$II_{02} \quad T_{eq} = t(1 - \rho_{ao}) T_{ao} + \rho_{ao} T_o + (1-t) T_o$$

où on a posé

$$\frac{1}{a} = t$$

b) Application à notre problème (fig II<sub>3</sub>)

C'est  $T_{eq}$  (II<sub>02</sub>) que voit le récepteur quand le modulateur est passant.

Du côté du bras échantillon

$$II_{03} \quad T_{eq_{si}} = t(1 - \rho_{ao}) T_{ao} + t \rho_{ao} T_o + (1 - t) T_o$$

où  $T_o$  est la température ambiante.

Du côté de la source étalon

$$II_{04} \quad T_{eq_{SE}} = E' (1 - \rho_e) T_B + t' \rho_e T_o + (1 - t') T_o$$

où

$$t' = \frac{1}{bxA} = \frac{t_i}{A}$$

$T_B = 21800^\circ K$  est la température de la source étalon,  $\rho_e$  son coefficient de réflexion en puissance. Cette source étant adaptée, l'expression II<sub>04</sub> devient

$$II_{05} \quad T_{eq_{SE}} = t_i \frac{T_B - T_o}{A} + T_o$$

Quand le modulateur est bloqué, le récepteur voit  $T_o$  (ligne unidirectionnelle), la température ambiante.

En sortie de l'amplificateur synchrone on a

$$II_{06} \quad \Delta T_{SI} = k t (1 - \rho_{ad}) (T_{ao} - T_o) \frac{\sin \delta' \pi}{\pi} \quad \text{pour la source à étudier}$$

$$II_{07} \quad \Delta T_{SE} = k t, \frac{T_b - T_o}{A} \frac{\sin \delta, \pi}{\pi} \quad \text{pour la source étalon}$$

A est ajusté pour avoir la même puissance détectée dans les deux cas.  
On a alors

$$\Delta T_{si} = \epsilon \Delta T_{OE} \quad \text{où } \epsilon = 1 \text{ au dessus de l'ambiante}$$

$$\epsilon = -1 \text{ en dessous}$$

On en déduit

$$II_{08} \quad \Delta T = \frac{a}{b} \frac{T_B - T_o}{A} \cdot \frac{1}{1 - \rho_{ao}} \quad \text{où } a/b = \frac{t_i}{t}$$

où  $\Delta T = T_{ao} - T_o$  est l'écart de température par rapport à l'ambiante.

Trois types de mesures sont envisagés

- 1) Le dipôle est une charge adaptée ( $\rho_{ao} = 0$ )
- 2) Le diôle est une charge quelconque que l'on adapte ( $\rho_{ao} = 0$ )
- 3) Le dipôle est charge quelconque dont on mesure le coefficient de reflexion  $\rho_{ao}$  en puissance.

Le schéma définitif du banc est donné fig. II<sub>4</sub>.

Nous avons joint une dérivation à l'oscillateur local (OL) qui permet d'adapter le dipôle ou de mesurer son coefficient de reflexion à la fréquence de travail.

### II.2.2. Résultats des tests

-----

Ils sont obtenus :

- . sur une charge adaptée (OSM) de 50  $\Omega$
- . sur des échantillons de silicium montés au travers d'un guide bande X sous-dimensionné
- . sur des échantillons montés sur ligne microonde

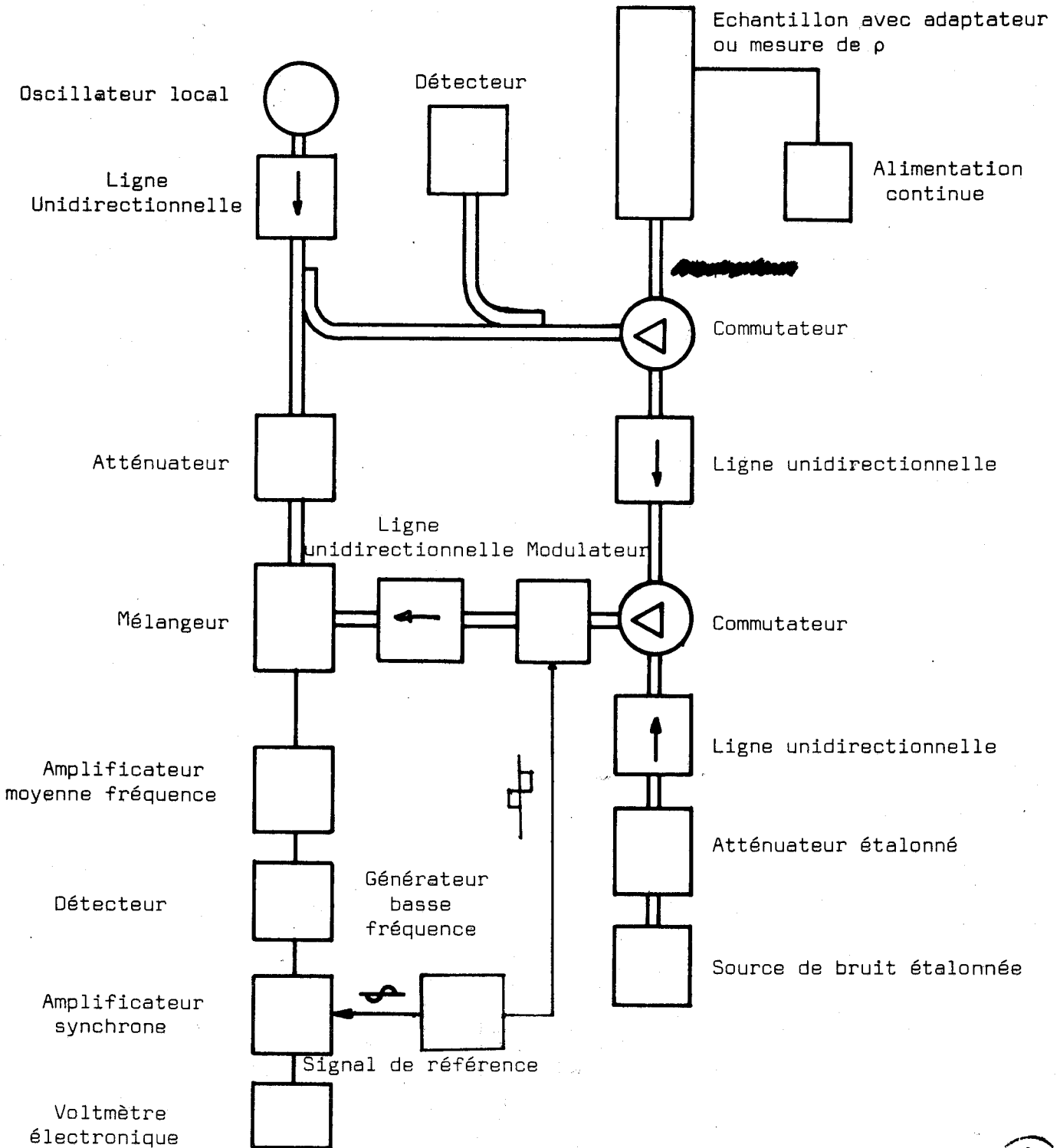


FIG. II<sub>4</sub>

BANC DE MESURE DE BRUIT THERMIQUE



### II.2.2.1. Mesure sur charge adaptée

La charge adaptée fait corps avec une cellule dont on élève la température à l'aide de résistances chauffantes. Un bain d'Azote liquide permet de descendre en dessous de 0°C. Un système de régulation assure la stabilisation des températures. Les mesures ont été effectuées entre -80 et 120°C. fig II<sub>5</sub>

A connue,  $\Delta T$  se calcule à partir de

$$\text{II}_{09} \quad \Delta T = 2 \frac{a}{b} \frac{T_B - T_0}{A}$$

voici deux exemples typiques de mesure

$$\text{à } 50^\circ\text{C} \quad A = 30 d_B$$

et comme  $t_0 = 15,7^\circ\text{C}$  et  $b/a$  estimé à  $2 d_B$   $\Delta T = 34^\circ\text{C}$  d'où

$$t_a = 34 + 15,7 = 49,8^\circ\text{C}$$

$$\text{à } -50^\circ\text{C} \quad A = 27,3 d_B$$

$$\Delta T = -63,5^\circ\text{C} \quad \text{et } t_a = -48^\circ\text{C}$$

Nous donnons fig II<sub>6</sub> la courbe comparative des températures de bruit mesurées d'une part à la thermosonde, d'autre part au radiomètre. L'accord est satisfaisant.

### II.2.2.2. Mesure sur "silistance" 2mm |23|

Les échantillons sont des parallélépipèdes de silicium N tirés dans la direction  $\langle 111 \rangle$  munis de deux contacts ohmiques dans cette direction ;  $1 \text{ mm}^2$  de section, 2 mm de longueur 2.8, 8.5 et  $25 \Omega \text{ cm}$  de résistivité à  $300^\circ\text{K}$

Ils sont montés comme l'indique la fig. II<sub>7</sub>.

La mesure de la température de réseau se fait en deux étapes.

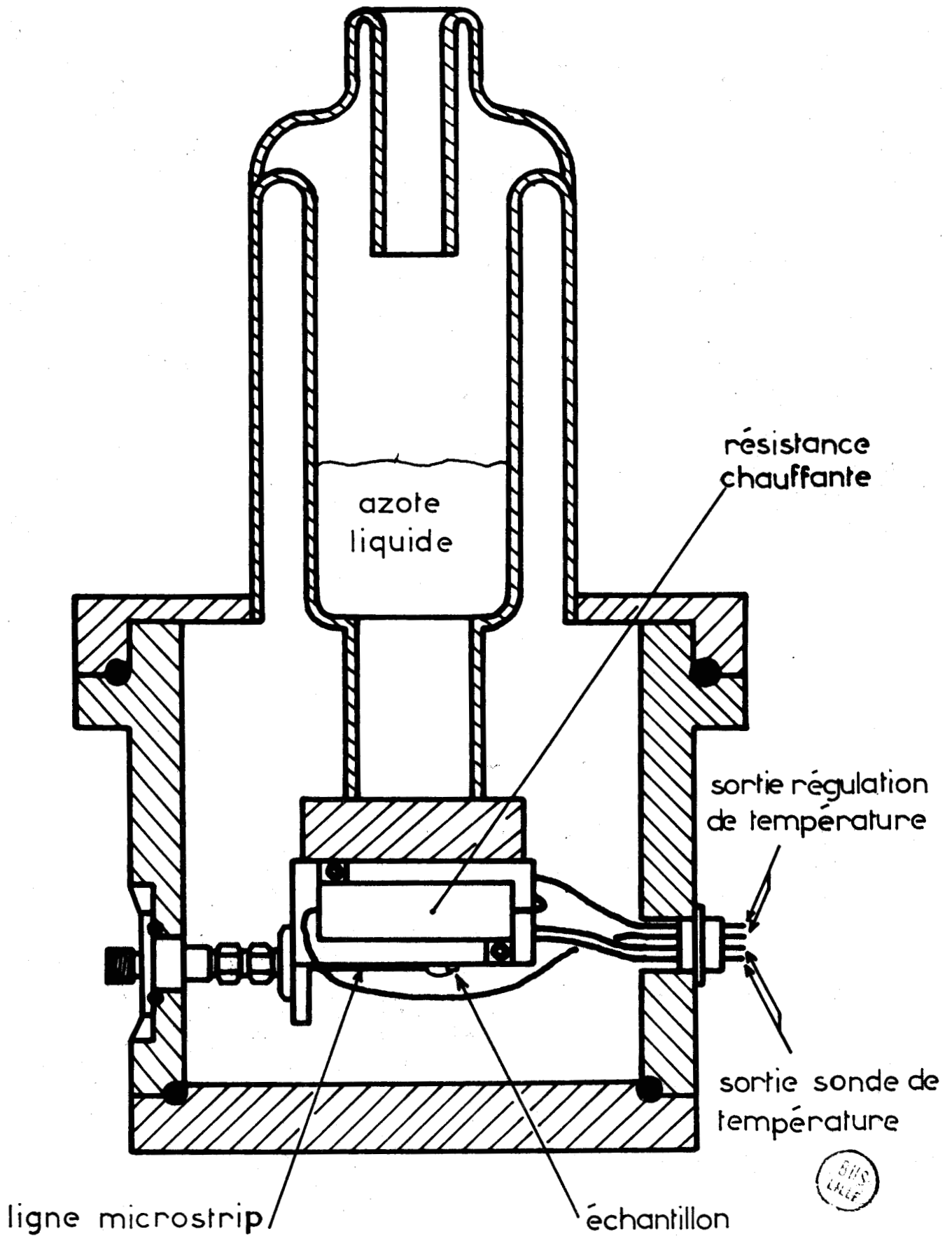


FIG. II<sub>5</sub>

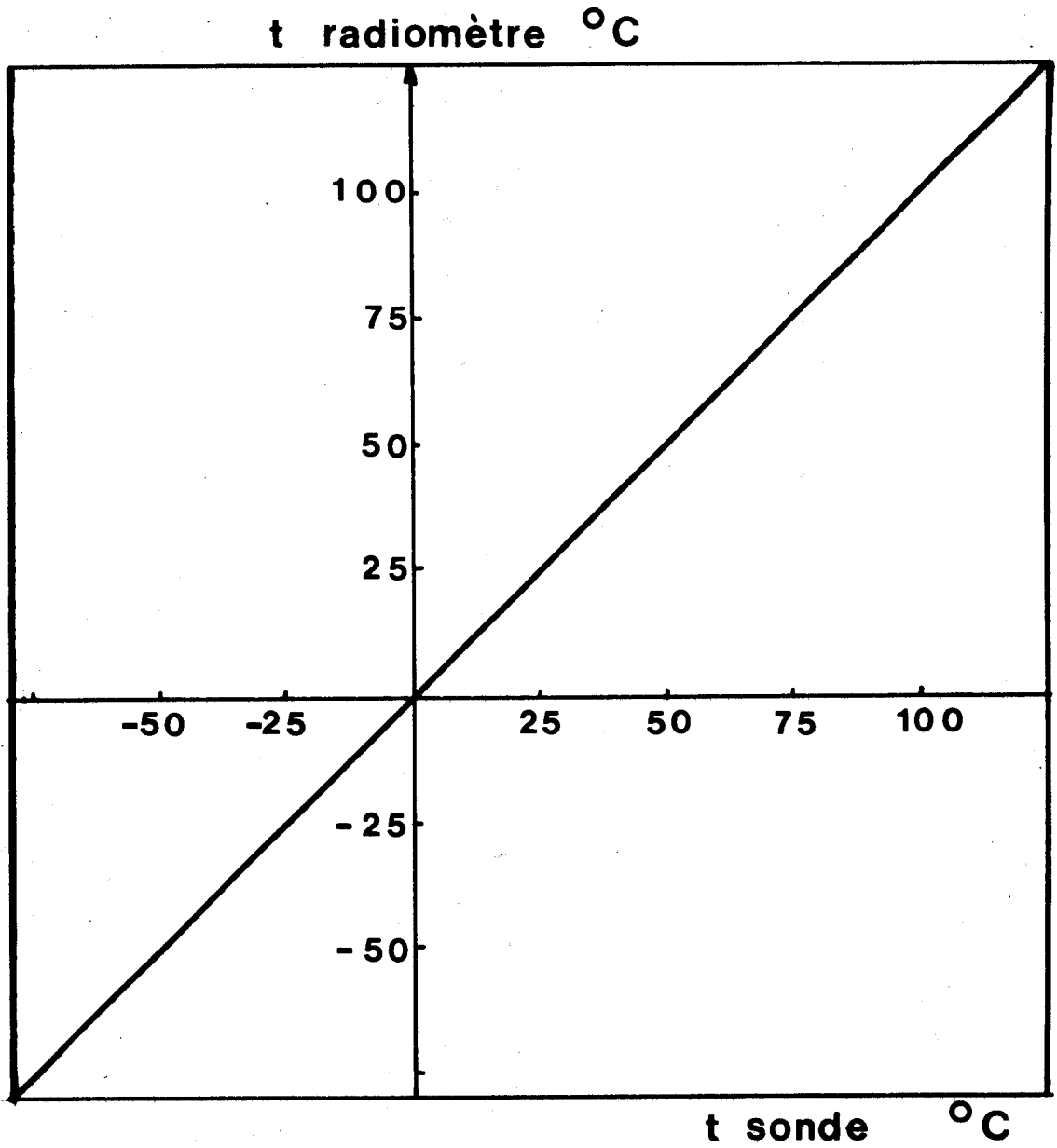
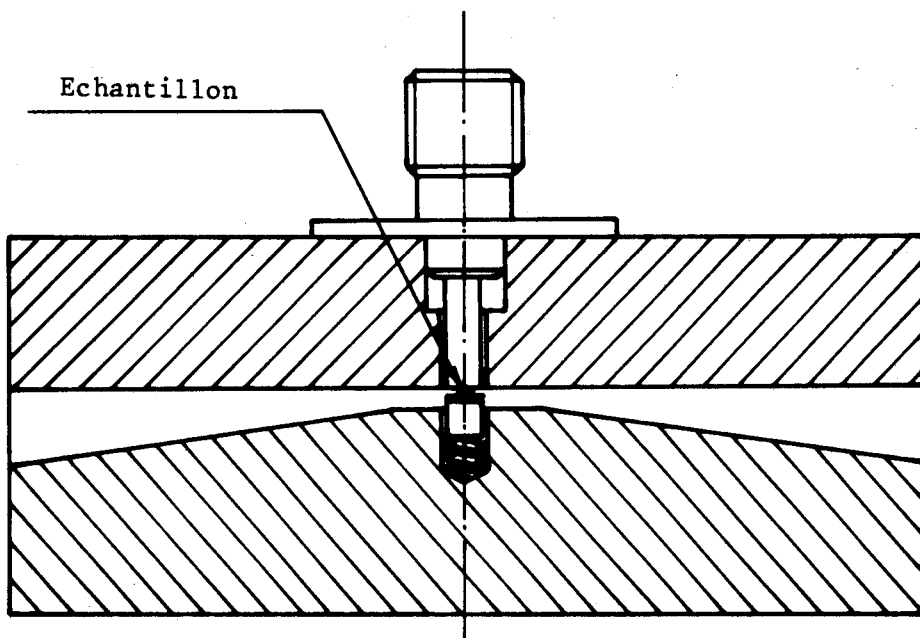


FIG. II<sub>6</sub>

RESULTATS DES TESTS SUR CHARGE ADAPTEE

(COMPARAISON DES TEMPERATURES MESUREES AU RADIOMETRE ET A LA THERMOSONDE)





CELLULE DE MESURE  
sur silistance 2 mm  
Guide standard bande X sous-dimensionné

Figure II<sub>7</sub>



1) L'échantillon est placé dans une étuve. On mesure sa résistance fonction de la température  $R(T)$  fig. II<sub>8</sub>.

2) La cellule est ensuite montée sur le banc de mesure. L'échantillon est alors chauffé par effet Joule. On mesure le bruit qu'il émet au radiomètre ainsi que sa résistance (Fig. II<sub>8</sub>). Le report à la courbe  $R(T)$  donne la température à laquelle l'on a porté l'échantillon. Un adaptateur Philips PM 7151 x 182 = 12,4 GHz assure l'adaptation d'impédance

Nous donnons FIG II<sub>9</sub>, la température mesurée au radiomètre en fonction de celle lue à la thermosonde. L'accord nous paraît satisfaisant sauf pour les points situés au-delà de 150°C.

### II.2.2.3. Mesures sur microstrip

Les résultats en champ fort que nous donnons plus loin sont obtenus sur des échantillons montés sur micro-strip. Des tests préliminaires ont été effectués sur ce type de cellule. On opère sur des échantillons de 350 microns décrits en II<sup>II</sup><sub>31</sub> et montés comme l'indique la fig. II<sub>10</sub>.

La détermination des températures se fait comme en II.2.2.2. La différence <sup>est</sup> qu'ici l'on mesure le coefficient de réflexion de l'échantillon. Un court-circuit au bout du microstrip sert de référence.

Nous donnons fig. II<sub>11</sub> les résultats obtenus. Sur la courbe b nous n'avons pas tenu compte de  $\rho$  dans l'expression de  $\Delta T$  (II<sub>08</sub>). Cette courbe montre l'effet de la désadaptation des échantillons sur les températures mesurées au radiomètre. Si l'on tient compte de  $\rho$  (fig. II<sub>11</sub>) l'accord est tout à fait satisfaisant.

$$r(T) = R(T) / (R_0)$$

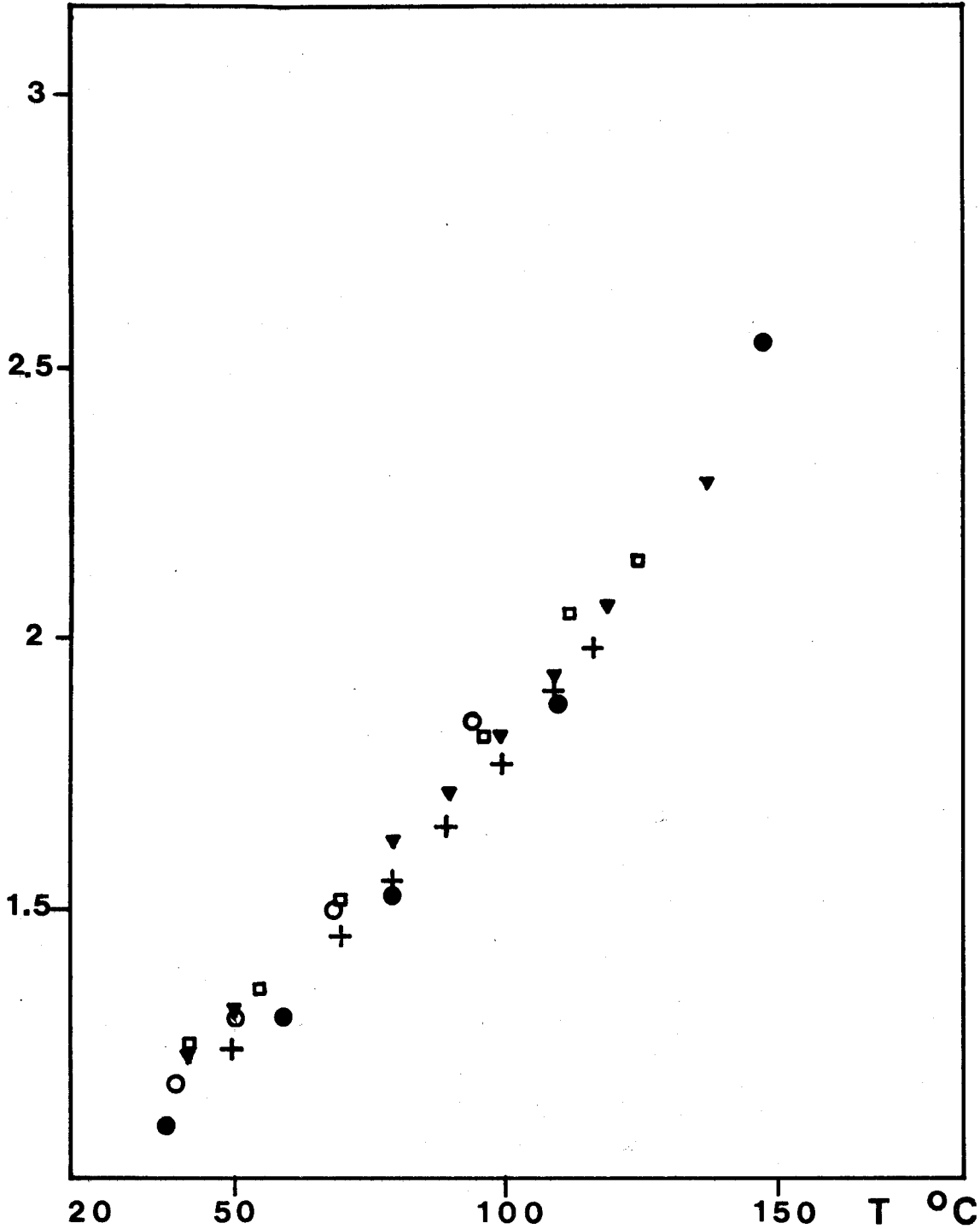


FIG. II<sub>8</sub>



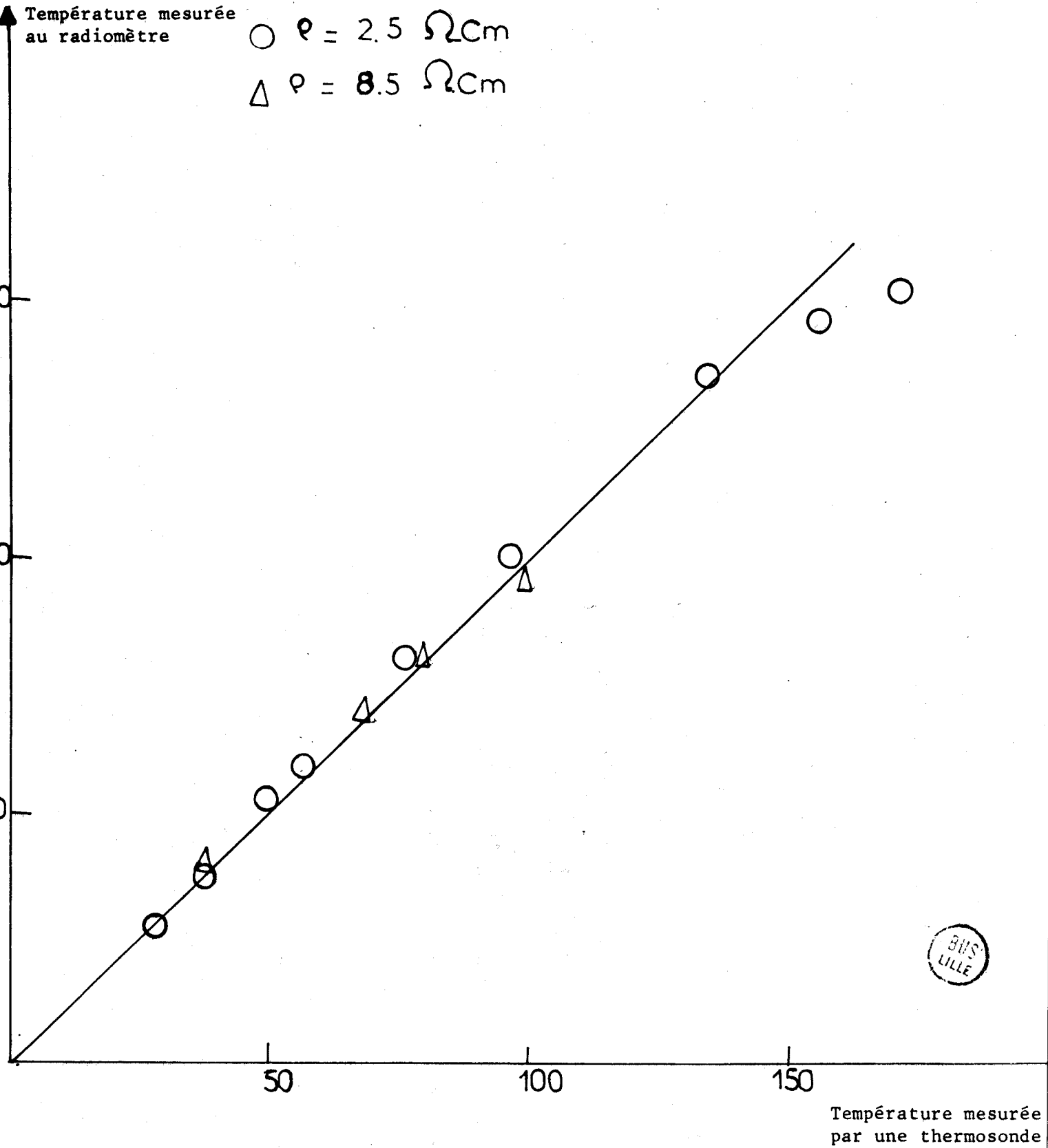
RESISTANCE REDUITE FONCTION DE LA TEMPERATURE DE RESEAU MESUREE AU RADIOMETRE ET A LA SONDE

+  $P_0 = 2.5 \text{ W}$ ,  $\nabla$   $P_0 = 8.5 \text{ W}$ ,  $\blacksquare$   $P_0 = 25 \text{ W}$   $\rightarrow$  Mesure directe

$\circ$   $P_0 = 8.5 \text{ W}$   $\bullet$   $P_0 = 2.5 \text{ W}$   $\rightarrow$  Mesure au radiomètre

FIGURE II<sub>9</sub>

RESULTATS DES TESTS RELATIFS AUX SILISTANCES 2 mm



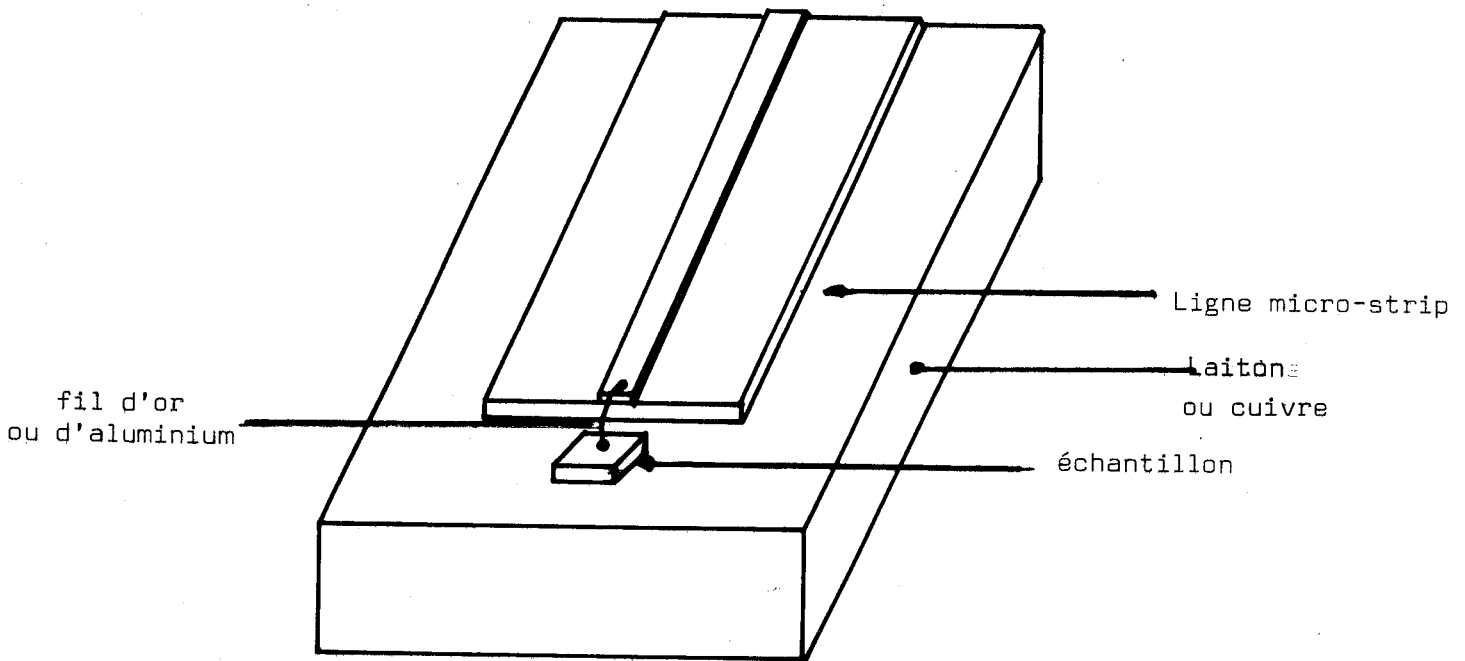


FIG. II<sub>10</sub>

LIGNE MICRO-STRIP



t radiomètre °C

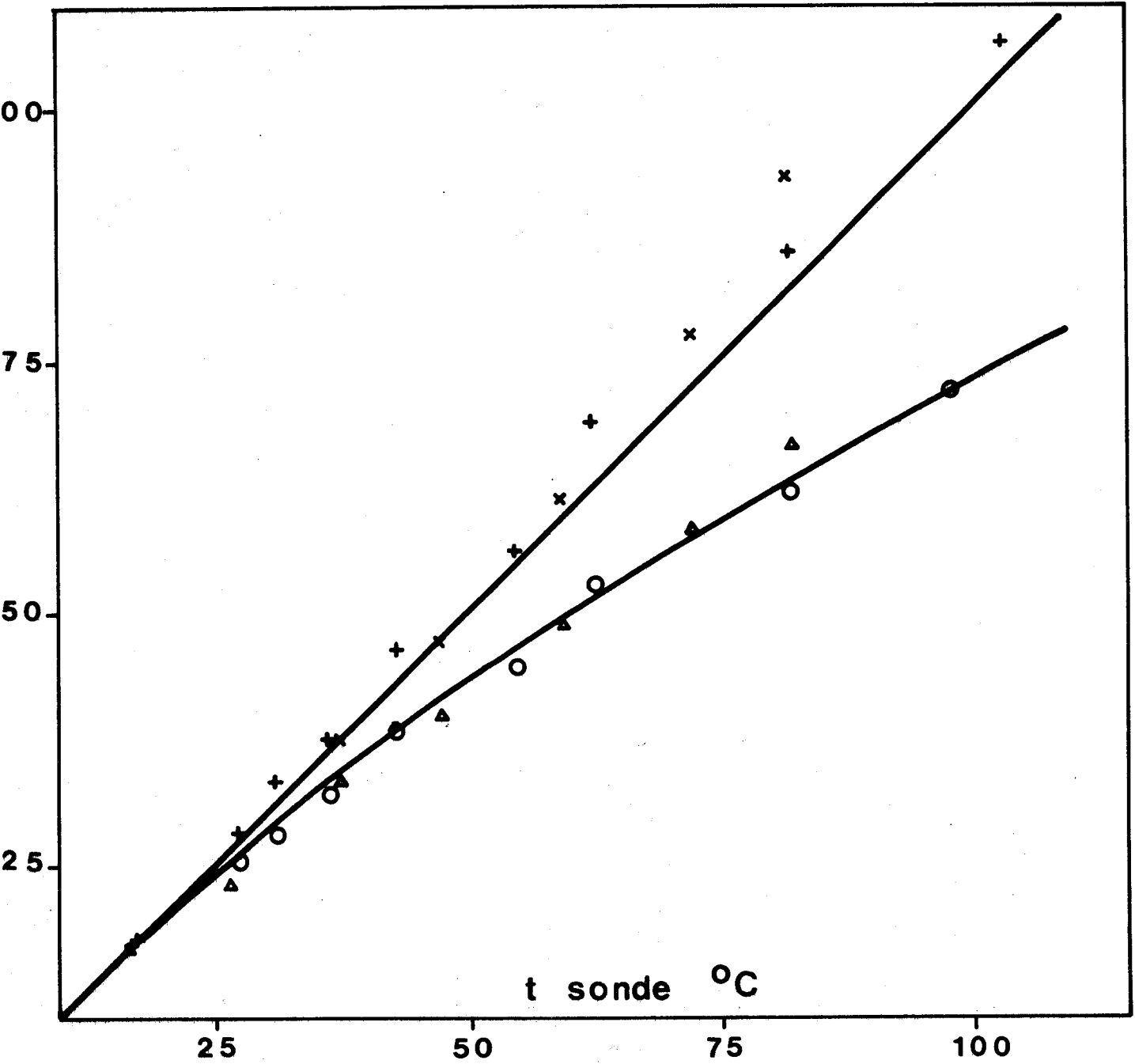


FIG. II<sub>11</sub>

COURBES COMPARATIVES DES TEMPERATURES MESUREES AU RADIOMETRE ET A LA THERMOSONDE

(SUR LIGNE MICROSTRIP, MESURE DU COEFFICIENT DE REFLEXION)

o Δ sans correction

x + avec correction



### II.3. RESULTATS EN CHAMP FORT TEMPERATURE DE BRUIT DE DIFFUSION

Ces résultats sont obtenus sur trois types d'échantillons dont nous donnons les caractéristiques. Nous décrivons ensuite le banc de mesure et la technique de dépouillement. En dernier lieu nous donnons les résultats obtenus.

#### II.3.1. Les échantillons

Les mesures ont porté sur des pastilles de silicium N munies de contacts ohmiques<sup>\*</sup>. Les champs sont appliqués suivant l'axe cristallographique <111>. Trois types d'échantillons sont utilisés fig. II<sub>12</sub>

- Silistances de longueur  $L = 350 \mu$ , de résistivité  $\rho_0 = 10 \Omega \text{cm}$  à  $300^\circ \text{K}$ , de section  $S = 25 \cdot 10^{-4} \text{ cm}^2$ . II<sub>12c</sub>

- Epitaxie<sup>\*\*</sup> planar 405 A  $L = 8,2 \mu\text{m}$ ,  $\rho_0 = 9$  à  $10 \Omega \text{cm}$  à  $300^\circ \text{K}$   $S = 1.13 \cdot 10^{-4} \text{ cm}^2$  fig II<sub>12a</sub>

- Epitaxie Mesa 4265  $L = 10 \mu\text{m}$ ,  $\rho_0 = 2 \Omega \text{cm}$  à  $300^\circ \text{K}$   $S = 1.13 \cdot 10^{-4} \text{ cm}^2$  fig II<sub>12b</sub>

Les mesures sur epitaxies ont permis d'atteindre des champs importants ( $E \neq 100 \text{ KV/cm}$ ) sans échauffement notable du réseau. Signalons cependant l'inconvénient que représente la non uniformité des champs électriques dans ce type d'échantillons. Ceci rend plus difficile l'interprétation des résultats et d'éventuelles comparaisons avec les travaux d'autres auteurs. Les résultats sur les silistances vont nous servir de point de comparaison.

#### II.3.2. Banc de mesure de bruit de diffusion et techniques de dépouillement

##### II.3.2.1. Banc de mesure

voir Fig II<sub>13</sub>

\* Ces contacts ont été réalisés au Laboratoire du CHS par Monsieur VANBREMEERSCH à qui nous exprimons ici notre reconnaissance.

\*\* Les plaquettes épitaxiées ont été fournies par le LAAS que nous tenons à remercier

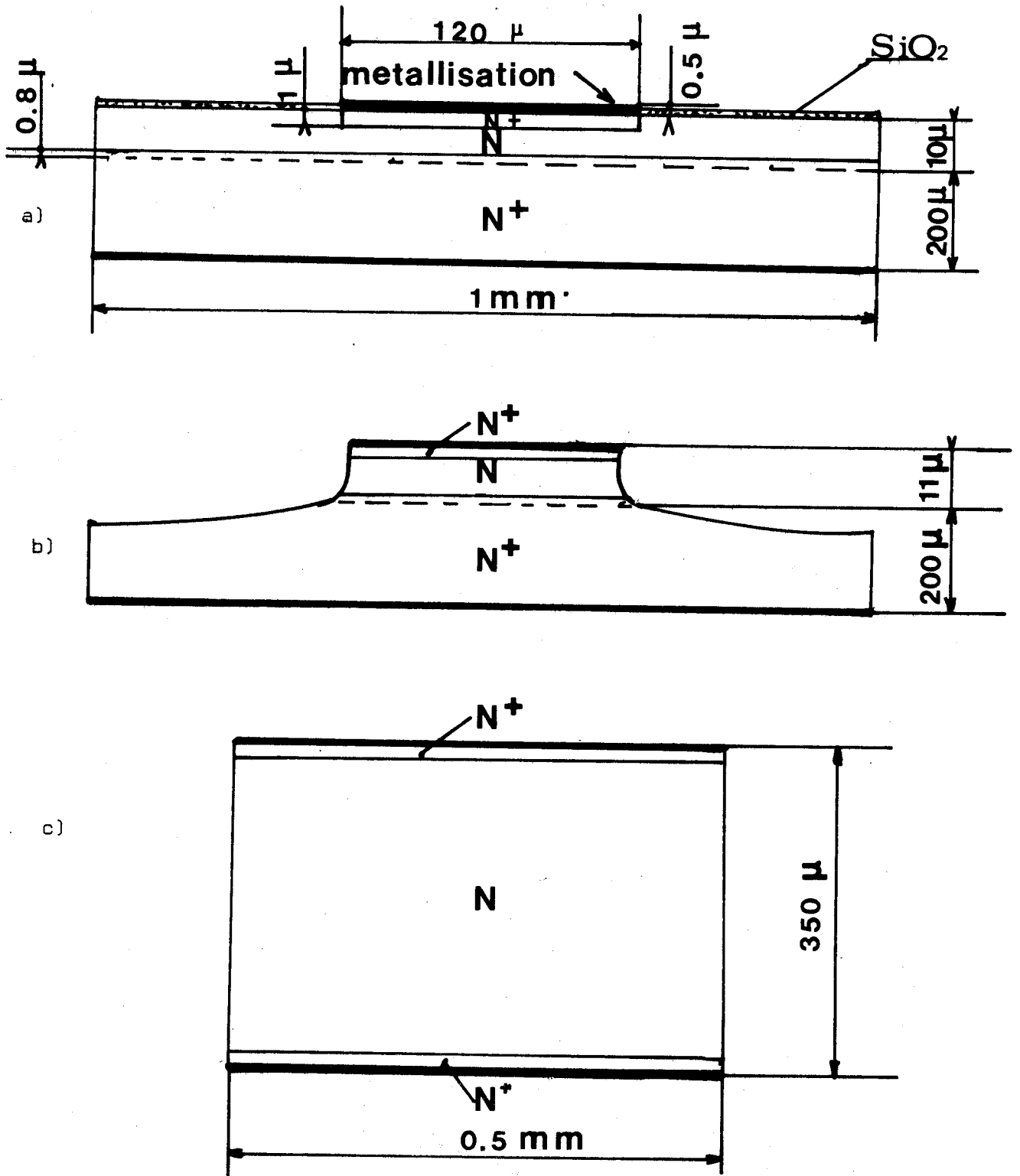


FIG. II<sub>12</sub>

FORMES DES ECHANTILLONS UTILISES

- a) épitaxie planar 405 A
- b) épitaxie mesa 42 65
- c) silistance



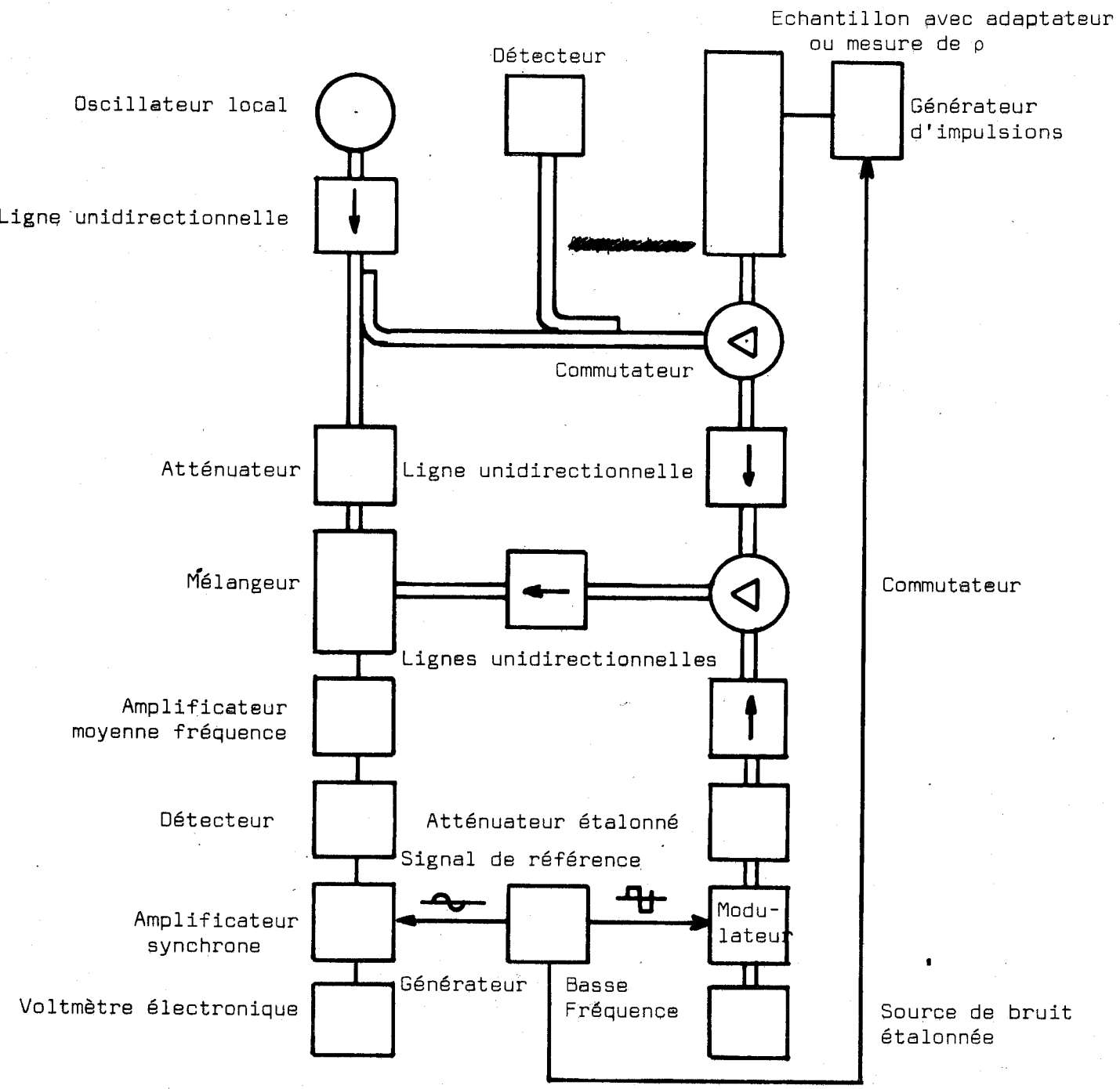


FIG. II<sub>13</sub>

BANC DE MESURE DU BRUIT DE DIFFUSION



Dans ce cas le modulateur PIN est dans le bras source-étalon, le générateur de fonction commande en plus le générateur d'impulsions qui polarise l'échantillon

II.3.2.2. Méthode de dépouillement

Le banc de mesure est schématisé fig. II<sub>14</sub>.  $T_B$ ,  $T_O$ ,  $a$ ,  $b$  x  $A$  sont définies comme en II.2.1.2.  $T_{ao}$  est la température du réseau de l'échantillon,  $\rho_{ao}$  son coefficient de réflexion.  $T_a$  la température de bruit en présence de l'impulsion  $\rho$  le coefficient de réflexion correspondant.

On cherche à calculer  $\Delta T_n = T_a - T_{ao}$ . Utilisant les résultats du paragraphe II.2.1.2 on a en présence de l'impulsion,

$$T_{eq} = t (1 - \rho) T_a + t\rho T_O + (1-t) T_O$$

entre deux impulsions

$$T_{eqo} = t(1 - \rho_{ao}) T_{ao} + t\rho_{ao} T_O + (1-t) T_O$$

d'où les signaux détectés

. Pour l'échantillon

$$S_{si} = K \frac{\sin \delta \pi}{\pi} [t (1-\rho) (T_a - T_{ao}) + t(\rho - \rho_{ao}) (T_O - T_{ao})]$$

. Pour la source étalon

$$S_{SE} = K \frac{\sin \delta \pi}{\pi} t_1 \frac{T_B - T_O}{A} \quad \text{II}_{07}$$

où  $\delta_1$  défini précédemment

et  $\delta$  le rapport cyclique du signal qui polarise l'échantillon.

On règle l'atténuation  $A$  de façon à avoir

$$S_{si} = S_{SE}$$

Dans ces conditions

$$\Delta T_n = \frac{1}{1-\rho} \left[ \frac{a}{b} \cdot \frac{1}{\sin \delta \pi} \frac{T_B - T_O}{A} + (T_{ao} - T_O) (\rho - \rho_{ao}) \right] \quad \text{II}_{14}$$

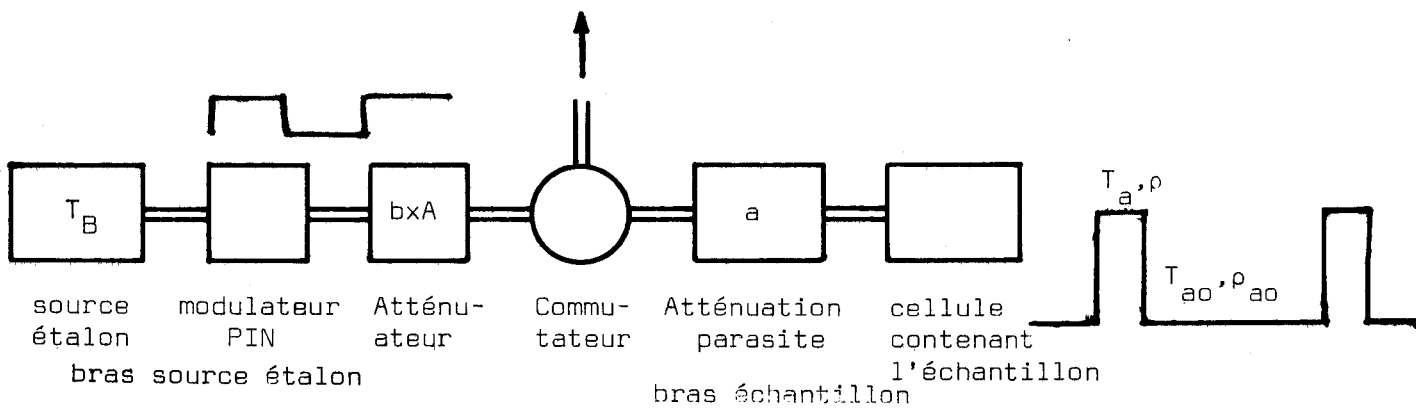


FIG. II<sub>14</sub>

SCHEMA DU BANC DE MESURE DU BRUIT DE DIFFUSION



Différents cas particuliers sont envisagés

. si  $T_{ao} = T_o = 300^\circ\text{K}$

$$\Delta T_{//} = \frac{1}{1-\rho} \frac{a}{b} \frac{1}{\sin \delta \pi} \frac{T_B - T_o}{A} \quad \text{II}_{15}$$

les inconnues de ce problème sont A et  $\rho$ .

A est déterminé en égalisant les niveaux des deux sources en sorties.

$\rho$  peut être annulé par adaptation d'impédance, ou bien mesuré et introduit dans l'expression de  $\Delta T_{//}$ .

Si  $T_{ao}$  est différent de  $T_o$  on mesure A,  $\rho$ ,  $\rho_{ao}$  et  $\Delta T_{//}$  est donné par l'expression II<sub>14</sub>.

### II.3.3. Etude relative à l'échauffement du réseau

-----

Il est souhaitable que les impulsions appliquées à l'échantillon n'échauffent pas le réseau. Pour une intensité de champ électrique donnée le bruit de diffusion n'est décelable par l'appareillage que pour des impulsions de rapport cyclique suffisant. On contrôle l'échauffement éventuel du réseau par deux méthodes complémentaires.

1) On trace la caractéristique  $I(v)$  en régime d'impulsion dans des conditions telles qu'on soit certain de ne pas chauffer le réseau. On reporte sur cette courbe les points correspondants aux impulsions appliquées lors de la mesure du bruit de diffusion. Les différences observées permettent de déceler l'échauffement de l'échantillon.

La figure II<sub>15</sub> montre que les épitaxies ne s'échauffent pas (ce résultat se confirme par ailleurs si l'on utilise la résistance thermique mesurée :  $R_{th} \neq 40^\circ/\text{w}$ ).

La fig II<sub>16</sub> indique qu'avec notre appareillage, il est difficile d'effectuer des mesures de bruit sur les silistances sans échauffer le réseau.

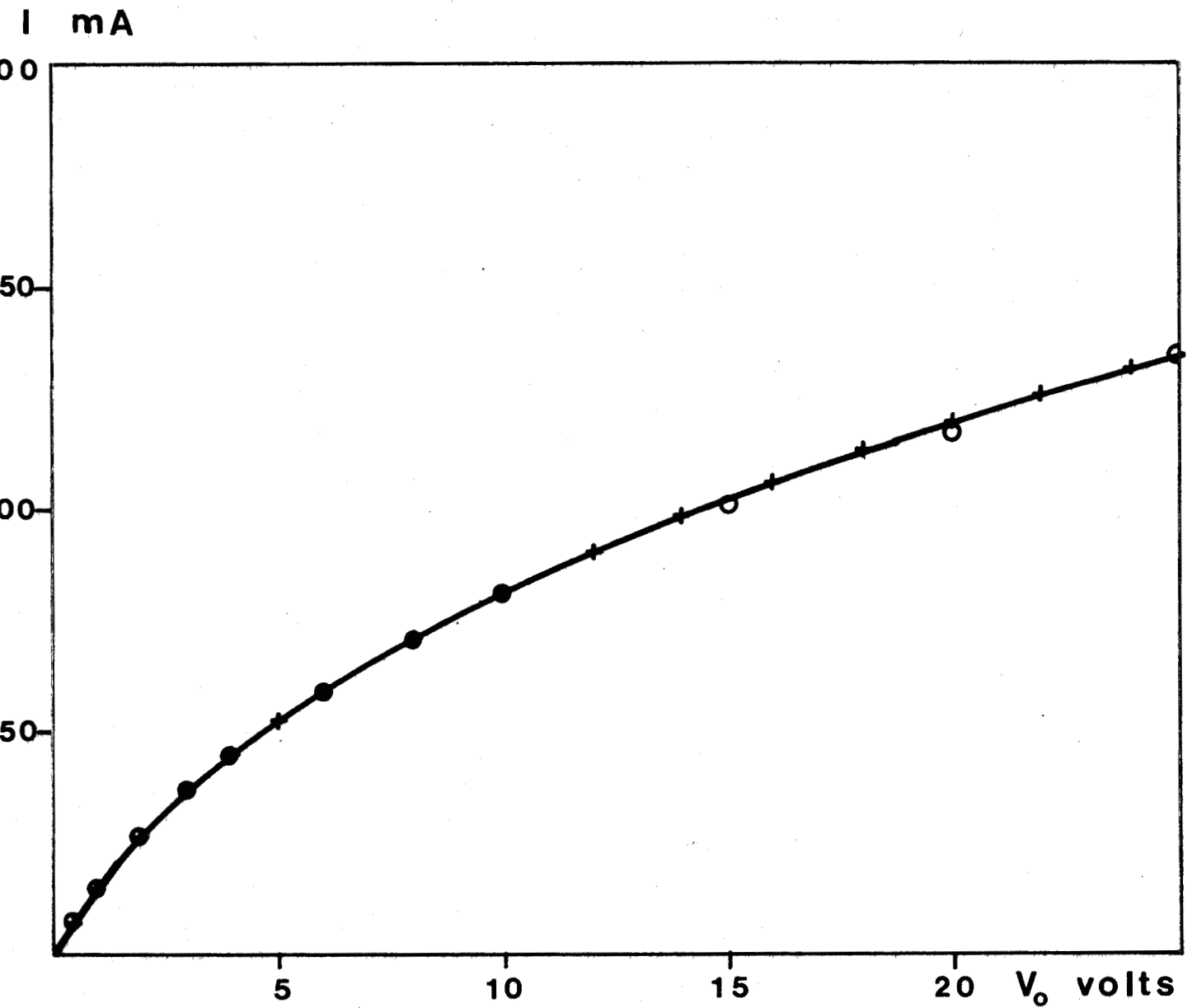


FIG. II<sub>15</sub>

CARACTERISTIQUES COURANT TENSION DE L'EPITAXIE PLANAR /

- $\times$  avec impulsion à faible taux de répétition ( $F=40\text{Hz}$ ,  $\theta=2\mu\text{s}$ )
- $\circ$  avec impulsion de mesure ( $F=1\text{KHz}$ ,  $\theta$  variable)



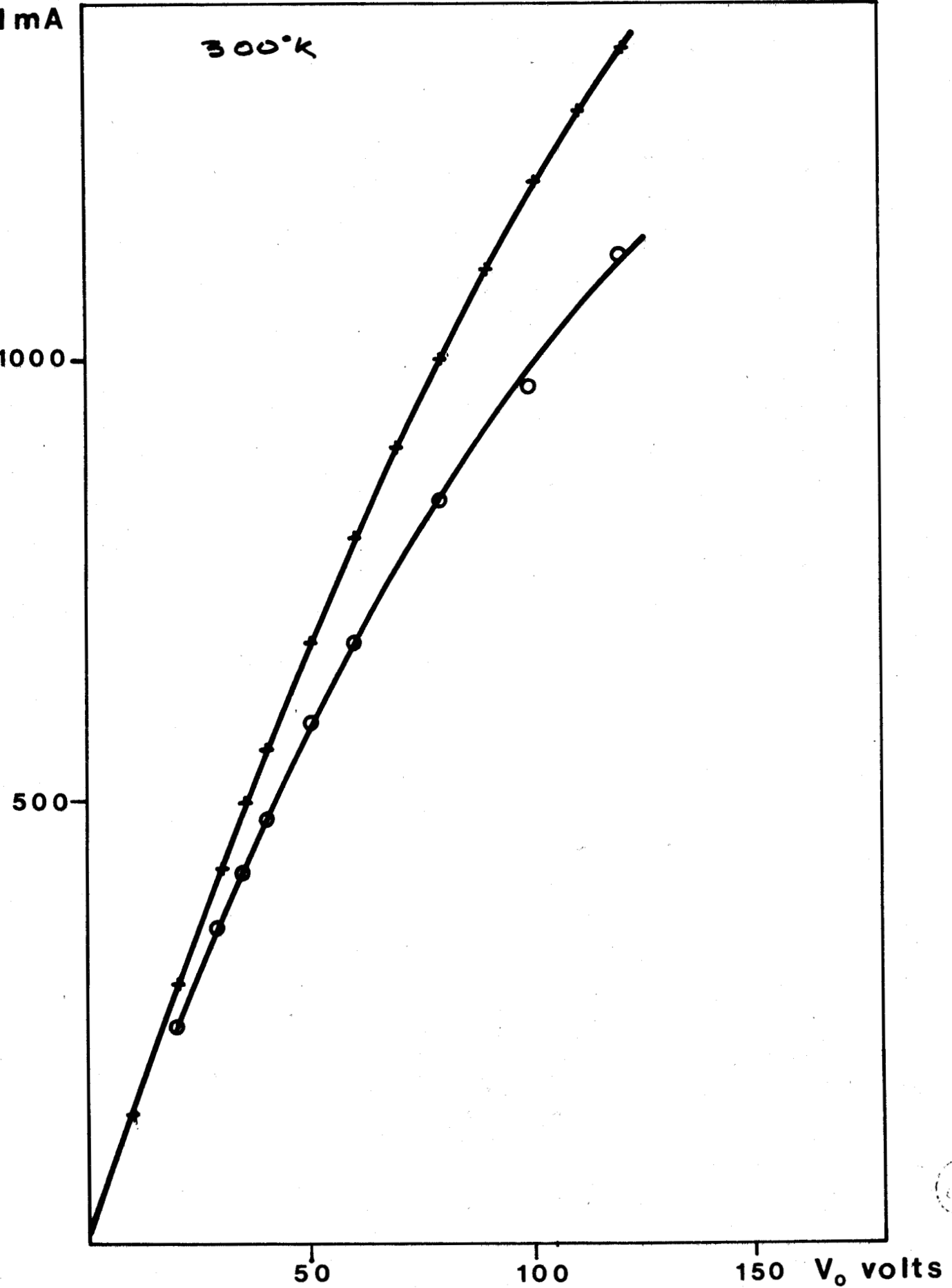


FIG. II<sub>16</sub>

CARACTERISTIQUES COURANT-TENSION DE L'ECHANTILLON TYPE SILISTANCE (350µm)  
+ à faible taux de répétition ( $\tau=40\text{Hz}, \theta = 2\mu\text{s}$ )  
O avec impulsion de mesure de bruit de diffusion ( $f=1\text{KHz}, \theta$  variable)

2) On effectue des mesures de températures de bruit pour une tension appliquée donnée en fonction de la puissance moyenne, cette dernière variant avec la durée des impulsions, la fréquence étant fixée par ailleurs. Il y a échauffement de réseau si la température de bruit varie avec la puissance moyenne appliquée. Nous donnons fig. II<sub>17</sub> les résultats obtenus sur une épitaxie dont le réseau ne s'échauffe pas jusqu'à des puissances moyennes appliquées avoisinant 150 mW.

Pour les résultats donnés ci-dessous nous n'avons guère dépassé 10 à 20 mW de puissance moyenne.

#### II.3.4. Résultats expérimentaux

-----

La température de bruit de diffusion ( $T_{//}(V_0)$ ) d'échantillons de silicium en champ fort a été mesurée, sur des silistances, sur des épitaxies à la température ambiante, et à des températures comprises entre 80°K et 373°K. On a travaillé à des fréquences allant de 8 à 11 GHz.

##### II.3.4.1. Le réseau est maintenu à la température ambiante

Dans la plupart des cas, la fréquence de fonctionnement du radiomètre est 9,7 GHz. Pour les mesures de bruit en impulsion, l'impédance des échantillons n'est en général pas adaptée.

On a le choix entre deux possibilités

- réaliser l'adaptation des impédances des échantillons,
- mesurer leur coefficient de réflexion en puissance en présence de l'impulsion et l'utiliser dans l'expression II<sub>15</sub>.

Ces deux possibilités ont été utilisées sur les épitaxies type planar et Mesa.

Les résultats des fig II<sub>18</sub>, II<sub>19</sub> et II<sub>20</sub> relatifs à l'épitaxie planar montrent qu'il est nécessaire dans ce type de mesure de tenir compte du coefficient de réflexion ou alors de procéder à une

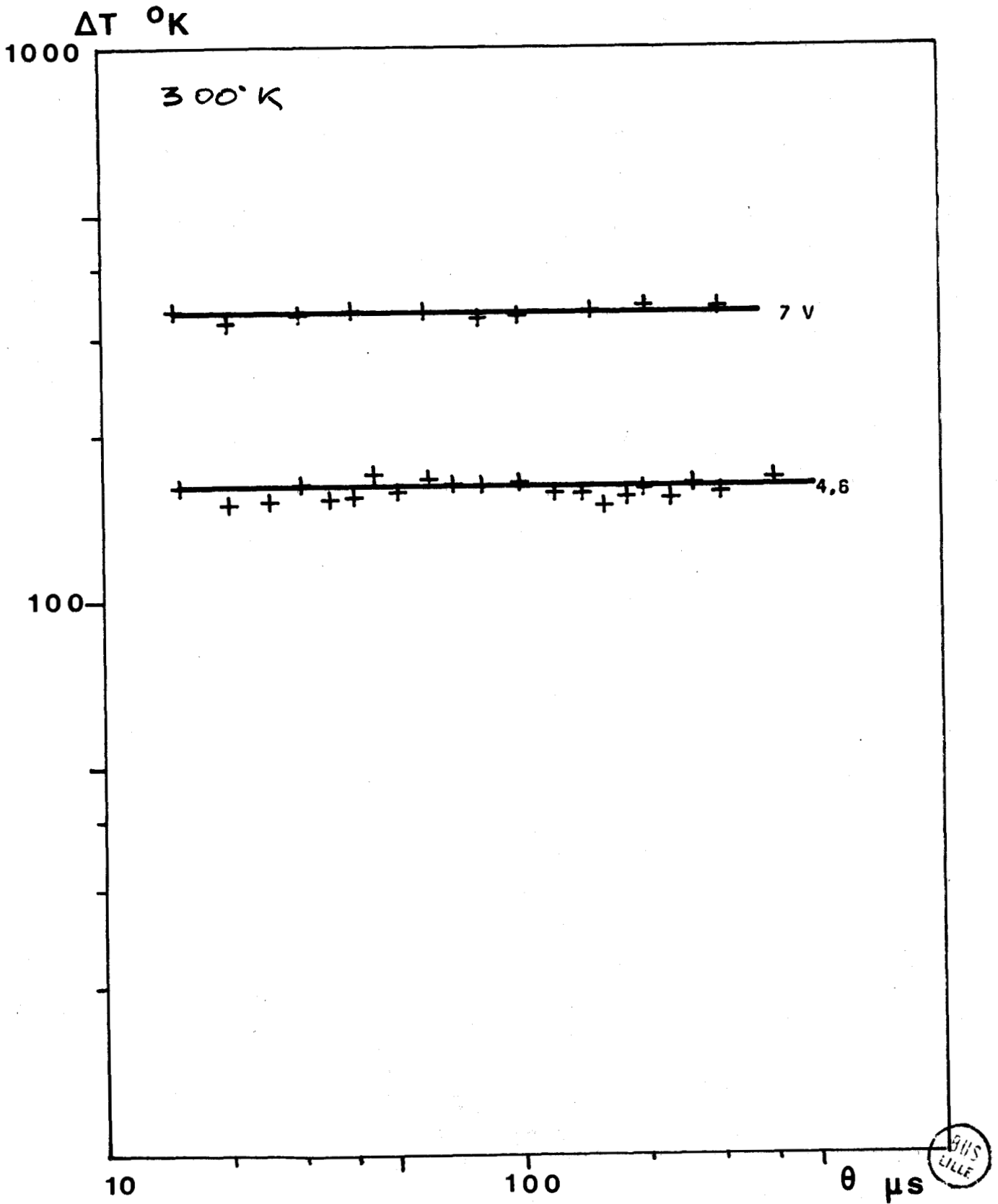


Fig II<sub>17</sub>

TEMPERATURE DE BRUIT FONCTION DE LA DUREE DES IMPULSIONS A FREQUENCE ET AMPLITUDE CONSTANTES  
Epitaxie Planar

$\Delta T$  °K

300°K

1000

100

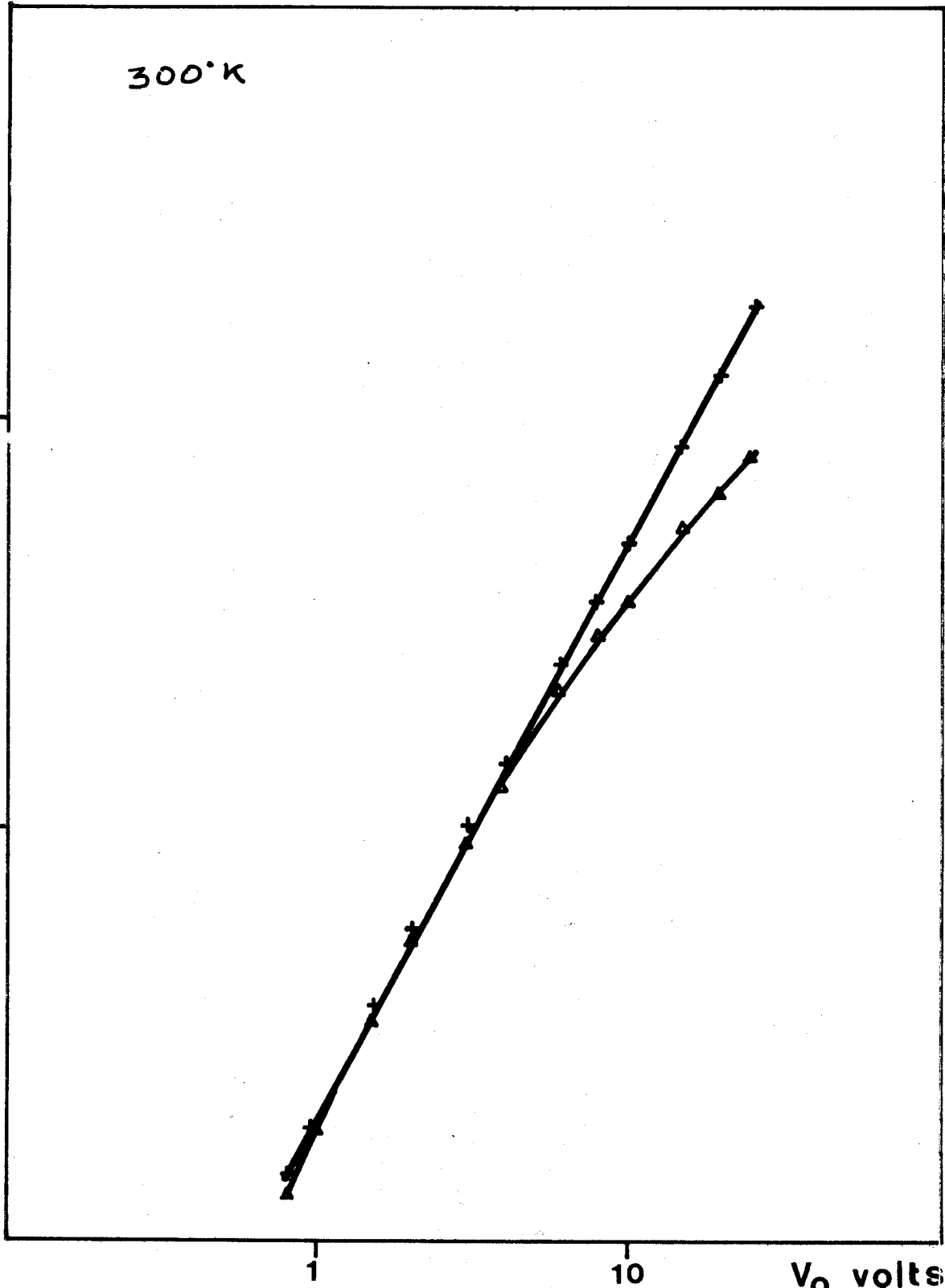


FIG II 18



Δ Température de bruit vue par le récepteur sans adaptation d'impédance et sans correction

+ Correction avec le coefficient de réflexion

Epitaxie planar

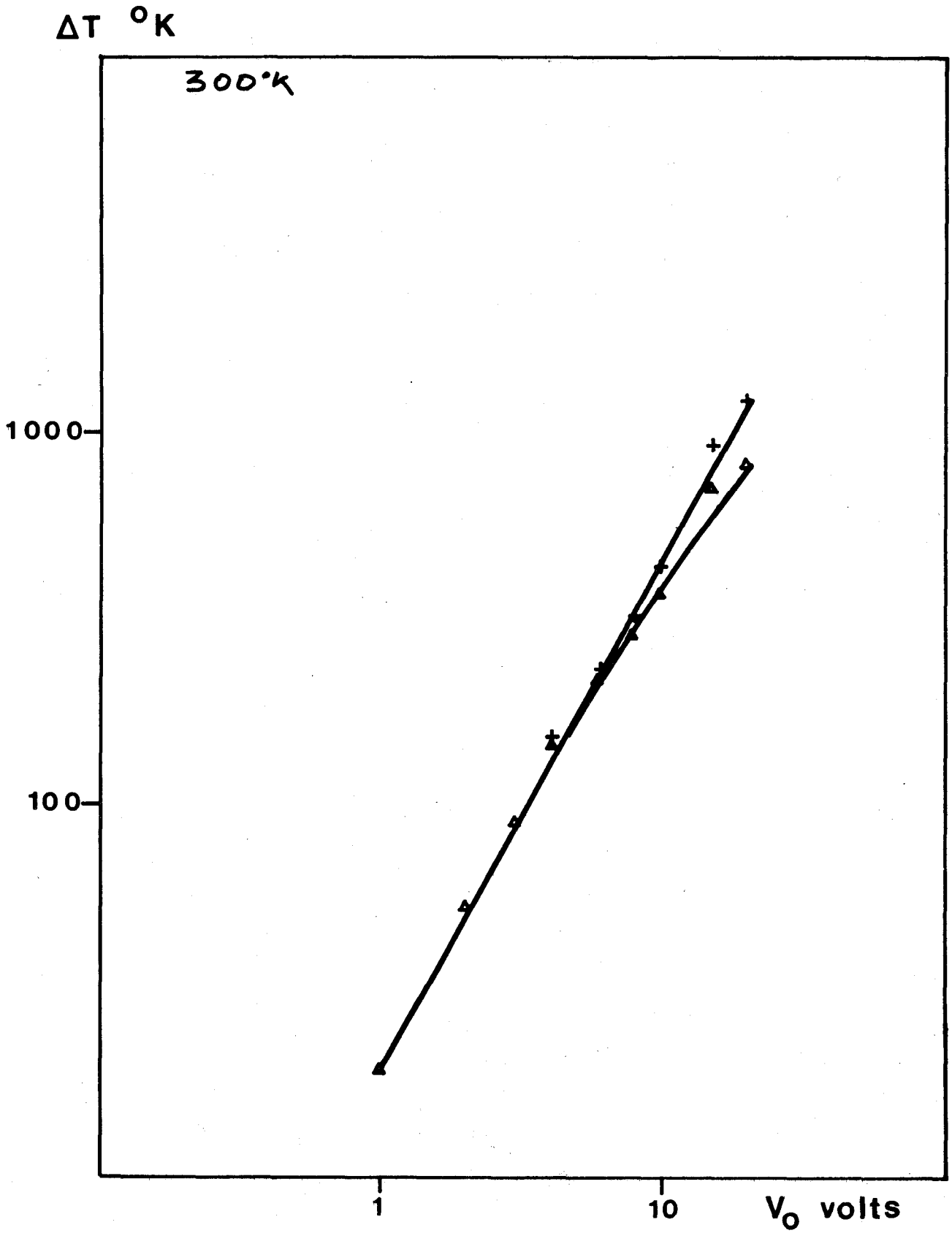


FIG. II<sub>19</sub>



Δ Température de bruit vue par le récepteur sans adaptation d'impédance et sans correction

+ Correction avec le coefficient de réflexion

Epitaxie Planar

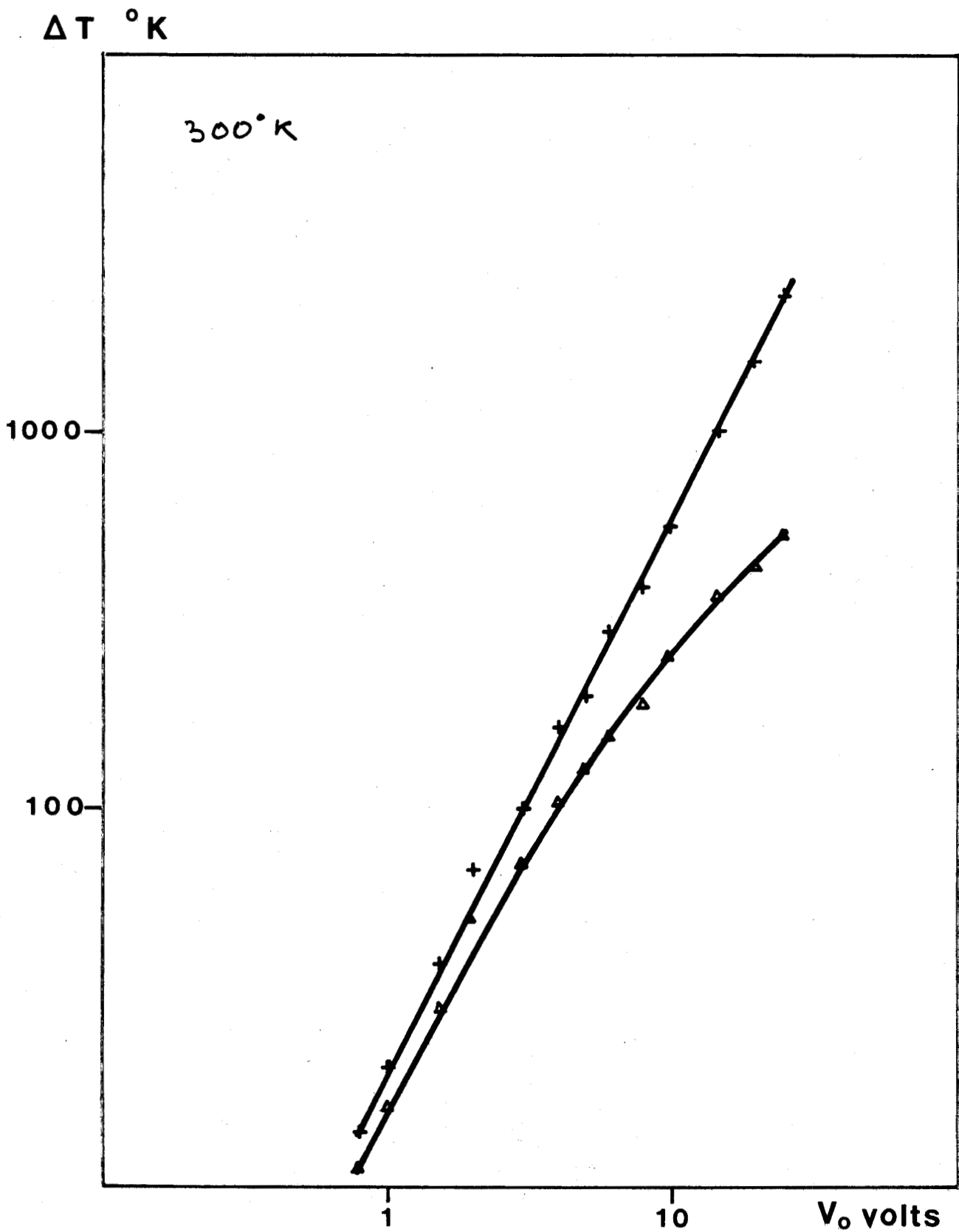


FIG. II<sub>20</sub>



Température de bruit vue par le récepteur sans adaptation d'impédance et sans correction

Correction avec le coefficient de réflexion

Epitaxie planar

adaptation des impédances.

Fig II<sub>21</sub>, nous donnons les résultats obtenus sur les mêmes échantillons en recherchant une puissance de bruit maximale à l'aide d'un adaptateur à double slug. On constate (Fig II<sub>22</sub>) que les deux méthodes donnent des résultats analogues.

La même étude a été faite pour l'épitaxie Mesa : Fig II<sub>23</sub>, II<sub>24</sub> et II<sub>25</sub>.

La fig. II<sub>26</sub> est relative aux silistances 420 A.

Nos résultats et ceux d'autres auteurs [3], [18], [13] sont présentés fig. II<sub>27</sub> (l'abscisse est graduée en champ moyen  $E = V_{O/L}$ ).

On constate que les valeurs trouvées sont du même ordre de grandeur.

Par ailleurs nous avons effectué une étude expérimentale en jouant sur la fréquence de fonctionnement du radiomètre (fig II<sub>28</sub>). On constate que les températures de bruit des épitaxies ne varient sensiblement pas entre 3 et 11GHz pour les tensions atteintes.

#### II.3.4.2. Résultats fonction de la température du réseau

Des études ont été effectuées à 80°K et à 373°K sur les épitaxies (fig. II<sub>29</sub>, Fig II<sub>30</sub> et fig. II<sub>31</sub>).

Nous avons également travaillé en fonction de la température du réseau (fig II<sub>32</sub>). On constate que la température de bruit  $\Delta T_{//}$  augmente lorsque la température du réseau décroît.

Nous comparons nos résultats avec ceux d'autres auteurs (fig II<sub>33</sub>) lorsque le réseau est à 80° K. On note une importante dispersion des résultats.

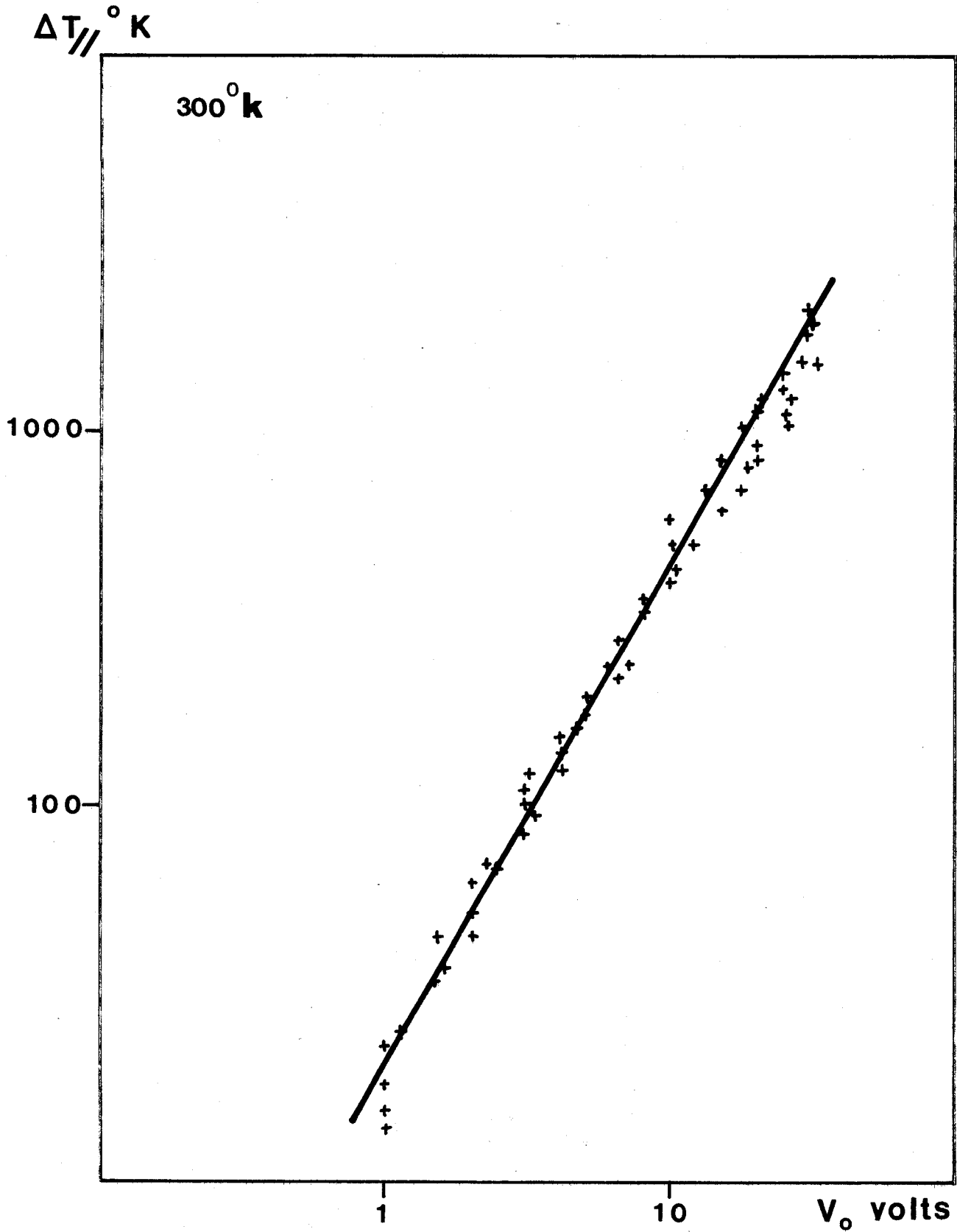


FIG. 21

TEMPERATURE DE BRUIT SUR EPITAXIE PLANAR AVEC ADAPTATEUR A DOUBLE SLID



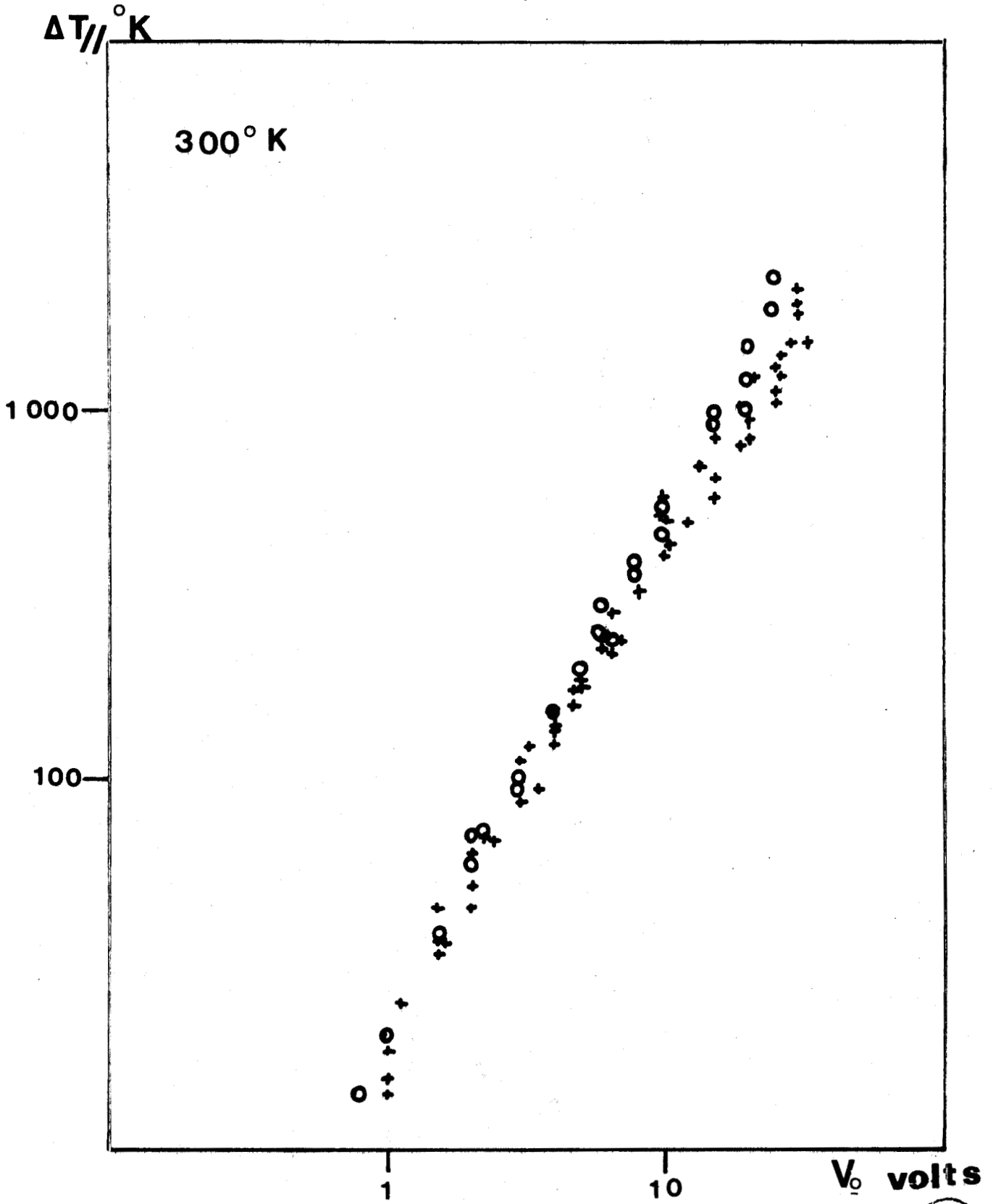


FIG. II  
22



COURBE COMPARATIVE DES RESULTATS AVEC ADAPTATEUR ET MESURE DU COEFFICIENT DE REFLEXION

- + avec adaptateur
- o avec mesure du coefficient de reflexion

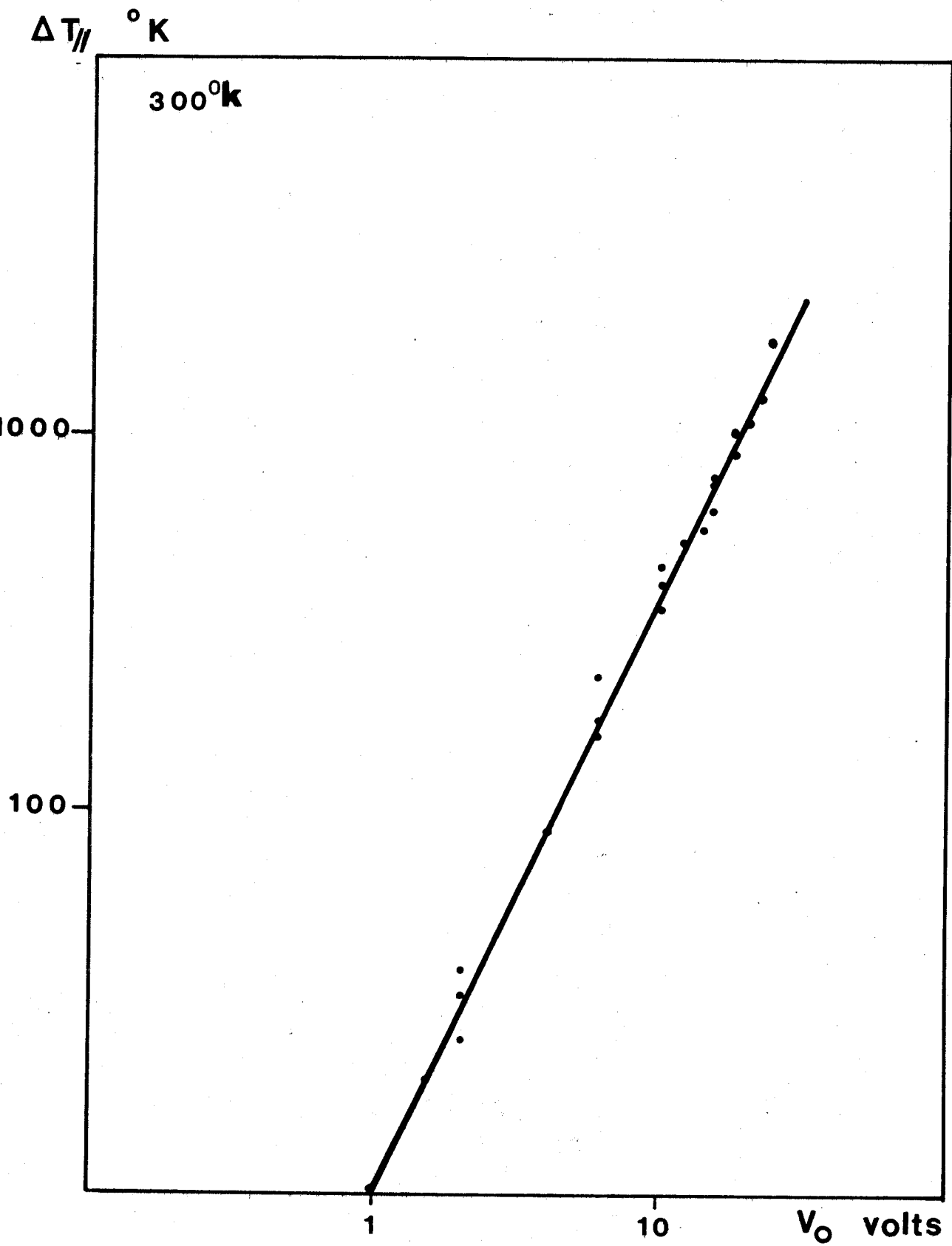


FIG. II<sub>23</sub>

TEMPERATURE DE BRUIT SUR EPITAXIE MESA MESUREE AVEC L'ADAPTATEUR A DOUBLE SLUG



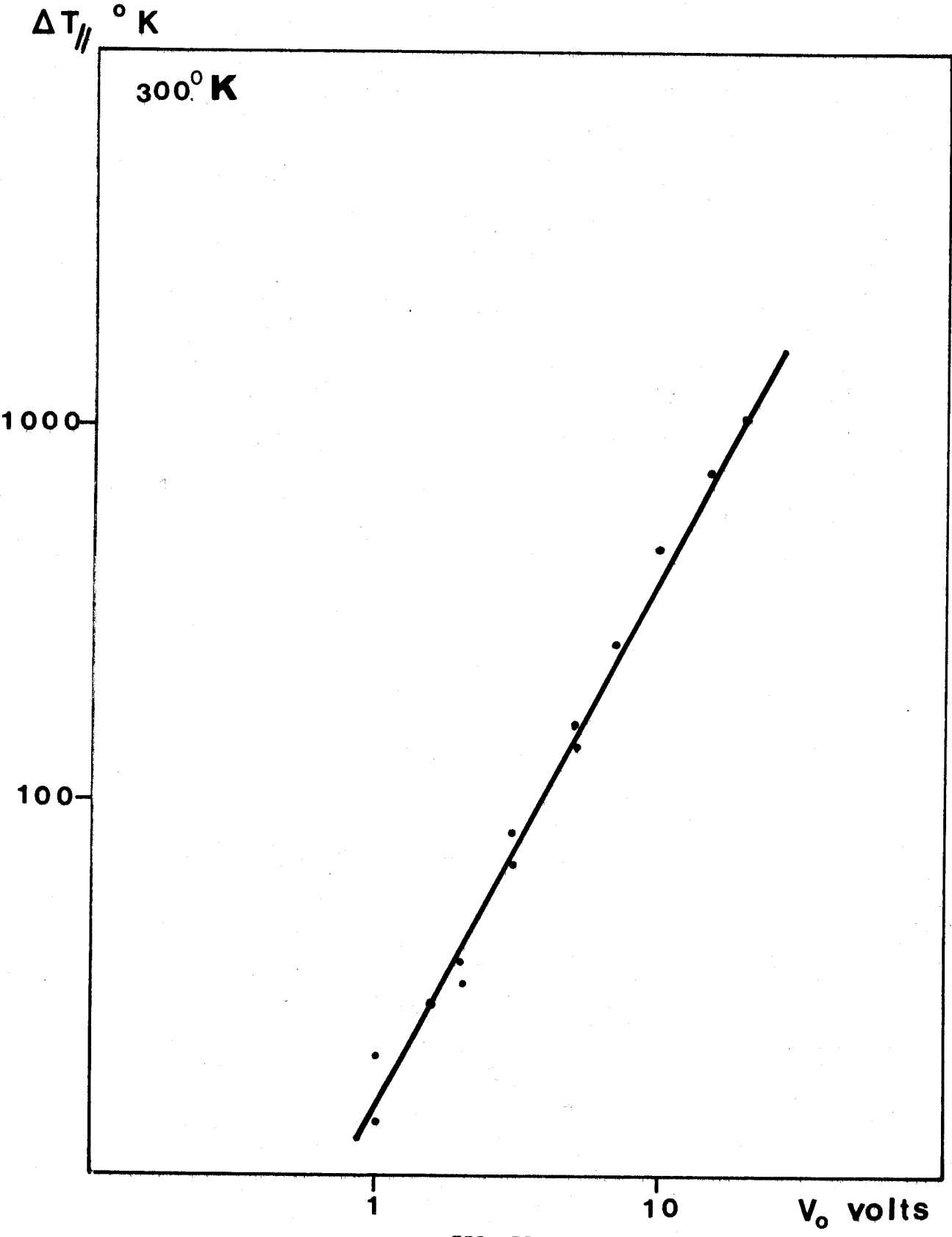


FIG. II<sub>24</sub>

$\Delta T_{//}$  OBTENUES SUR EPITAXIE MESA AVEC MESURE DU COEFFICIENT DE REFLEXION



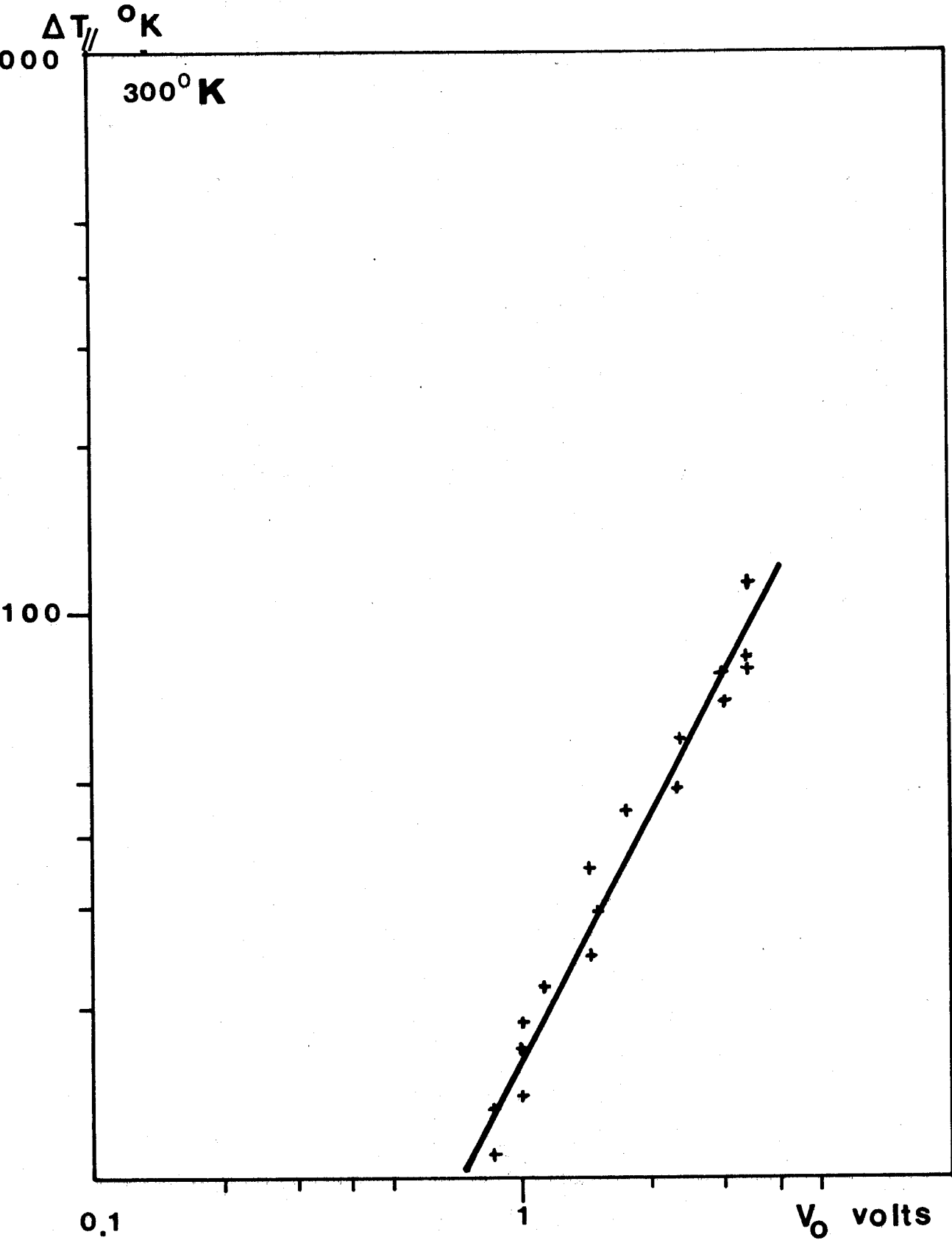


FIG. II<sub>26</sub>

TEMPERATURE DE BRUIT SUR SILISTANCE



$\Delta T$  °K

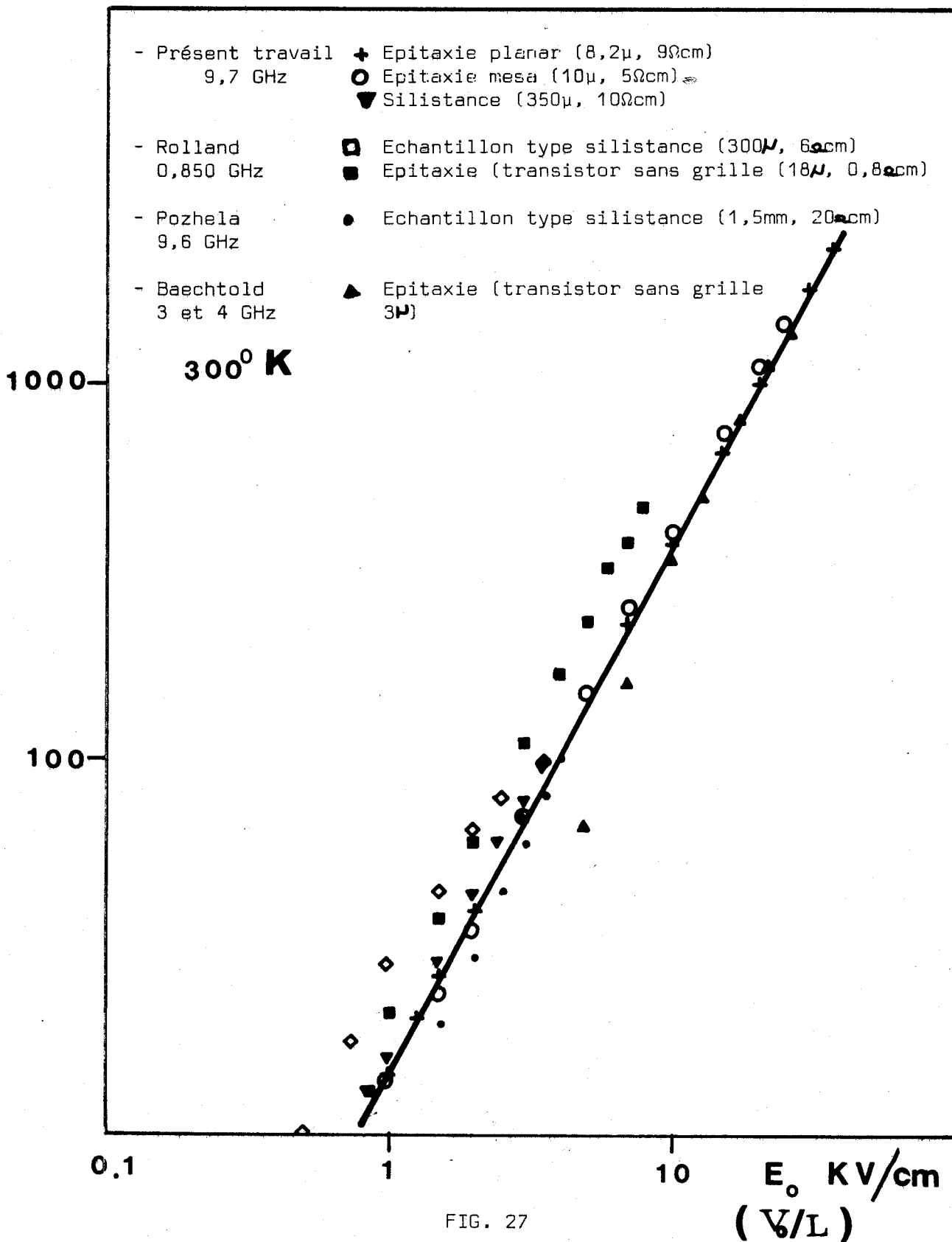


FIG. 27

COURBE COMPARATIVE DES RESULTATS SUR LA TEMPERATURE DE BRUIT LONGITUDINALE DANS LE SiN



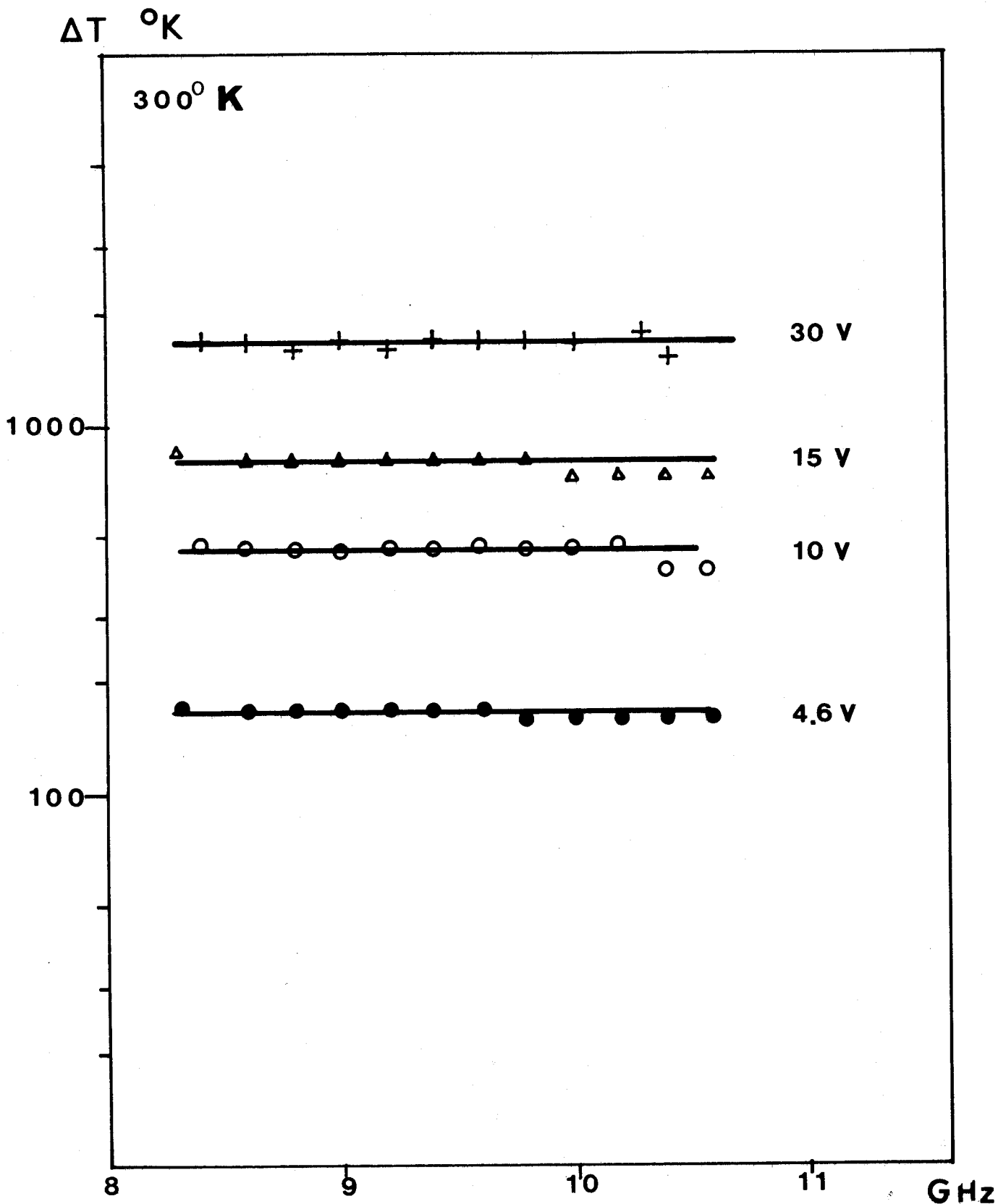


FIG. II<sub>28</sub>

TEMPERATURE DE BRUIT FONCTION DE LA FREQUENCE

(Planar) 

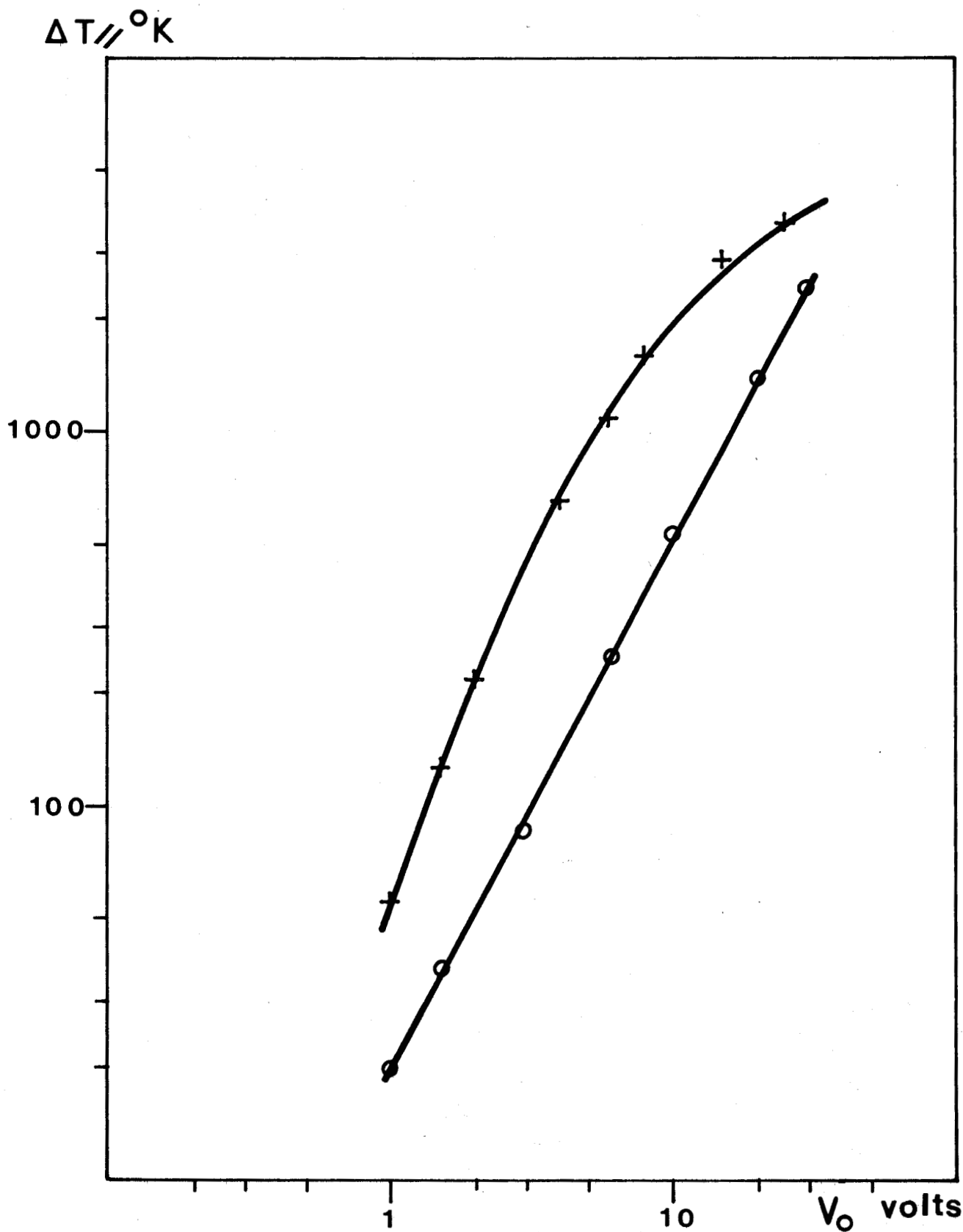


FIG. II<sub>29</sub>

TEMPERATURE DE BRUIT A  $300^\circ$  (○) ET  $80^\circ$  (✦) SUR EPITAXIE PLANAR



$\Delta T_{//} \text{ } ^\circ\text{K}$

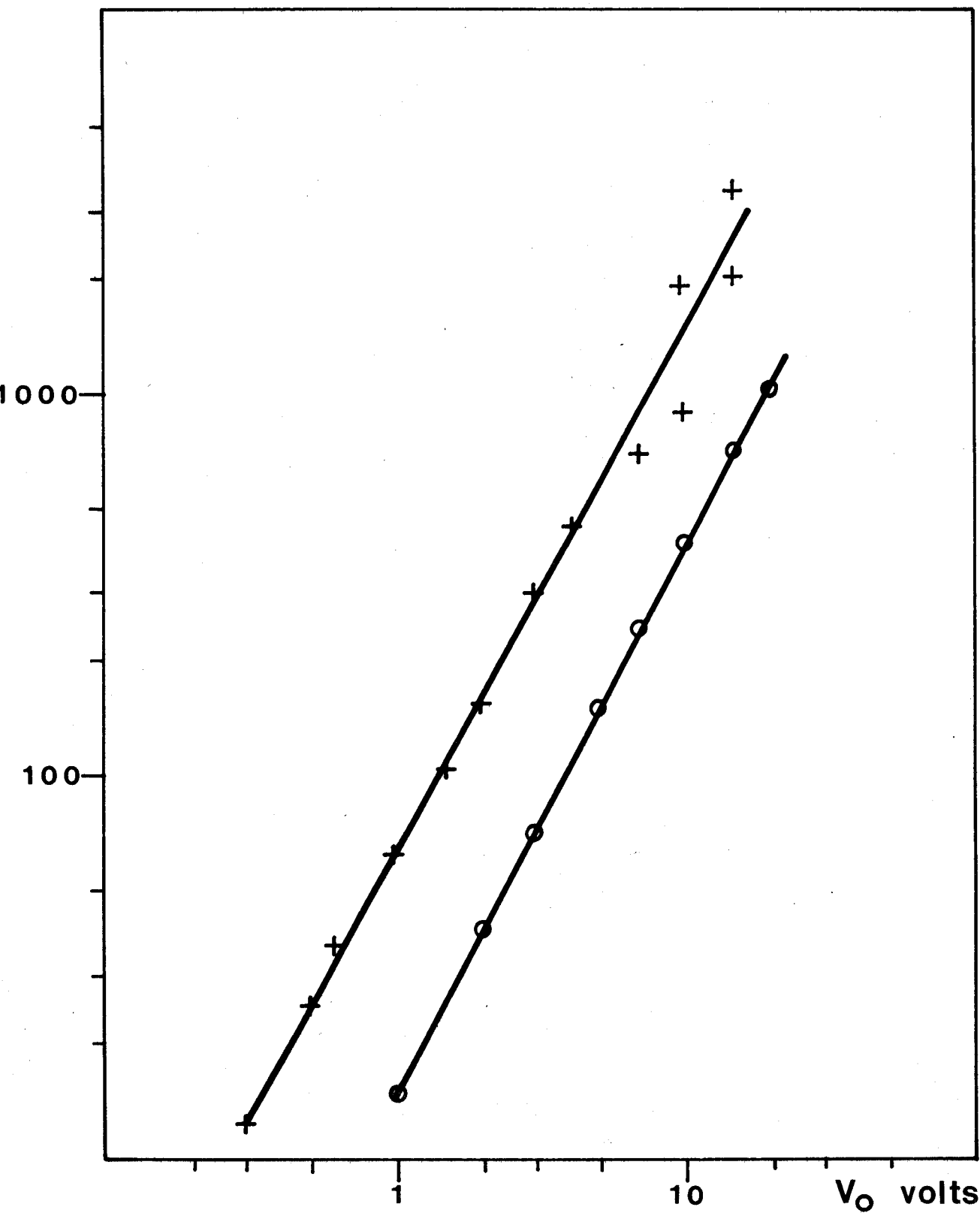


FIG. II<sub>30</sub>



$\Delta T_{//}$  A 80 ET 300°K SUR EPITAXIE MESA

O 300°K

+ 80°K

$\Delta T_{//}$  °K

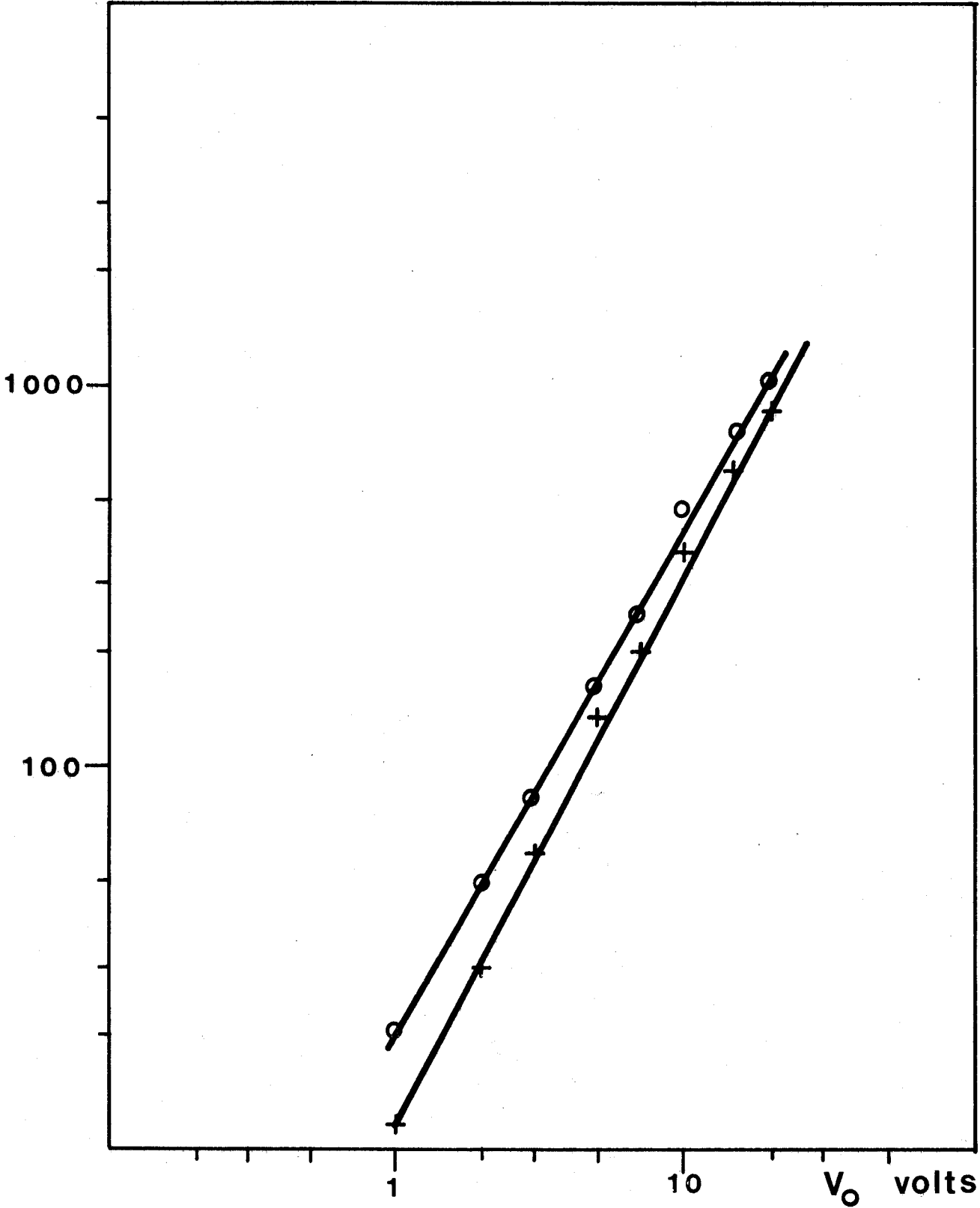


FIG. II<sub>31</sub>

$\Delta T_{//}$  A 300 ET 373°K SUR EPITAXIE MESA

O 300°K  
+ 373°K



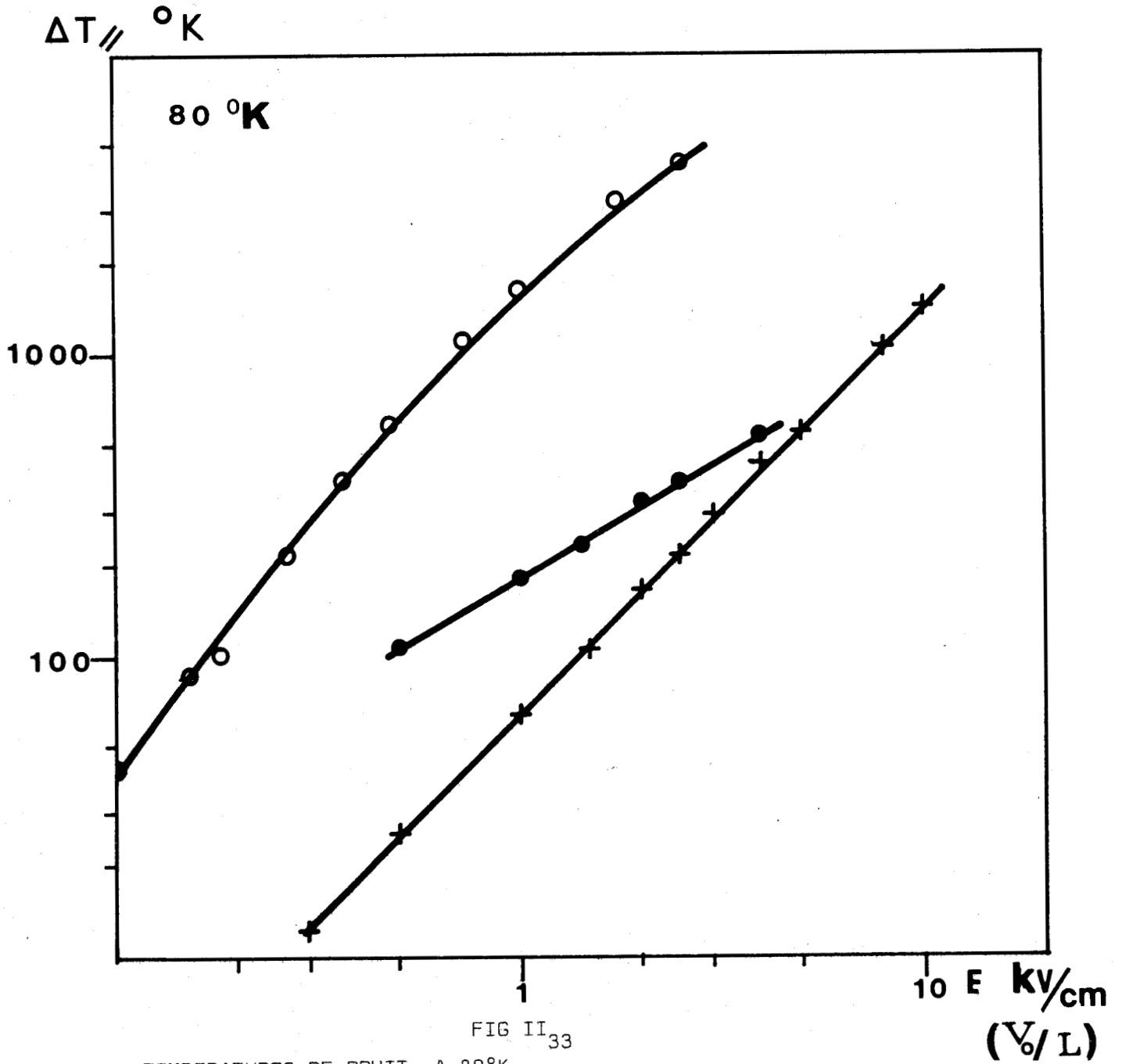


FIG II<sub>33</sub>

TEMPERATURES DE BRUIT A 80°K

- Rolland ( $r_0 = 60\text{cm}$ ,  $L = 300\mu$ ,  $F = 0,85\text{ GHz}$ )
- Pozhela ( $r_0 = 25\text{cm}$ ,  $L = 1,5\text{m}$ ,  $F = 9,6\text{ GHz}$ )
- + Présent travail ( $r_0 = 20\text{cm}$ ,  $L = 10\text{M}$ ,  $F = 9,7\text{ GHz}$ )



$\Delta T_{//}$  °K

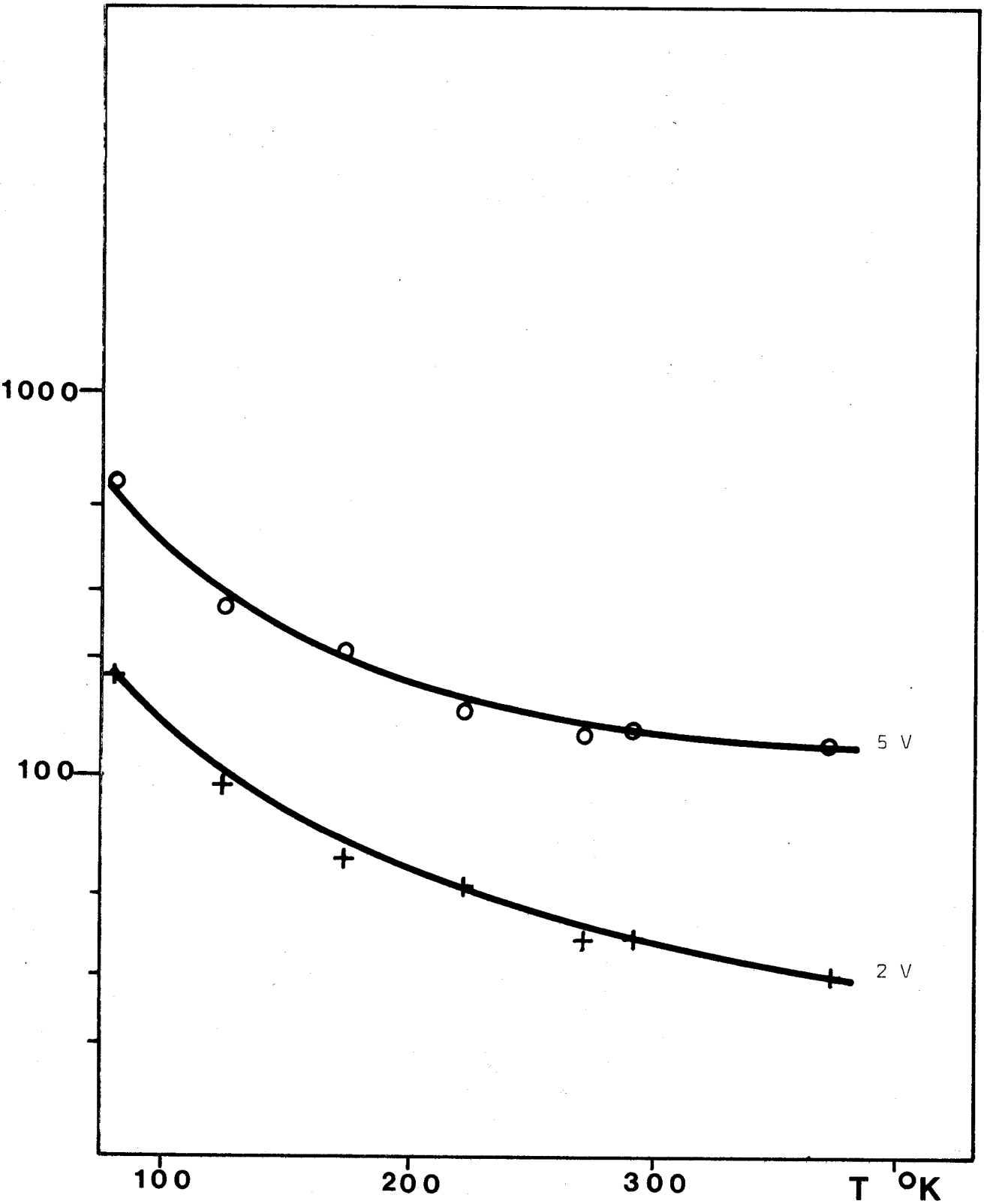


FIG. II<sub>32</sub>

VARIATION DE  $\Delta T_{//}$  AVEC LA TEMPERATURE DE RESEAU

Epitaxie Mesa



## CONCLUSION

Dans ce deuxième chapitre nous avons décrit la technique expérimentale mise au point pour mesurer le bruit de diffusion dans le silicium.

Nous avons insisté sur les nombreux tests de validité réalisés qui portent

- sur le radiomètre lui-même utilisé pour mesurer la température de cellules ayant divers types de structures.

- Sur la mesure de la température de bruit d'échantillons semiconducteurs en régime de porteurs chauds.

Des valeurs de la température de bruit sont obtenues sur le silicium n, pour un champ électrique (direction  $\langle 111 \rangle$ ) d'intensité supérieure à 50 KV/cm. On a opéré à des températures de réseau comprises entre 80 et 373°K. Les fréquences de travail sont situées entre 8 et 11 GHz.

Les résultats obtenus à la température ambiante sont compatibles avec ceux d'autres auteurs.

Il serait intéressant d'effectuer une étude complémentaire à basse température en fonction de la fréquence et de la concentration d'impuretés pour pouvoir réaliser une comparaison plus complète avec les résultats d'autres auteurs.

CHAPITRE III

APPLICATION A LA DETERMINATION

DU COEFFICIENT DE DIFFUSION

Dans ce chapitre, nous utilisons les résultats précédents pour déterminer le coefficient de diffusion longitudinal dans le Silicium N. Après un bref rappel de la méthode du champ d'impédance qui permet de relier la température de bruit de diffusion et le coefficient de diffusion, nous étudions ce dernier paramètre dans deux cas.

- Le champ dans le dispositif est uniforme.
- Le champ varie avec  $x$ .

Pour ce dernier cas, nous décrivons la méthode numérique mise au point, et l'utilisons pour interpréter nos résultats et déterminer une loi de variation du coefficient de diffusion <sup>en</sup> fonction du champ électrique.

III.1. TEMPERATURE EQUIVALENTE DE BRUIT DE DIFFUSION ET CHAMP D'IMPEDANCE

Pour la simplicité des calculs nous nous plaçons dans le cas d'un semiconducteur unidimensionnel, unipolaire dans lequel on néglige les phénomènes de génération et recombinaison.

III.1.1. Fluctuation de tension et champ d'impédance

III.1.1.1. Définition de  $Z_{Lx}$  | 12, 24, 28 |

Soit un barreau de semiconducteur polarisé par une tension  $V_0$ . Plaçons (fig. III<sub>1</sub>) un générateur de courant  $\Delta I$  entre le point d'abscisse  $x$  et la masse.

$\Delta I$  donnera lieu à une variation de tension  $\Delta V$ . On relie les deux grandeurs par la relation

$$\Delta V = Z_{Lx} \Delta I \quad \text{III}_1$$

$Z_{Lx}$  représentant l'impédance de transfert entre  $x$  et  $L$ .

III.1.1.2. Champ d'impédance

Représentons la fluctuation par un générateur de courant  $i$  localisé entre  $x$  et  $x + dx$ ,  $i$  va donner lieu à une variation de tension  $\delta V$ . Il s'agit de calculer  $\delta V$  (fig. III<sub>2</sub>)

Pour nous ramener au cas simple précédent, utilisons le théorème de superposition des états (fig III<sub>3</sub>)

$$\delta v^+ = Z_{Lx} i$$

$$\delta v^- = -Z_{Lx} + dx i = -(Z_{Lx} - \frac{\delta Z_{Lx}}{\delta x} dx) i$$

FIG. III<sub>1</sub>  
Définition de  $Z_{Lx}$

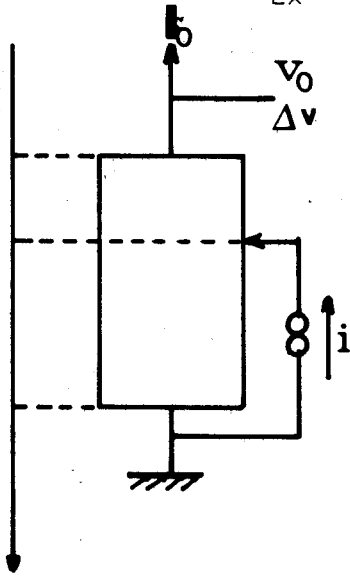


FIG. III<sub>2</sub>  
Définition de  $\nabla Z_{Lx}$

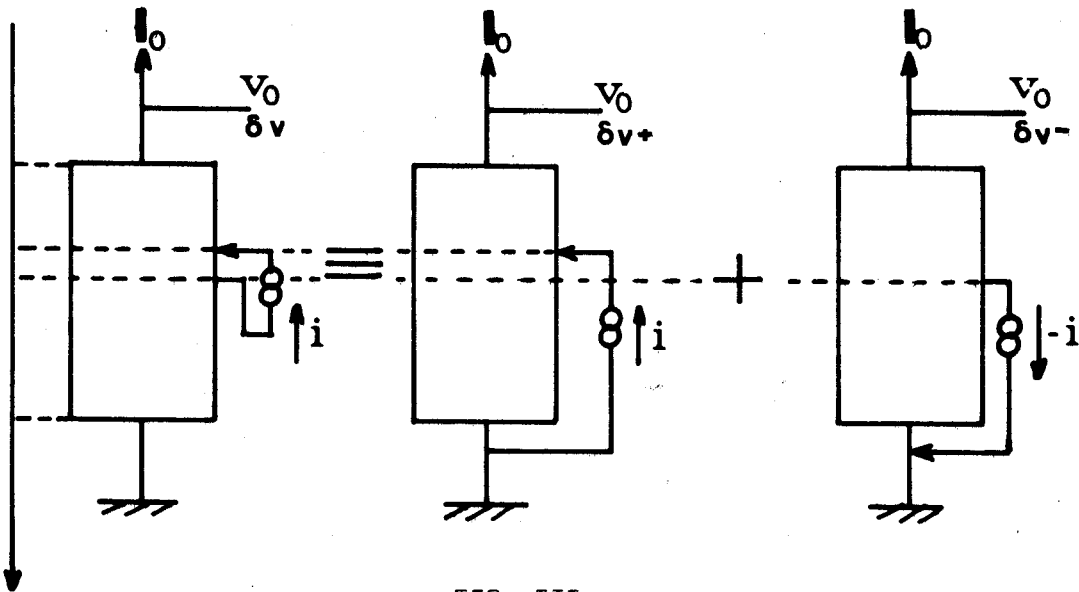
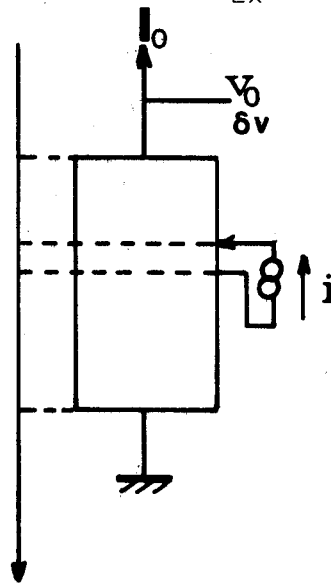


FIG. III<sub>3</sub>

Calcul de  $\delta V$



d'où

$$\delta v = \delta v^+ + \delta v^- = i \frac{\delta Z_{Lx}}{\delta x} dx$$

III<sub>2</sub>

Soit à 3 dimensions

$$\delta v = i \nabla Z(\vec{r}, N) d\vec{r}$$

III<sub>3</sub>

$\nabla Z_{Lx}$  représente le champ d'impédance suivant ox.

Le carré moyen de  $\delta v$  s'écrit

$$\langle \delta v^2 \rangle = \langle i^2 \rangle |\nabla Z_{Lx} dx|^2$$

III<sub>4</sub>

### III.1.2. Tension de bruit de diffusion

$i$  est une grandeur fluctuante dont la nature n'a pas été précisée. Si l'on s'intéresse aux fluctuations des vitesses des porteurs  $i$  peut être définie par l'expression (II<sub>5</sub>)

$$\langle i^2 \rangle = 4q^2 n(x) D_{//}(E) \frac{S}{dx} \Delta F$$

II<sub>5</sub>

On déduit de 34 et 25

$$\langle \Delta v^2 \rangle = 4q^2 S \Delta F \int_0^L n(x) D_{//}(E) |\nabla Z_{Lx}|^2 dx$$

III<sub>5</sub>

qui est le carré moyen de la tension de bruit dans tout le dispositif.

### III.1.3. Température équivalente de bruit de diffusion

Le théorème de Nyquist donne pour les circuits complexes d'impédance  $Z(\omega)$

$$\langle \Delta v^2 \rangle = 4 k_B T_n \text{ Réel } |Z(\omega)| \Delta F$$

III<sub>6</sub>

$T_n$  étant la température équivalente de bruit du circuit.

III<sub>5</sub> et III<sub>6</sub> nous donnent

$$T_n = \frac{q^2 S}{k_B \text{ réel } [Z(\omega)]} \int_0^L n(x) D // (E) |\nabla Z_{Lx}|^2 dx \quad \text{III}_7$$

$$Z(\omega) = \int_0^L \nabla Z_{Lx} dx |12|$$

Le calcul de  $T_n$  suppose donc la connaissance de

- 1)  $\nabla Z_{Lx}$  le champ d'impédance
- 2)  $n(x)$  la densité des porteurs libres du dispositif
- 3) la loi de variation de  $D$  avec le champ électrique.

En d'autres termes si l'on connaît  $T_n, \nabla Z_{Lx}$  et  $n(x)$  il est possible de déduire  $D(E_0)$ .

Dans ce qui suit nous étudions le champ d'impédance, présentons une méthode numérique de résolution de l'équation de transports des charges puis nous abordons la détermination du coefficient de diffusion.

### III.2. CALCUL DU CHAMP D'IMPEDANCE

#### III.2.1. Principe du calcul de $\nabla Z_{Lx}$

En III.1.1.2. nous avons défini le champ d'impédance dans la relation

$$\delta v = i \nabla Z_{Lx} \delta x$$

soit

$$\nabla Z_{Lx} = \frac{\delta v}{i \delta x}$$

Si l'on raisonne en champ électrique, on dira que la fluctuation de tension  $\delta v$  résultant du générateur de courant  $i$  crée un champ électrique  $e(x)$  fluctuant qui vient se superposer à  $E_0(x)$  alors

$$\delta v^+ = \int_x^L e(s) ds$$

$$\delta v^- = - \int_{x+dx}^L e(s) ds$$

on en déduit

$$\delta v = \int_x^L e(s) ds - \int_{x+dx}^L e(s) ds = \int_x^{x+dx} e(s) ds$$

soit

$$\delta v = e(x) \delta x$$

et

$$\nabla Z_{Lx} = \frac{\delta v}{i \delta x} = \frac{e(x)}{i} \quad \text{III}_8$$

On est donc ramené au calcul de  $e(x)$  que l'on peut déduire de l'équation petit signal du dispositif

#### III.2.2. Equation Petit Signal

On suppose que le champ dans le dispositif est de la forme

$$E(x,t) = E_0(x) + e_1(x) \exp(j\omega t)$$

avec  $e_1 \ll E_0$

alors

$$J(x,t) = J_0(x) + J_1 \exp(j\omega t) \text{ densité de courant}$$

$$n(x,t) = n_0(x) + n_1(x) \exp(j\omega t) \text{ densité des porteurs}$$

$$v(x,t) = v_0(x) + v_1(x) \exp(j\omega t) \text{ vitesse des porteurs}$$

J le courant total est la somme des courants de conduction, de diffusion, <sup>et</sup> de déplacement

$$J = q n v + q D \frac{\partial n}{\partial x} + \epsilon \frac{\partial E}{\partial x} \quad \text{III}_9$$

soit en remplaçant les termes par leurs valeurs et regroupant les termes continus et les termes alternatifs

$$J_0 = q n_0 v_0 + q D \frac{\partial n_0}{\partial x}$$

$$J_1 = (q n_0 v_1 + n_1 v_0) + q D \frac{\partial n_1}{\partial x} = j \omega \epsilon e_1$$

Par ailleurs avec

$$\frac{dE}{dx} = \frac{\rho_0}{\epsilon} = - \frac{nq}{\epsilon}$$

on déduit l'équation petit signal

$$J_1 = \epsilon D \frac{\partial^2 e_1}{\partial x^2} + \epsilon v(E_0) \frac{\partial e_1}{\partial x} + (\sigma_d(E_0) + j \omega \epsilon) e_1(x) \quad \text{III}_{10}$$

avec

$$\sigma_d(E_0) = nq \mu_d(E_0)$$

et

$$\mu_d = \frac{dv_0(E_0)}{dE_0} \quad \begin{array}{l} \text{mobilité} \\ \text{différentielle} \end{array}$$

Pour connaître  $e_1(x)$  il suffirait de résoudre cette équation différentielle dont les coefficients sont fonction de  $E_0$ .

. Si  $E_0$  ne dépend pas de  $x$  (champ uniforme) ces coefficients sont des constantes et l'on peut résoudre analytiquement  $\text{III}_{10}$

. Si  $E_0$  est fonction de  $x$  (champ non uniforme)  $e_1(x)$  ne peut être calculé analytiquement ; il faut rechercher une solution numérique.

Dans ce qui suit nous distinguons ces deux cas.

III.2.3. Cas des champs uniformes

---

C'est le cas des dispositifs homogènes caractérisés par le profil de dopage  $N_D(x) = \text{constant}$  à tout champ,  $N_D$  étant le nombre des atomes donneurs.

La solution générale de III<sub>10</sub> est

$$e_1(x) = \lambda e^{\gamma x} + \frac{J_1}{\sigma_d + j\omega\epsilon}$$

où

$$\gamma = \frac{v(E_0)}{2D(E_0)} - \frac{v(E_0)}{2D(E_0)} \sqrt{1 + \frac{4D(E_0)}{v(E_0)}} \quad (\alpha + j\beta)$$

avec

$$\alpha = \frac{\sigma_d(E_0)}{\epsilon v(E_0)}, \quad \beta = \frac{\omega}{v(E_0)}$$

La constante  $\lambda$  se détermine avec les conditions aux limites. On introduit à ce niveau une conductivité  $\sigma_i$  [27] d'injection définie comme suit

$$J_1 = (\sigma_i + j\omega\epsilon) e(0)$$

On en déduit  $\lambda$  et donc

$$e_1(x) = \frac{J_1}{\sigma_d + j\omega\epsilon} |1 + I^* e^{\gamma x}|$$

avec  $I^* = \frac{\sigma_d - \sigma_i}{\sigma_i + j\omega\epsilon}$  caractérisant l'injection.

En posant dans notre cas  $i = AJ_1$ , on déduit III<sub>8</sub> et III<sub>11</sub>

$$vZ_{Lx} = \frac{1}{S(\sigma_d + j\omega\epsilon)} |1 + I^* e^{\gamma x}|$$

$$Z(\omega) = \int_0^L vZ_{Lx} dx = \frac{1}{S(\sigma_d + j\omega\epsilon)} \left[ L + I^* \frac{e^{\gamma x} - 1}{\gamma} \right]$$

Si  $I^* = 0$  soit  $\sigma_i = \sigma_d$

On a

$$vZ_{Lx} = \frac{1}{S(\sigma_d + j\omega\epsilon)}$$

$$Z(\omega) = \frac{L}{S(\sigma_d + j\omega\epsilon)}$$

ce qui donne pour la température de bruit

$$T_n = \frac{Sq^2 N_D D(E_0)}{k_B \text{réel} |Z(\omega)|} \int_0^L |\nabla Z x|^2 dx$$

$$= \frac{q^2 N_D D(E_0)}{K_B \sigma_d} \text{ ou, avec } \mu_d = \frac{\sigma_d}{N_D q},$$

$\frac{D(E_0)}{\mu_d(E_0)} = \frac{k T(E_0)}{q}$
--

Cette relation désignée dans la littérature sous le nom de relation d'Einstein modifiée est celle utilisée par Nougier [2], puis Rolland [3] pour déterminer le coefficient de diffusion dans des échantillons de volume. Elle a l'avantage d'être particulièrement simple.

#### III.2.4. Cas des champs non uniformes

---

C'est le cas d'échantillons présentant des inhomogénéités dans la densité des porteurs libres ; c'est en particulier le cas en présence d'une injection de porteurs. Dans ces conditions les coefficients de III<sub>10</sub> dépendent de x, de sorte que l'équation différentielle n'est plus soluble analytiquement.

Nous avons mis au point une technique de calcul dont nous donnons ci-dessous le principe.

##### III.2.4.1. Principe de calcul

L'échantillon est divisé en N tranches de largeur Δx ; on admet que dans chaque tranche la densité des porteurs et le champ électrique sont uniformes. On résoud alors pour les différentes tranches l'équation différentielle III<sub>10</sub> avec les conditions aux limites voulues. Le bruit dans tout le dispositif est calculé en supposant les différentes sources décorréelées, ce qui est justifié si Δx est très grande devant le libre parcours moyen des porteurs [12].

III.2.4.2. Méthode de calcul

L'équation III<sub>10</sub> devient dans la tranche k

$$J_1 = -\epsilon D(E_{ok}) \frac{d^2 e_k(z)}{dz^2} + \epsilon v(E_{ok}) \frac{de_k(z)}{dz} + (\sigma_d(E_{ok}) + j\omega\epsilon) e_k(z) \quad \text{III}_{13}$$

Pour la commodité des écritures on prend

$$D(E_{ok}) = D_k, \quad \sigma_d(E_{ok}) = \sigma_{dk}, \quad v(E_{ok}) = v_k$$

Remarquons par ailleurs que nous avons défini pour la tranche k un nouveau système de coordonnées  $(E_o, z)$  avec z variant de 0 à  $\Delta x$

En réalité nous commençons par résoudre cette équation différentielle dans la première tranche dont nous connaissons bien les conditions aux limites.

On passe alors aux tranches suivantes et on déduit une relation de récurrence sur  $e_k$ .

Pour la tranche 0 donc

$$J_1 = -\epsilon D_0 \frac{\partial^2 e_0(z)}{\partial z^2} + \epsilon v_0 \frac{\partial e_0(z)}{\partial z} + (\sigma_{d0} + j\omega\epsilon) e_0(z)$$

on en déduit :

$$e_0(z) = \lambda_0 e^{\tau_0 z} + \frac{J_1}{\sigma_{d0} + j\omega\epsilon} \quad \text{avec} \quad \tau_0 = \frac{v_0}{2D_0} - \frac{v_0}{2D_0} \sqrt{1 + \frac{4D_0}{\epsilon v_0^2} (\sigma_{d0} + j\omega\epsilon)}$$

$$e_0(0) = \frac{J_1}{\sigma_{d0} + j\omega\epsilon} \quad \text{où} \quad \tau_0 \text{ définie en III}_{231}$$

$$\text{soit donc} \quad \lambda_0 + \frac{J_1}{\sigma_{d0} + j\omega\epsilon} = \frac{J_1}{\sigma_{d0} + j\omega\epsilon}$$

et

$$\lambda'_0 = \frac{\lambda_0}{J_1} = \frac{\sigma_{d0} - \sigma_{d0}}{(\sigma_{d0} + j\omega\epsilon)(\sigma_{d0} + j\omega\epsilon)}$$

$$e_0(z) = \lambda'_0 \left( e^{\tau_0 z} + \frac{1}{\sigma_{d0} + j\omega\epsilon} \right)$$

En résolvant l'équation différentielle pour la branche 1, on trouve

$$e_1(z) = \lambda_1 e^{\tau_1 z} + \frac{J_1}{\sigma_{d1} + j\omega\epsilon}$$

A la frontière des branches 0 et 1, le champ  $e(z)$  doit être le même

$$e_1(0) = e_0(\Delta x)$$

$$\text{soit } \lambda_1 + \frac{J_1}{\sigma_{d1} + j\omega\epsilon} = J_1 \left( \lambda'_0 e^{\tau_0 \Delta x} + \frac{1}{\sigma_{d0} + j\omega\epsilon} \right)$$

$$\text{et } \lambda'_1 = \lambda'_0 e^{\tau_0 \Delta x} + \frac{\sigma_{d1} - \sigma_{d0}}{(\sigma_{d1} + j\omega\epsilon)(\sigma_{d0} + j\omega\epsilon)}$$

$$e_1(z) = J_1 \left( \lambda'_1 e^{\tau_1 z} + \frac{1}{\sigma_{d1} + j\omega\epsilon} \right)$$

pour la branche 2

$$e_2(z) = \lambda_2 e^{\tau_2 z} + \frac{J_2}{\sigma_{d2} + j\omega\epsilon}$$

$$e_2(0) = e_1(\Delta x) \quad \text{donc}$$

$$\lambda'_2 = \lambda'_1 e^{\tau_1 \Delta x} + \frac{\sigma_{d2} - \sigma_{d1}}{(\sigma_{d2} + j\omega\epsilon)(\sigma_{d1} + j\omega\epsilon)}$$

on tire de ces expressions les relations de récurrence

$$e_k(z) = J_k \left[ \lambda'_k e^{\tau_k z} + \frac{1}{\sigma_{dk} + j\omega\epsilon} \right]$$

avec

$$\lambda'_k = \lambda'_{k-1} e^{\tau_{k-1} \Delta x} + \frac{\sigma_{dk} - \sigma_{d(k-1)}}{(\sigma_{dk} + j\omega\epsilon)(\sigma_{d(k-1)} + j\omega\epsilon)}$$

$\Delta x$  est la largeur des branches.

On peut nettement simplifier ce problème en tenant compte des réalités physiques

• le champ dans la première tranche reste en général suffisamment faible pour qu'on puisse se ramener au cas particulier étudié en III.2.3.2. A savoir  $\sigma_i = \sigma_d$

dans cette hypothèse  $\lambda_0 = 0$

Par ailleurs  $\sigma_{dk}$  et  $\sigma_{dk-1}$  sont déterminées à la frontière commune aux deux tranches k et k-1 ; le champ  $E_0$  n'y ayant pas de discontinuité on doit avoir  $E_{ok} = E_{ok-1}$  et donc  $\sigma_{dk} = \sigma_{dk-1}$

Il en résulte  $\lambda_0 = \lambda_1 = \lambda_k = 0$

ce qui donne cette expression simple de  $e_k(z)$

$$e_k(z) = \frac{J_1}{\sigma_{dk} + j\omega\epsilon}$$

III<sub>16</sub>

### III.2.4.3. Calcul de $T_{nk}$

Nous inspirant de III<sub>13</sub>, nous calculons la température équivalente de bruit de la tranche k

$$T_{nk} = \frac{q^2 S}{k_B \text{ Réel} |Z_k|} \int_0^{\Delta x} n_k D_k |vZ_k|^2 dz$$

$\Delta x$  étant suffisamment petite pour avoir  $n_k, D_k$  constants,

$$T_{nk} = \frac{q^2 S n_k D_k}{k_B \text{ Réel} |Z_k|} \int_0^{\Delta x} |vZ_k|^2 dz$$

on est ramené au calcul de  $vZ_k$

$$vZ_k = \frac{e_k(z)}{S J_1} = \frac{1}{S(\sigma_{dk} + j\omega\epsilon)}$$

d'après III<sub>16</sub>

Il en résulte

$$T_{nk} = \frac{q^2 S n_k D_k}{k_B \text{ Réel} |Z_k|} \frac{\Delta x}{S^2 (\sigma_{dk}^2 + \omega^2 \epsilon^2)}$$

$$Z_k = \int_0^{\Delta x} vZ_k dz = \frac{\Delta x}{S(\sigma_{dk} + j\omega\epsilon)}$$

d'où

$$R_k = \text{Réel} [z_k] = \frac{\Delta x \sigma_{dk}}{S(\sigma_{dk}^2 + \omega^2 \epsilon^2)}$$

$$X_k = \text{Ima}[z_k] = - \frac{\Delta x \omega \epsilon}{S(\sigma_{dk}^2 + \omega^2 \epsilon^2)}$$

d'où

$$T_{nk} = \frac{qD_k}{k_B \mu_{dk}}$$

avec  $\mu_{dk} = \frac{\sigma_{dk}}{n_k q}$

Pour l'ensemble de l'échantillon

$$T_n = \frac{\sum_k T_{nk}}{\sum_k R_k}$$

les différentes sources k étant décorrélées

Ce résultat peut s'obtenir plus simplement, en remarquant que, le champ étant uniforme dans les différentes tranches, on peut appliquer à chaque tranche la relation d'Einstein modifiée établie en III.2.3.2. Avec l'hypothèse des sources décorrélées on aboutit à la même expression de  $T_n$ .

Tous ces calculs, comme on a pu s'en rendre compte, supposent connus  $n_k$ ,  $E_{ok}$ ,  $D(E_{ok})$  et  $\mu_d(E_{ok})$ .

Dans la suite de l'exposé nous décrivons la technique de calcul des cartes de densité des porteurs libres et de champ dans les dispositifs étudiés. En dernier lieu nous donnons une méthode de détermination de  $D(E_o)$  à partir de  $T_n(E_o)$ .

III.3. RESOLUTION DE L'EQUATION DE TRANSPORT DES CHARGES DANS UN  
ECHANTILLON DE SILICIUM N<sup>+</sup>NN<sup>+</sup>  
DETERMINATION DES CARTES DE CHAMP ET DE DENSITE DE PORTEURS  
LIBRES

Les résultats que nous donnons ici ont été obtenus [25] en résolvant de façon numérique l'équation de transport des charges (III<sub>9</sub>) En la combinant avec l'équation de Poisson

$$\frac{\partial E}{\partial x} = \frac{q}{\epsilon} (n - N_D)$$

on obtient

$$J = qv(E) \left[ N_D + \frac{\epsilon}{q} \frac{\partial E}{\partial x} \right] - qD_{//} E \left[ \frac{dN_D}{dx} + \frac{\epsilon}{q} \frac{\partial^2 E}{\partial x^2} \right] + \epsilon \frac{\partial E}{\partial t} \quad \text{III}_{19}$$

où les différents termes sont définis comme<sup>en</sup> III<sub>22</sub>

Pour résoudre cette équation on se donne un profil de dopage  $[N_D(x)]$ , fig. III<sub>4</sub>, des lois de variation de la vitesse  $v(E)$  et du coefficient de diffusion  $D_{//}(E)$  avec le champ électrique ainsi que le courant qui traverse le dispositif.

On exprime les dérivées sous formes de différentielles finies

$$\frac{\partial E}{\partial x} = \frac{E_{x+\Delta x}^t - E_x^t}{\Delta x}$$

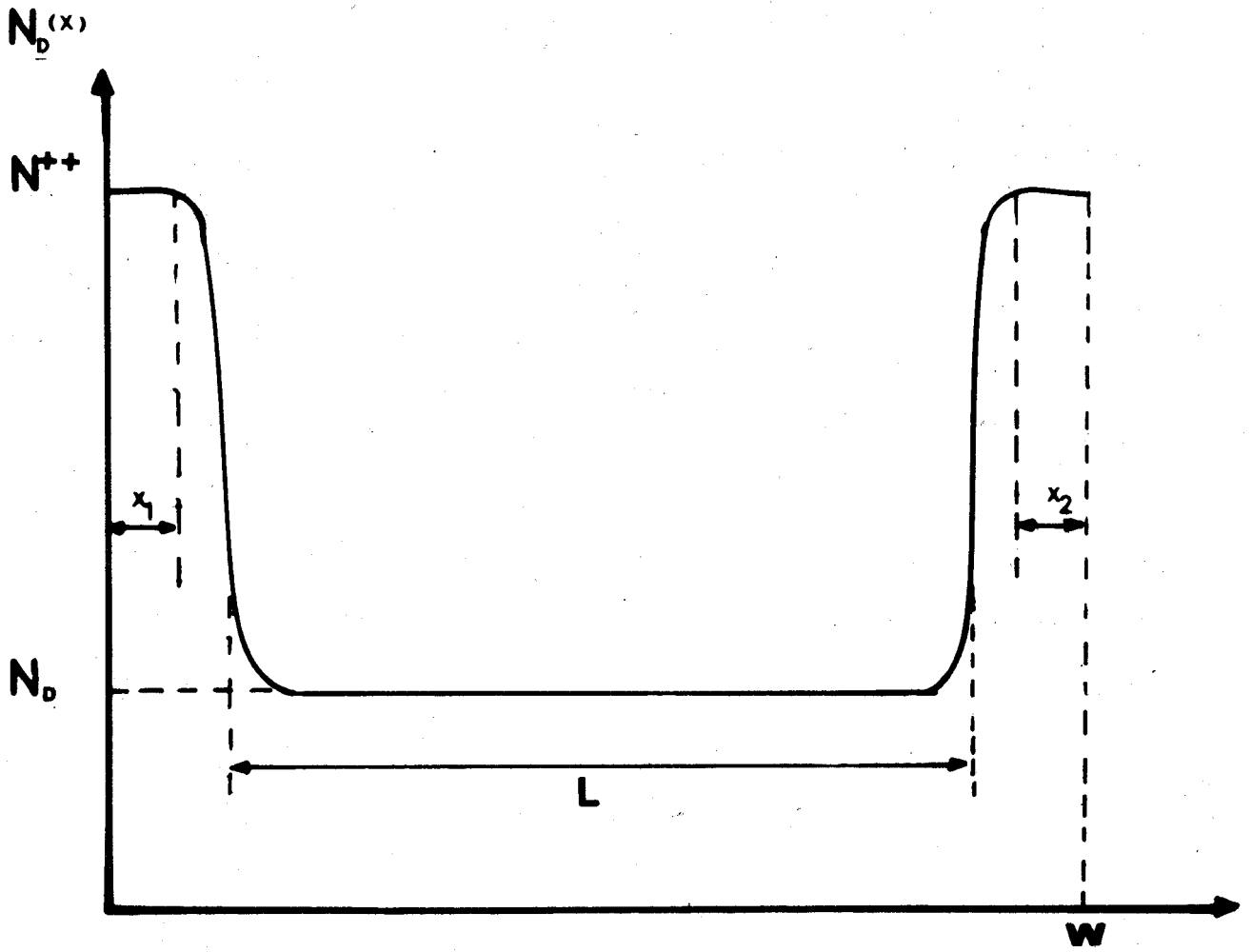
$$\frac{\partial^2 E}{\partial x^2} = \frac{E_{x+\Delta x}^t + E_{x-\Delta x}^t - 2E_x^t}{\Delta x^2}$$

$$\frac{\partial E}{\partial t} = \frac{E_x^t - E_x^{t-\Delta t}}{\Delta t}$$

$$\frac{dN_D}{dx} = \frac{N_D(x) - N_D(x-\Delta x)}{\Delta x}$$

où  $\Delta x$  est le pas sur l'espace

$\Delta t$  le pas sur le temps



**L** longueur de la zone active

**w** longueur de l'épitaxie

FIG. III 4

PROFIL DE DOPAGE



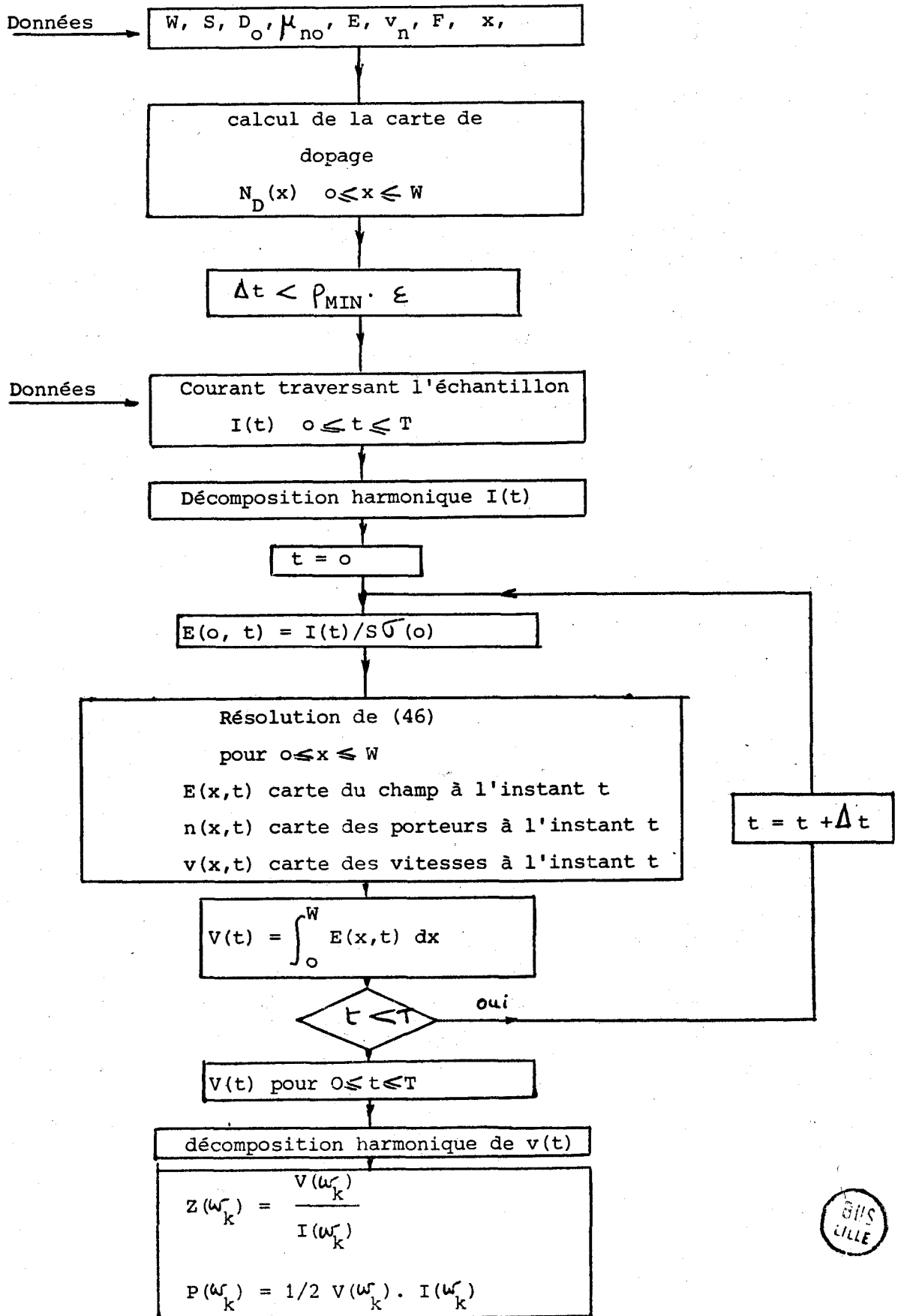


FIG. III<sub>5</sub>



On suppose en plus que pendant l'intervalle de temps  $\Delta t$ ,  $v(E)$  et  $D_{//}(E)$  ne varient pas, c'est à dire

$$v(E_x^t) = v(E_x^{t-\Delta t}), \quad D(E_x^t) = D(E_x^{t-\Delta t})$$

L'équation III<sub>19</sub> se résoud alors par la méthode du double balayage de Choleski. L'organigramme est donné fig III<sub>5</sub>

Dans cette étude nous avons utilisé

- Pour la vitesse la loi empirique de Canali [26]

$$v(E) = \frac{\mu_0 E}{|1 + (E/E_c)^\beta|^{1/\beta}} \quad \text{III}_{20}$$

avec  $\mu_0 = 1385 \text{ cm}^2 \text{ v}^{-1} \text{ S}^{-1}$

$E_c = 7100 \text{ v/cm}$

$\beta = 1.2$

Pour la diffusion

-  $D(E) = D_0$

- Les récents résultats de Canali sur le silicium

Nous avons principalement étudié une épitaxie planar  $N^+NN^+$  de résistivité  $10 \text{ } \Omega\text{cm}$  dont les dimensions géométriques sont les suivantes

- . diamètre 120 microns
- . surface  $1.13 \cdot 10^{-4} \text{ cm}^2$
- . longueur de l'épitaxie 10 microns
- . longueur moyenne de la zone N, 8.2 microns

Le programme nous donne

- . la caractéristique courant -tension du dispositif Fig III<sub>6</sub>
- I(v)
- . la carte de champ, Fig. III<sub>7</sub>  $E_0(x)$

$I_0$  mA

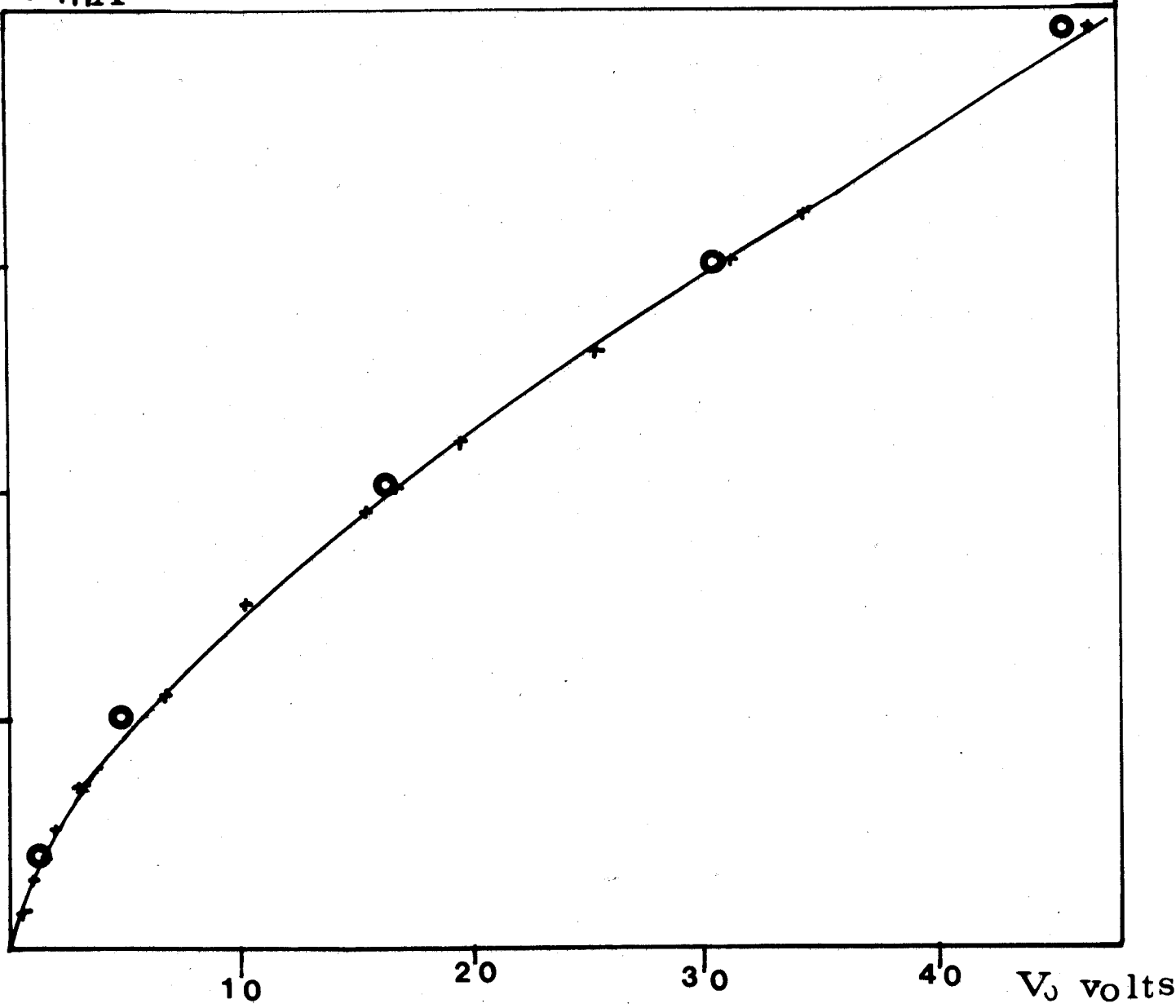


FIG. III 6

CARACTERISTIQUE COURANT-TENSION  
RESULTATS NUMERIQUES

INFLUENCE DE LA DIFFUSION

- $D = D_0 = 35 \text{ cm}^2/\text{s}$
- +  $D = D \text{ (Canali)}$



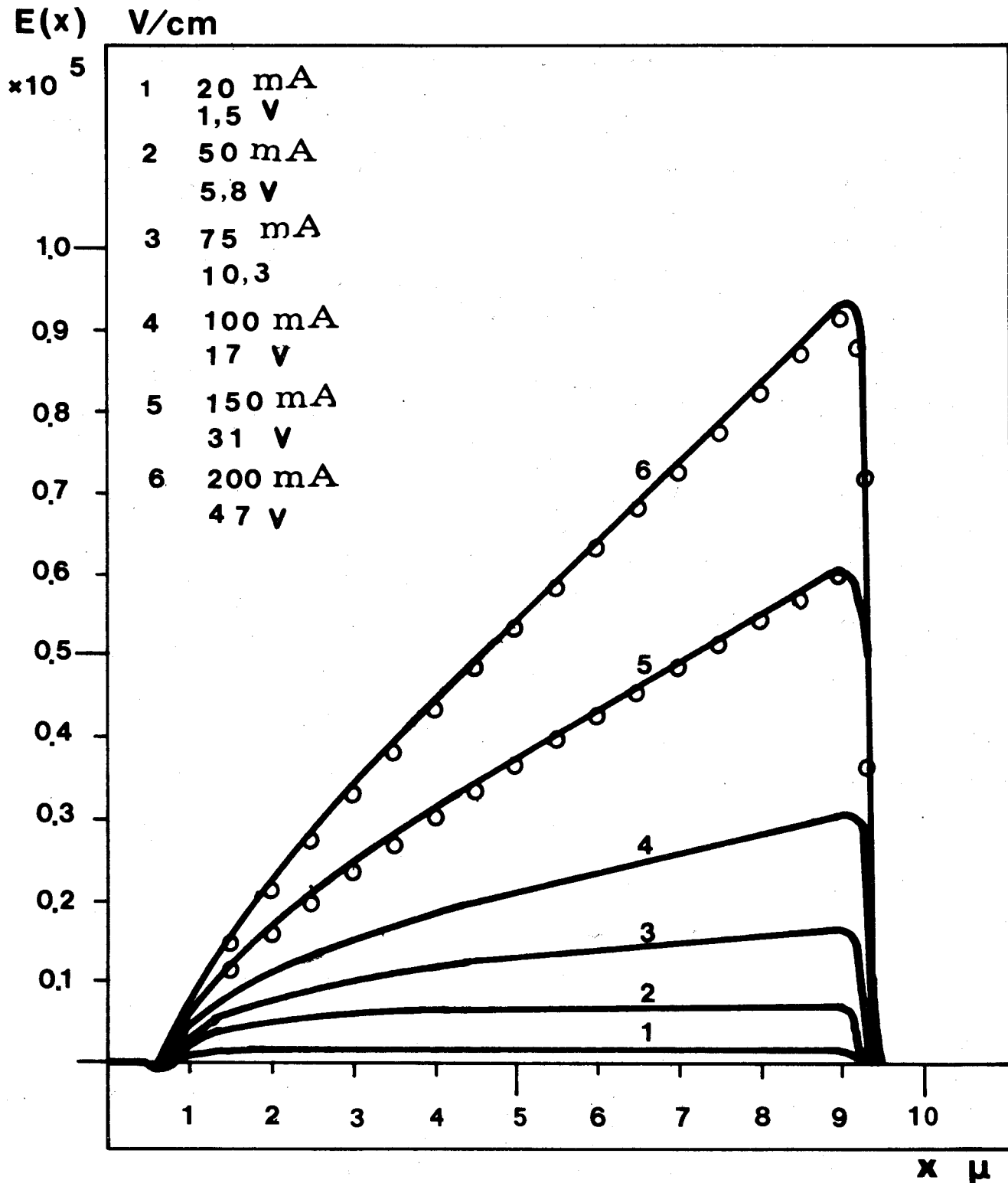


FIG. III<sub>7</sub>

CARTE DE CHAMP

Influence de la diffusion  $\circ$   $D = D_0 = 35 \text{ cm}^2/\text{s}$   
 —  $D = D \text{ (Canali)}$



- . la carte des densités de porteurs libres; Fig III<sub>8</sub>  $n_x$
- . l'impédance différentielle de l'échantillon; Fig. III<sub>9</sub>  $Z(\omega)$ .

La fig III<sub>10</sub> compare les caractéristiques courant-tension théorique et expérimentale. L'accord entre les deux résultats montre que le modèle théorique utilisé décrit bien la réalité.

Par ailleurs, les paramètres  $E_0(x)$ ,  $n(x)$  et  $Z(\omega)$  devant être utilisés pour le calcul du bruit, nous avons étudié l'influence de la diffusion sur eux. Les FIG. III<sub>6</sub>, III<sub>7</sub>, III<sub>8</sub>, III<sub>9</sub> montrent que ces différents paramètres varient peu avec le coefficient de diffusion.

Ces résultats sont très intéressants dans la mesure où ils semblent montrer que si le bruit dépend de la diffusion, il en dépend principalement par le terme  $D(E)$  qui apparait dans l'expression de  $T_n(E)$  (III<sub>7</sub>), ce qui parait légitimer nombre d'études de bruit qui négligent la diffusion pour les calculs d'impédance.

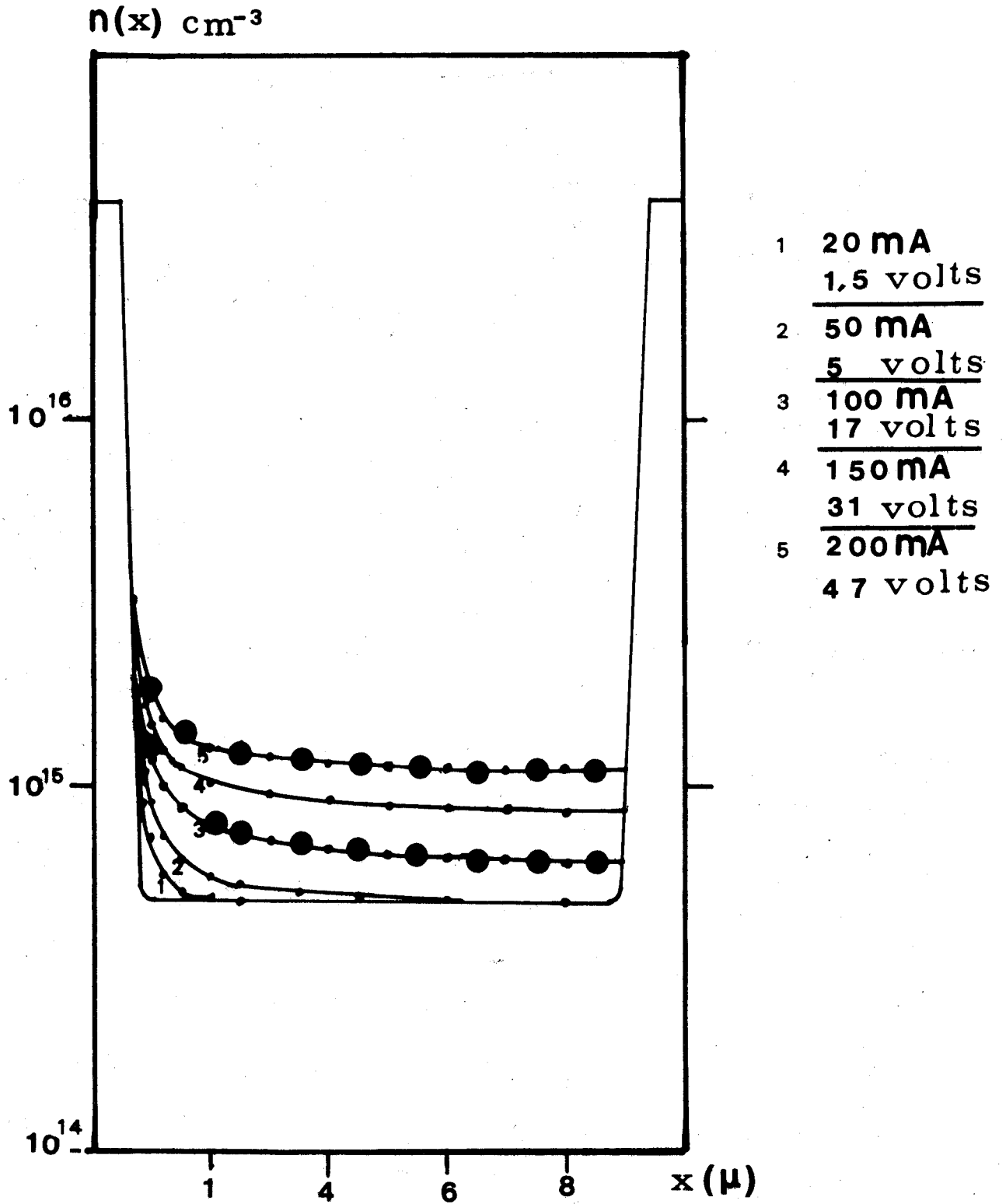


FIG. III<sub>8</sub>

CARTE DES DENSITES DE PORTEURS

Influence de la diffusion  $\bigcirc D = D_0 = 35 \text{ cm}^2/\text{s}$   
 $\bullet D = D (\text{Canali})$



$|X| (\Omega)$

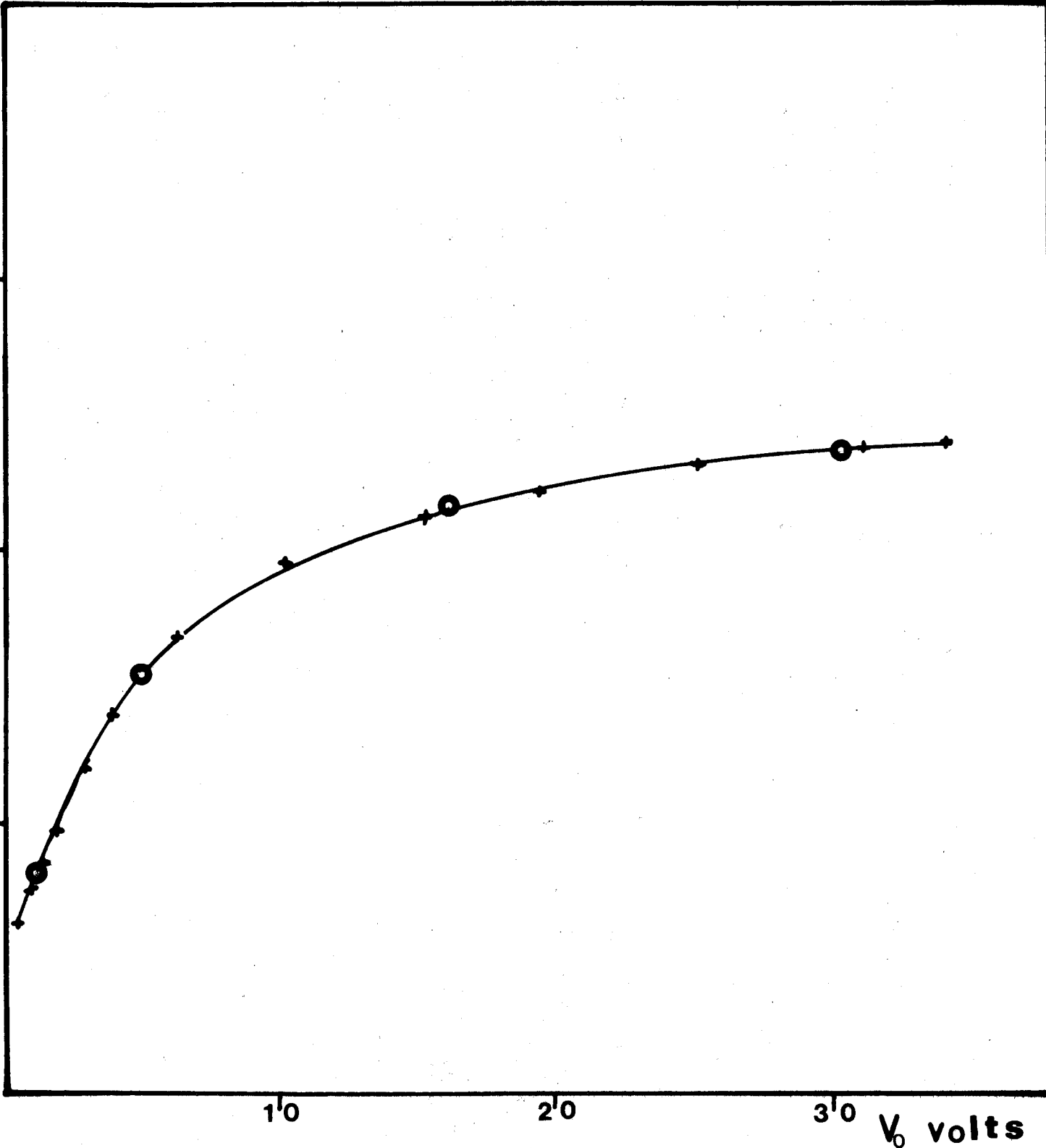


FIG. III<sub>g b</sub>

PARTIE IMAGINAIRE DE L'IMPEDANCE DU DISPOSITIF

Influence de la diffusion  
 $\circ$   $D = D_0 = 35 \text{ cm}^2/\text{s}$   
 $\blacktriangle$   $D = D$  (Canali)



R ( $\Omega$ )

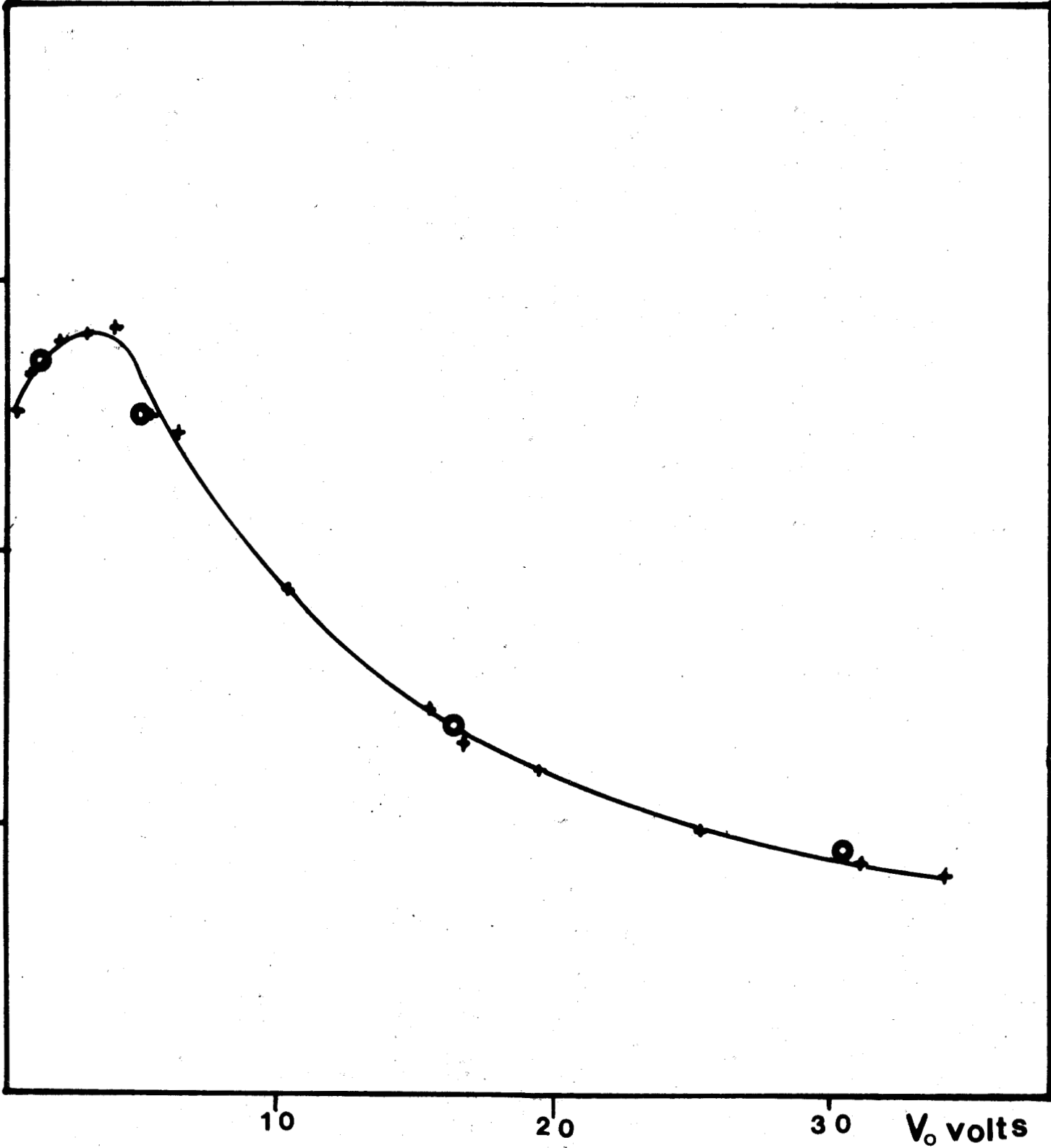


FIG. III<sub>9 a</sub>

PARTIE REELLE DE L'IMPEDANCE DU DISPOSITIF

○  $D = D_0 = 35 \text{ cm}^2/\text{s}$

Influence de la diffusion

◆  $D = D$  (Canali)



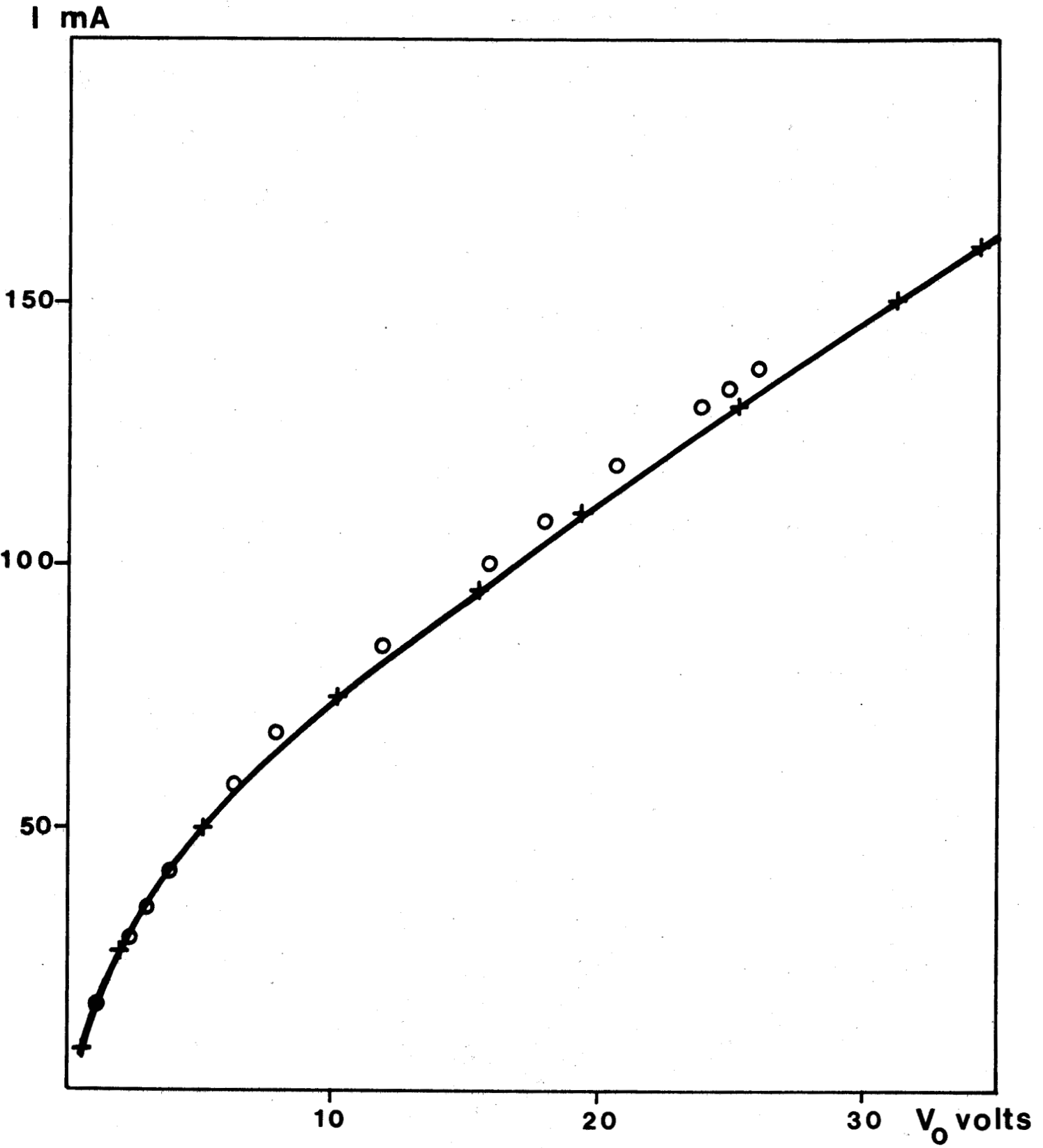


FIG. III<sub>10</sub>

CARACTERISTIQUES COURANT-TENSION

- Expérimental
- + Numérique



### III.4. DETERMINATION DU COEFFICIENT DE DIFFUSION

Cette étude se limite aux résultats à la température ambiante sur des épitaxies planar. Dans un premier temps, le champ électrique est supposé uniforme. En deuxième lieu on aborde le cas général des champs non uniformes. On fait ensuite une analyse critique de la méthode numérique utilisée dans ce dernier cas.

#### III.4.1. *Etude dans l'hypothèse d'un champ uniforme*

-----

Dans ce cas le champ électrique dans le dispositif est donné par le rapport  $V_o/L$  : où  $V_o$  est la tension appliquée et  $L$  la longueur de la zone active ;  $D_{//}(E_o)$  est donné par la relation II<sub>12</sub> |2,3|

$$D_{//}(E_o) = \frac{kT_{//}(E_o)}{q} \mu_d(E_o)$$

où

$$\mu_d(E_o) = \frac{dV_d(E_o)}{dE_o}$$

Nous prenons pour  $V_d(E_o)$  l'expression III<sub>20</sub>. La figure III<sub>11</sub> présente nos résultats concernant  $D_{//}(E_o)$  obtenus à partir des relations précédentes ainsi que ceux de Rolland |3| et de Canali |6|

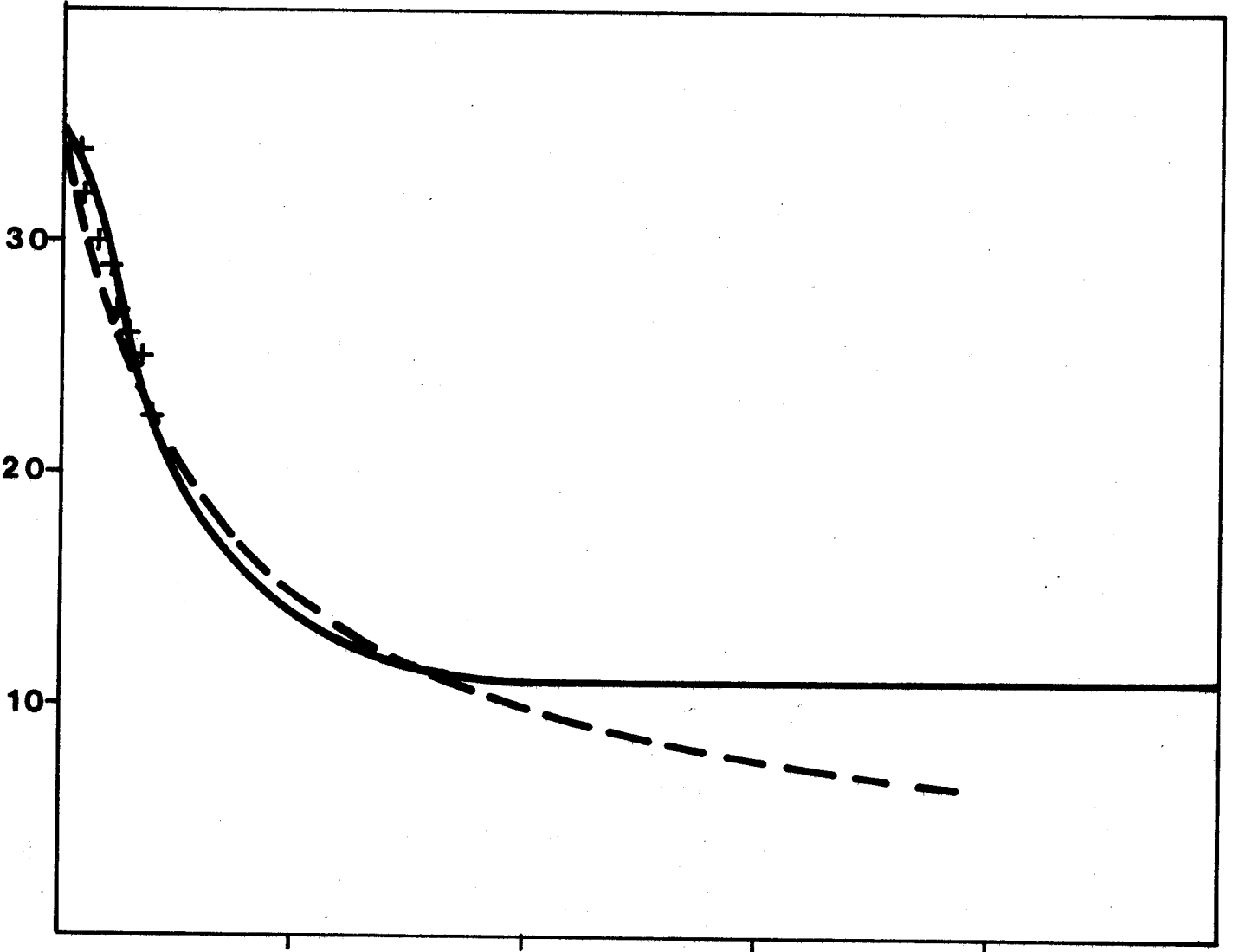
On note un excellent accord entre ces résultats lorsque le champ est inférieur à 20 KV/cm. Au delà apparait une divergence qui semble croître avec le champ. Ceci peut s'expliquer par le fait qu'au delà de certaines valeurs de tension appliquée, l'hypothèse de champ uniforme ne correspond plus à la réalité (FIG III<sub>7</sub>). Dans le cas présent, ces valeurs ne dépassent guère 10 à 13 volts, ce qui correspond pratiquement à des champs voisins de 20 KV/cm.

#### III.4.2. *Etude générale valable en régime de champ non uniforme*

-----

Quand le champ n'est pas uniforme la relation II<sub>12</sub> ne s'applique plus;  $D_{//}(E_o)$  et  $T_{//}(E_o)$  sont reliés par l'équation intégrale III<sub>7</sub>. On est alors amené à utiliser la méthode numérique décrite en III.2.4.3., en décomposant l'échantillon en cent tranches d'égale épaisseur. On procède de la façon suivante : on se donne

$D // \text{cm}^2/\text{s}$



$\frac{\text{kV}}{(\text{V/L}) \text{cm}}$

FIG. III<sub>11</sub>

COEFFICIENT DE DIFFUSION FONCTION DE  $V_0/L$

- - - Présent Travail } Mesure de bruit
- + Rolland } Relation d'Einstein modifiée
- Canali } Technique du temps de vol



différentes lois de variation du coefficient de diffusion avec le champ électrique et on calcule  $T_{//}(V_o)$  pour une tension donnée à partir de III<sub>17</sub> et III<sub>18</sub>. ce résultat est comparé aux résultats expérimentaux.

On opère avec les trois lois suivantes (fig III<sub>12</sub>)

1)  $D_{//}(E_o) = D_o = 35 \text{ cm}^2/\text{s}$

2)  $D_{//}(E_o) = \frac{D_o}{1 + \mu_o(E_o/V_s)}$

avec  $\mu_o = 1385$

$V_s = 10^7 \text{ cm/s}$

3)  $D_{//}(E_o)$  donné par Canali [6]

La figure III<sub>13</sub> donne les résultats obtenus.

Il apparait que :

- la température de bruit est un paramètre particulièrement sensible au coefficient de diffusion

- la loi  $D_{//}(E_o) = \frac{D_o}{1 + \mu_o(E_o/V_s)}$

approxime bien la variation du coefficient de diffusion pour des champs atteignant 20 KV/cm.

- dans la limite des tensions appliquées, nos résultats confirment la loi de diffusion établie par Canali [6].



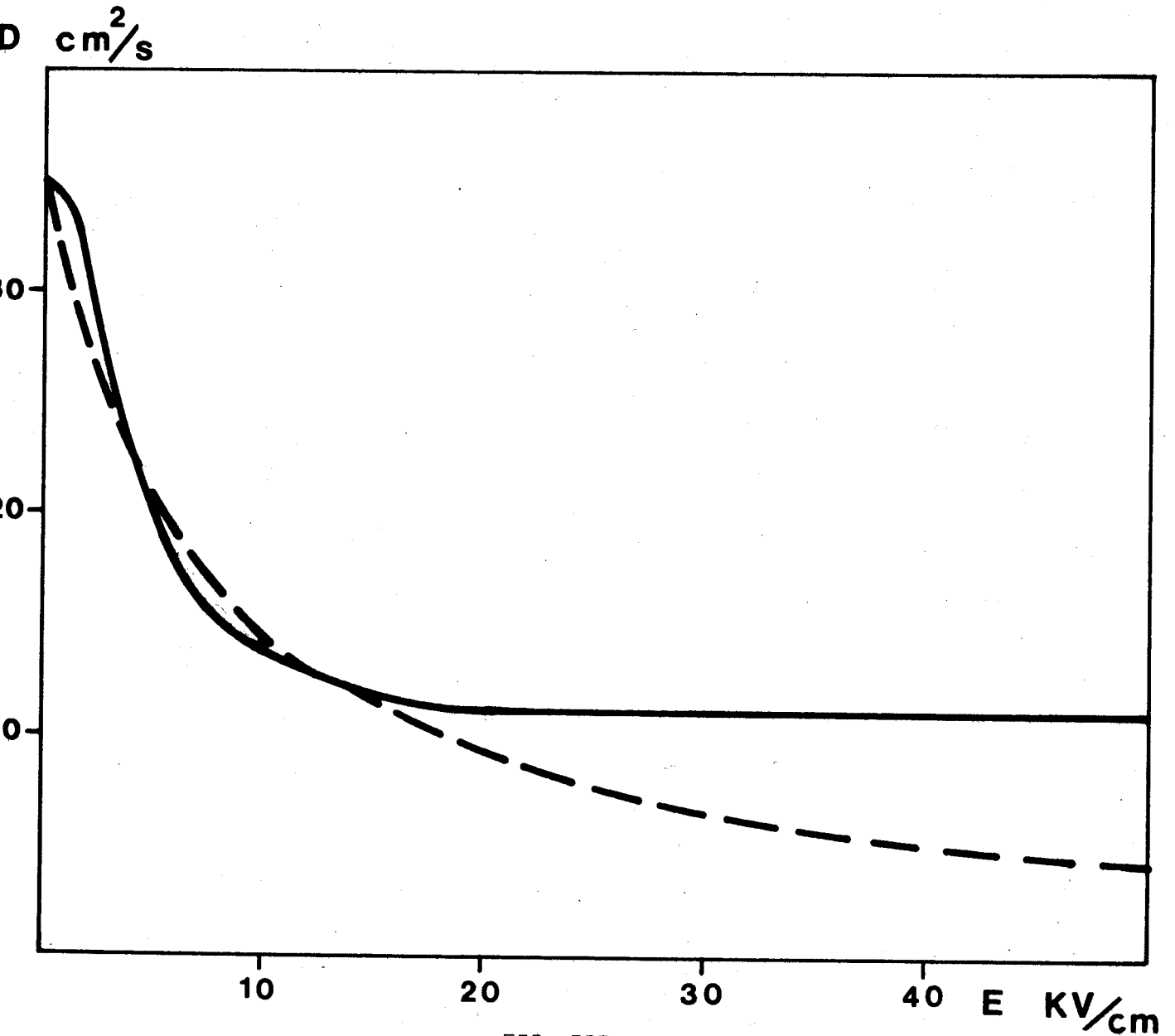


FIG. III<sub>12</sub>

LOIS DE VARIATION DE  $D_{//}(E)$  UTILISEES POUR CALCUL NUMERIQUE

-----  $D(E_0) = D_0 / (1 + \mu_0 E_0 / v_s)$

—————  $D(E_0) = D_{\text{Canali}}$



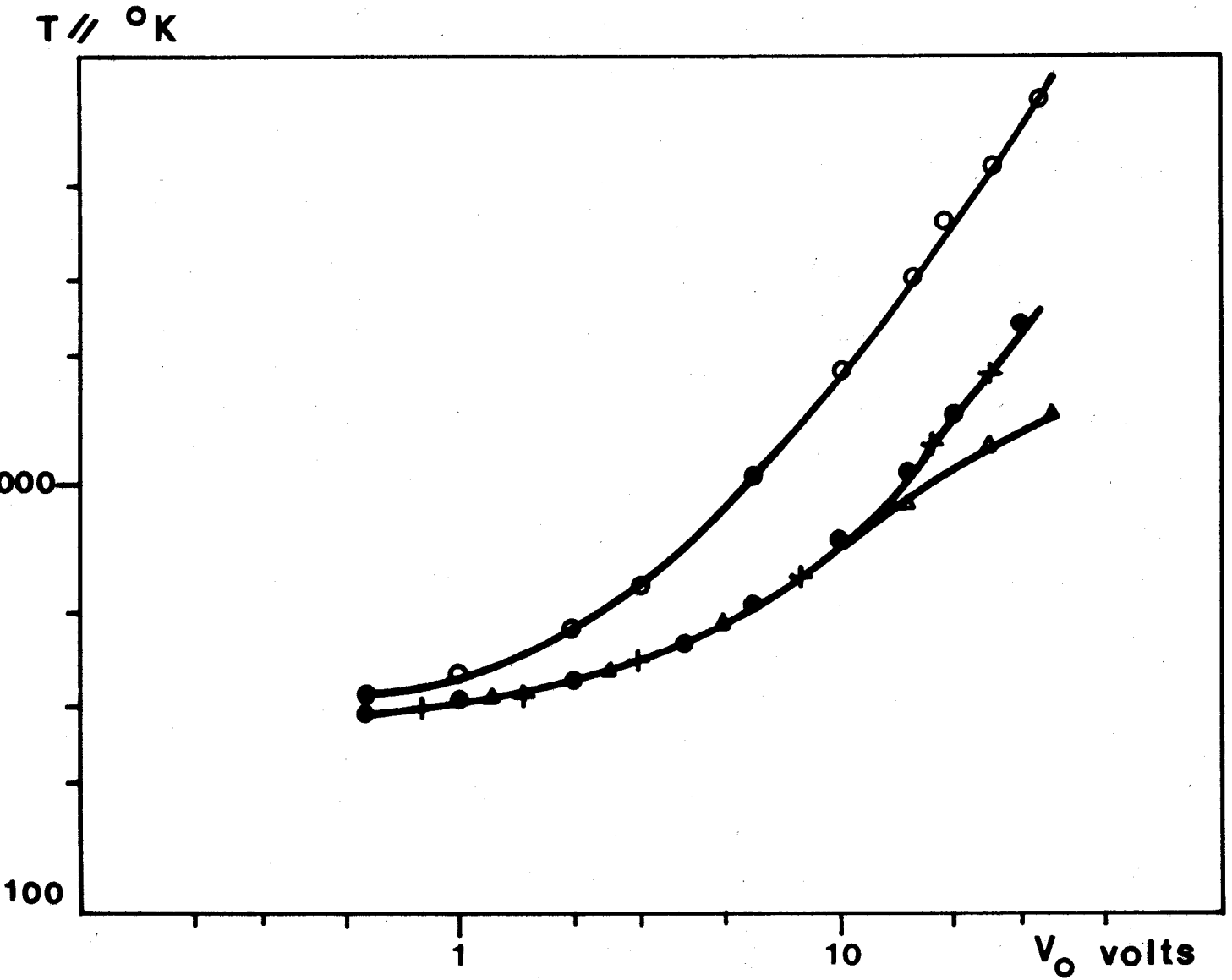


FIG. III<sub>13</sub>

TEMPERATURE DE BRUIT FONCTION DES TENSIONS APPLIQUEES

Calculée numériquement  
à partir de

- $D(E_0) = 35 \text{ cm}^2/\text{s}$
  - $D(E_0) = D \text{ Canali}$
  - ▲  $D(E_0) = D_0 / (1 + \mu_0 E_0 / v_s)$
- 
- + Résultats expérimentaux



III.4.3. Critique de la méthode numérique  
-----

L'étude numérique dont nous venons de donner les résultats tient imparfaitement compte des effets relatifs au temps de transit. En cela, elle ignore l'influence de ces effets sur la variation en fréquence de l'impédance différentielle, et donc de la température de bruit calculée. Cette approximation se justifie cependant en remarquant qu'aux tensions de polarisation atteintes, la mobilité différentielle demeurant non nulle, les effets de temps de transit restent fortement amortis. En conséquence notre méthode numérique donne des résultats satisfaisants.

En effet, l'impédance que nous calculons est analogue à celle que donne le programme numérique général (fig III<sub>14</sub> a', III<sub>14</sub> b) la conductance de l'échantillon varie peu aux fréquences où nous opérons et pour les tensions atteintes (fig III<sub>15</sub>), la température de bruit expérimentale ne semble pas dépendre de la fréquence (fig II<sub>28</sub>)

Cependant, une étude approfondie du bruit dans nos dispositifs, en particulier à plus forte tension appliquée, nécessiterait la mise en oeuvre d'une méthode numérique complète tenant compte du temps de transit, basée sur le calcul du champ d'impédance et tirant directement le coefficient de diffusion du bruit mesuré. En effet, l'autre limitation de notre méthode de calcul est la nécessité d'une loi de variation du coefficient de diffusion que l'on confirme ou infirme en comparant la température de bruit qu'elle permet d'obtenir aux résultats expérimentaux.

Aux températures de réseau et champs où cette loi est inexistante, il serait intéressant de mettre au point un processus itératif donnant le coefficient de diffusion à partir de nos résultats expérimentaux.

$|X| \quad \Omega$

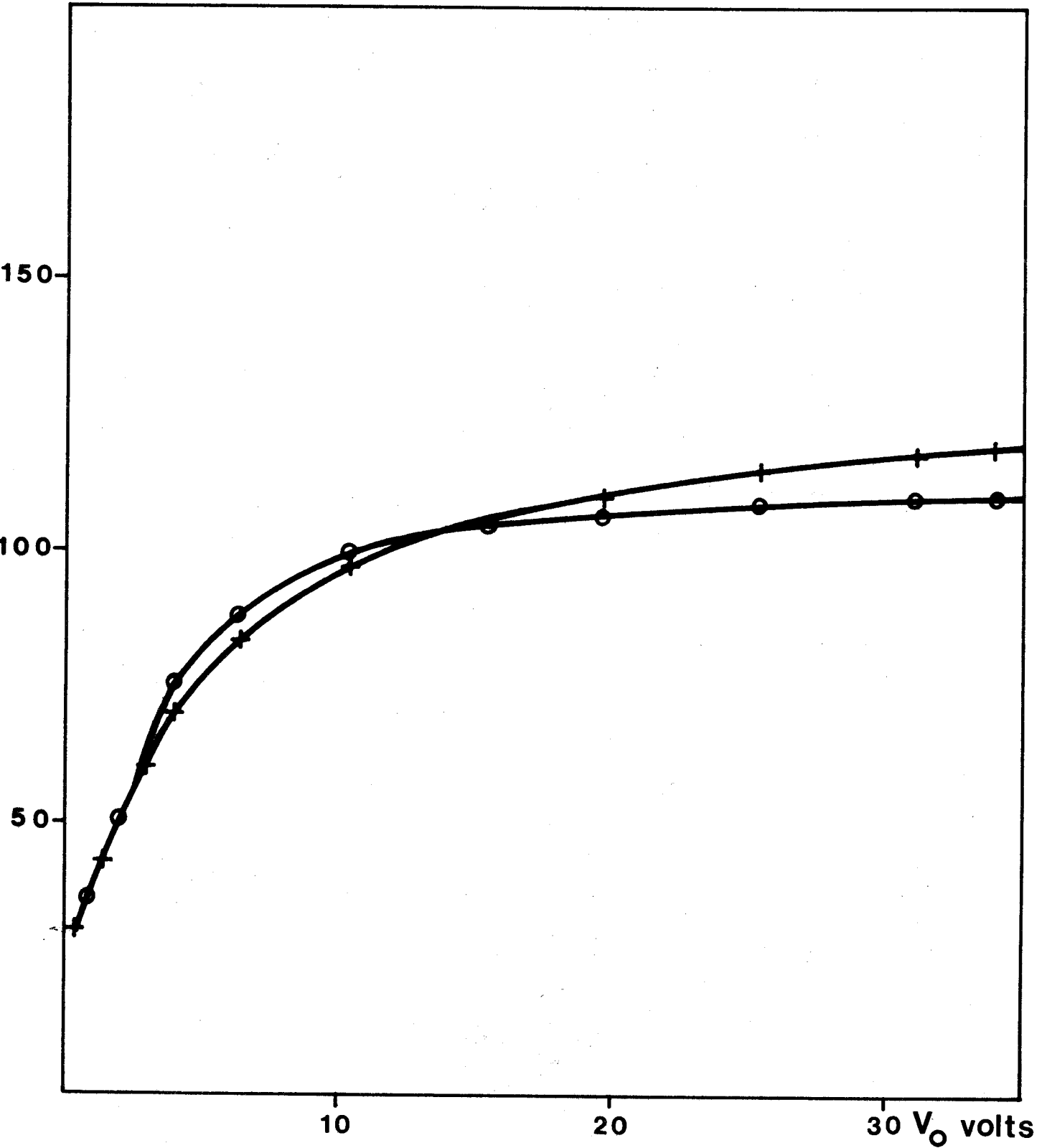


FIG III 14 b

PARTIE IMAGINAIRE DE L'IMPEDANCE DU DISPOSITIF



- Notre méthode
- ◆ méthode numérique générale

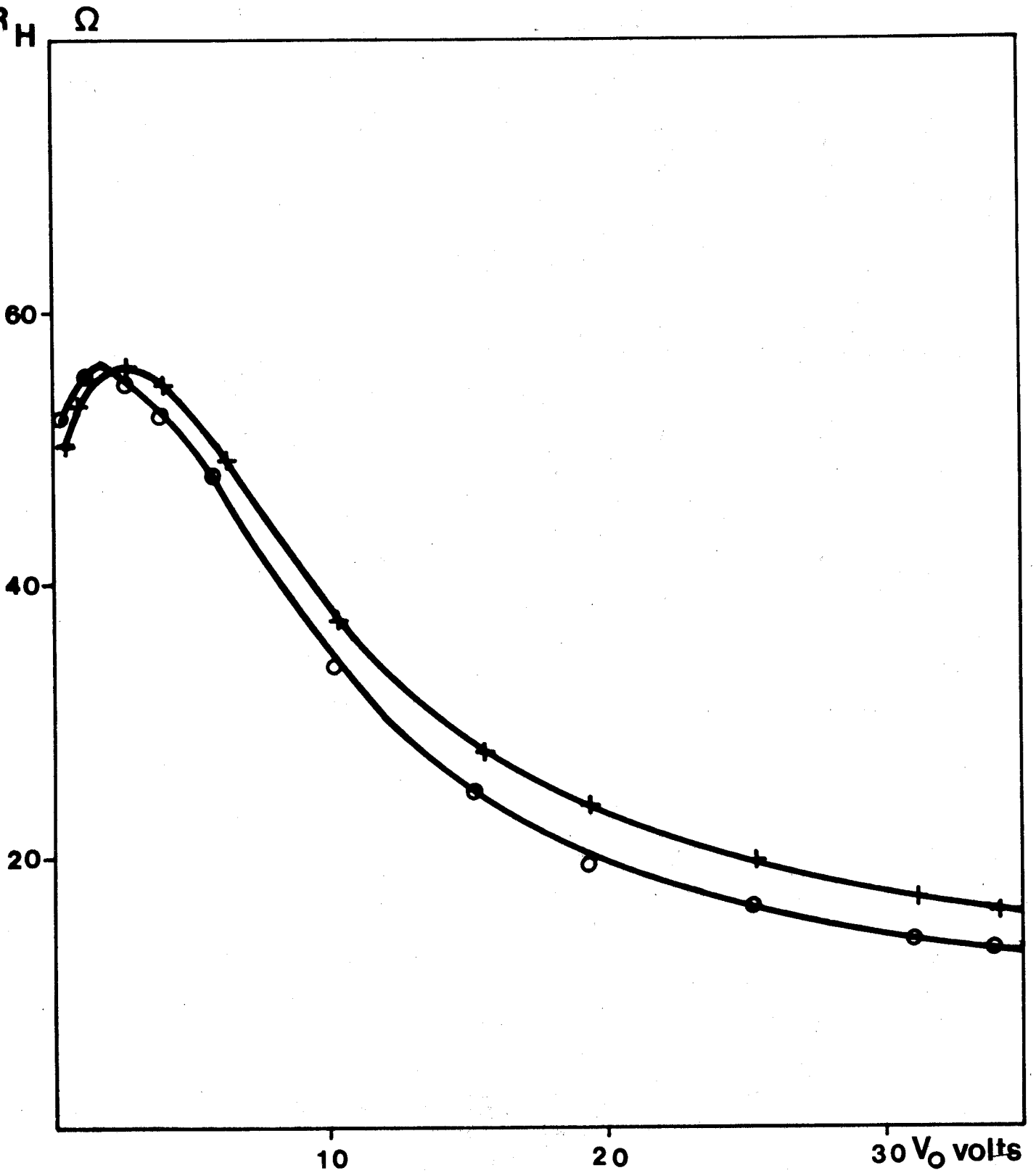


FIG. III<sub>14 a</sub>

PARTIE REELLE DE L'IMPEDANCE DU DISPOSITIF

- Notre méthode
- + Méthode numérique générale



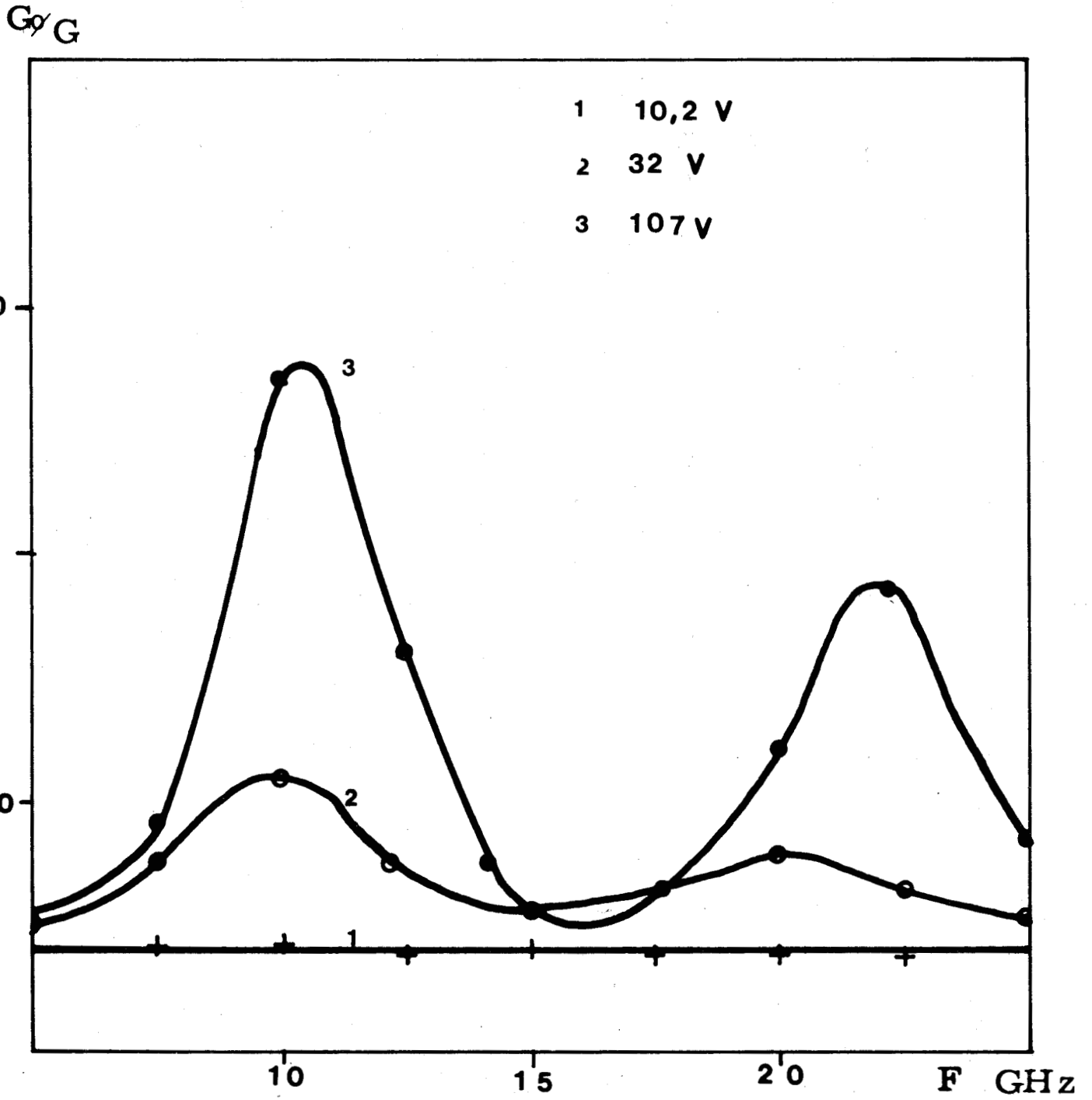


FIG. III<sub>15</sub>

VARIATION DE LA CONDUCTANCE EN FONCTION DE LA FREQUENCE  
A DIFFERENTES TENSIONS APPLIQUEES



## CONCLUSION

Dans ce chapitre, nous avons décrit la méthode du champ d'impédance qui permet d'exprimer la température de bruit en fonction du coefficient de diffusion et d'autres paramètres caractéristiques du semiconducteur. Nous en avons déduit une méthode simplifiée qui donne des résultats satisfaisants dans le cas considéré. Elle a permis en particulier de confirmer la loi de variation du coefficient de diffusion donnée par Canali [6] à la température ambiante.

Une analyse critique de cette méthode nous a montré que pour une étude approfondie de la diffusion des porteurs chauds (à forte tension appliquée, en fréquence...) il serait intéressant de mettre en oeuvre une méthode numérique complète qui tient compte du temps de transit et tire  $D_{//}(E_0)$  directement de nos résultats expérimentaux.

## C O N C L U S I O N

Le travail présenté est une contribution à l'étude de la diffusion des porteurs en champ électrique fort dans le silicium N.

Nous avons établi dans la première partie que si le temps de mesure est très grand devant le temps de corrélation des fluctuations de vitesse ( $\tau_u$ ), la fréquence de travail très petite devant  $1/\tau_u$ , les coefficients de diffusion déduits des techniques du temps de vol et de mesure de bruit de diffusion sont identiques. Un bilan critique nous a montré que les mesures de bruit appliquées à la détermination du coefficient de diffusion sont inexistantes au-delà 4 KV/cm.

Nous avons réalisé un banc radiométrique en bande X destiné à mesurer la température de bruit d'échantillons semiconducteurs en régime de porteurs chauds. Ce dispositif nous a permis d'obtenir un certain nombre de résultats expérimentaux sur divers types de composants ayant des géométries et des concentrations en impuretés différentes. On a travaillé en fonction de la température de réseau (80 à 370°K) et de la fréquence (8 à 11 GHz).

Les résultats à 300°K sur des épitaxies planar ont été utilisés pour déterminer le coefficient de diffusion longitudinal. La relation d'Einstein modifiée nous a permis de retrouver les résultats de Canali [6] jusqu'à des champs de 20 KV/cm soit dans notre cas pour des tensions de l'ordre de 13 volts. Au delà, les effets d'injection créent une forte inhomogénéité dans la densité des porteurs, entraînant la non uniformité du champ électrique dans le dispositif.

Une méthode numérique a été mise au point pour ces cas. Elle utilise certains résultats d'un programme général réalisé au laboratoire pour résoudre l'équation de transports des charges dans un modèle semiconducteur à une dimension. On a pu de la sorte confirmer la loi de variation du coefficient de diffusion obtenue par Canali [6] avec la technique du temps de vol.

Nous montrons par ailleurs que cette méthode approchée (car négligeant les effets de transit) est justifiée dans le domaine des tensions exploré et aux fréquences où nous travaillons.

Pour l'étude expérimentale complète que nous envisageons (à d'autres fréquences, à plus forte tension appliquée de même qu'en température) un calcul numérique plus rigoureux utilisant les résultats de la méthode du champ d'impédance décrite dans ce travail est en cours de réalisation.

Par ailleurs, dans le cadre de l'étude des phénomènes de transport dans le silicium entreprise au laboratoire, une méthode différente de connaissance des phénomènes de diffusion, basée sur la simulation numérique du comportement des porteurs dans le semiconducteur est sur le point d'aboutir. Ces informations vont être utilisées par d'autres chercheurs du laboratoire chargés de la modélisation des composants semiconducteurs (diodes ATT, limiteurs à effet de volume).

## B I B L I O G R A P H I E

- |0| VAPAILLE "Physique des dispositifs à semiconducteurs"  
*Electronique du Silicium homogène* Masson et Cie
- |1| BAREIKIS et ALL *Conf. Internal. Phys. Semicond. Moscou*  
1968 P 760-764
- |2| NOUGIER *Thèse d'Etat Montpellier* 1972
- |3| ROLLAND *Thèse d'Etat Montpellier* 1974
- |4| SIGMON et GIBBONS *Applied Physics Letters* Vol 15, 15 nov 1969  
P 321.
- |5| PERSKY et BARTELINK  
- *Applied Physics Letter* Vol 16, N° 5 March 1970 P. 191  
- *J.A.P.* Vol 42 N°11 Oct 1971 P. 4414
- |6| CANALI et ALL *Applied Physics Letters* Vol 27, N° 5 Sept 1975  
P. 278
- |7| RUCH et KINO *Physical Review* 15 oct 1968, Vol 174 N°3 P. 921
- |8| HAYNES et SCHOCKLEY *Phys. Rev.* 81, 1951 P. 835
- |9| OKAMOTO et ALL *J.A.P.* Vol 36 N° 12 Dec 1965-66 P. 3716
- |10| VANDERZIEL *Proceeding of IEEE* 58,8, Aout 1970 P. 1178
- |11| NOUGIER et ROLLAND *Solid State Electronics* 1973, Vol 16  
P. 1399
- |12| W. SCHOCKLEY, John A. COPELAND, R.P. JAMES *Quantum Theory*  
*of atoms, molecules and the solid state* (Academie press 1966)
- |13| BAECHTOLD *IEEE TED* Dec 1971 P.1186
- |14| ERLBACH et GUN *Physical Rev.* April 1962 Vol 8 N° 7 P. 280

- |15| BRYANT *Bull. of American Phys. Soci.* 9,62 (1964)
- |16| HART *Canadian Journal of Physics* Vol 48 1970 P. 531
- |17| NICOLLET et ALL *Solid State Electronics* 1971 Vol 14 P. 667
- |18| POZHELA et ALL *Soviet Physics semiconductor* Vol 2 N° 4 oct 1968 P. 503
- |19| CANALI et ALL *J. Phy. Chem. Sol.* N° 32 PP 1707 1971
- |20a| A. CHADELAS "Mémoire CNAM" présenté à Lille en 1968
- |20b| DICKE *Rev. of Scient. Instrument*, Juillet 1964 pp 268 à 275
- |21| R.H. MATTSO and VAN DER ZIEL *J.A.P.* Vol 24 N° 2 Fév 1953
- |22| VAN DER ZIEL "Noise, sources, caracterisation and measurements" *Prentice Hall Electrical Engineering Series*
- |23| BONFILS *D.E.A. Faculté des Sciences et Techniques Lille*
- |24| F. MALOBERTI, V. SVELTO *Alta frequenza* Vol XL N 8 Agosto 1971
- |25| BOITTIAUX *Thèse d'Etat à paraître*
- |26| CANALI, MAJNI, MINDER, OTTAVIANI *IEEE Transactions on Electron devices* Novembre 1975
- |27| BENGT, KÄLLBÄCK *Electronics Letters* 21 sept. 1956 Vol 8 N°19
- |28| NOUGIER *Cours D.E.A. "Signaux et bruit" Université des Sciences et Techniques de Montpellier*
- |29| BECQUELIN *Thèse 3e cycle à paraître*

# TABLE DES MATIERES

---

## I N T R O D U C T I O N

### Chapitre I

#### COEFFICIENT DE DIFFUSION EN REGIME DE PORTEURS CHAUDS EQUIVALENCE DES RESULTATS DES TECHNIQUES DU "TEMPS DE VOL" ET DE MESURE DE BRUIT

##### I.1. DETERMINATION DE $D_e$ (E) PAR LA TECHNIQUE DU TEMPS DE VOL

*I.1.1. Equation de continuité*

*I.1.2. Dérive et étalement d'un paquet de porteurs en excès*

*I.1.3. Techniques expérimentales*

*I.1.4. Bilan critique*

##### I.2. DETERMINATION DE $D_b$ (E) PAR LA MESURE DE LA TEMPERATURE DE BRUIT DE DIFFUSION

*I.2.1. Courant de bruit de diffusion et coefficient de diffusion*

*I.2.2. Bilan critique*

##### I.3. EQUIVALENCE DE $D_e$ ET $D_b$

### CONCLUSION

### Chapitre II

#### TECHNIQUES DE MESURE DU BRUIT DE DIFFUSION

##### II.1. PRINCIPE DE LA METHODE

*II.1.1. Principe du radiomètre*

*II.1.2. Radiomètre bande X*

##### II.2. TESTS DE VALIDITE DU RADIOMETRE

*II.2.1. Banc de mesure du bruit thermique et méthode de dépouillement*

- II.2.1.1. Banc de mesure
- II.2.1.2. Méthode de dépouillement

II.2.2. Résultats des tests

- II.2.2.1. Mesure sur charge adaptée
- II.2.2.2. Mesures sur "silistance"
- II.2.2.3. Mesures sur micro-strip

II.3. RESULTATS EN CHAMP FORT TEMPERATURE DE BRUIT DE DIFFUSION

II.3.1. Les échantillons

II.3.2. Banc de mesure du bruit de diffusion et technique de dépouillement

- II.3.2.1. Banc de mesure
- II.3.2.2. Méthode de dépouillement

II.3.3. Précautions relatives aux conditions expérimentales

II.3.4. Résultats expérimentaux

CONCLUSION

Chapitre III

APPLICATION DES MESURES DE BRUIT DE DIFFUSION A LA DETERMINATION DU COEFFICIENT DE DIFFUSION

III.1. TEMPERATURE EQUIVALENTE DE BRUIT DE DIFFUSION ET CHAMP D'IMPEDANCE

III.1.1. Fluctuation de tension et champ d'impédance

- III.1.1.1. Définition de  $Z_{Lx}$
- III.1.1.2. Champ d'impédance

III.1.2. Tension de bruit de diffusion

III.1.3. Température équivalente de bruit de diffusion

III.2. CALCUL DU CHAMP D'IMPEDANCE

III.2.1. Principe du calcul de  $\nabla Z_{Lx}$

III.2.2. Equation petit signal

III.2.3. Cas des champs uniformes

III.2.4. Cas des champs non uniformes

- III.2.4.1. Principe du calcul

III.2.4.2. Méthode de calcul

III.2.4.3. Calcul de  $T_{//}$  (E)

III.3. RESOLUTION DE L'EQUATION DE TRANSPORTS DANS UN ECHANTILLON DE SILICIUM  $N^+NN^+$  DETERMINATION DES CARTES DE CHAMP ET DES DENSITES DE PORTEURS

III.4. DETERMINATION DU COEFFICIENT DE DIFFUSION

III.4.1. *Cas des champs uniformes*

III.4.2. *Cas des champs non uniformes*

III.4.3. *Critique de la méthode numérique*

C O N C L U S I O N

